

ПОЛИНОМИАЛЬНОЕ ПРЕДСТАВЛЕНИЕ ПОЛНОЙ РЕАКЦИИ ОДНОГО КЛАССА ДВОИЧНЫХ МОДУЛЯРНЫХ ДИНАМИЧЕСКИХ СИСТЕМ

ФЕЙЗИЕВ ФИКРАТ ГЮЛЬАЛИ оглу

1-Сумгаитский государственный университет, профессор

МЕХТИЕВА МАРАЛ РЗАБАЛА гызы

2- Бакинский государственный университет, доцент

БАЙРАМОВА АЙСЕЛЬ АЛИМгызы

3-Сумгаитский технический колледж при СГУ, преподаватель

FeyziyevFG@mail.ru

Ключевые слова: модулярные динамические системы, формула полной реакции, полиномиальное представление; неизвестные коэффициенты, рекуррентное соотношение.

Рассматривается вопрос полиномиального представления полной реакции одного класса двоичных модулярных динамических систем и приводится формула полиномиального представления. Для заданных входной последовательности последовательности состояния предлагается рекуррентное соотношение для нахождения неизвестных коэффициентов полиномиального представления. Приводится пример для полиномиального представления полной реакции специальной двоичной модулярной динамической системы. Приводится пример получения рекуррентного соотношения для нахождения одного специального коэффициента полиномиального представления.

Введение. Конечные последовательностные машины или модулярные динамические системы (МДС) функционируют над конечными полями или кольцами [1-7]. Они широко применяются в вычислительной технике, системах диагностики, кодировании и декодировании дискретных сообщений, моделировании и управлении непрерывных и дискретных объектов и т.д. [1, 2, 5, 6, 8-13]. Такая широкая область применения стимулирует развитие теории и методологии приложений МДС. Различные теоретические задачи и задачи, связанные с методологией применения МДС, основываются на уравнении, описывающем их поведение в пространстве состояний (на языке «вход–состояние–выход») или на выражении представления их полной реакции (на языке «входно–выходных» соотношений). К настоящему времени получены полиномиальные соотношения в виде двухзначного аналога полинома Вольтерры для представления полной реакции для различных классов двоичных МДС (ДМДС) [5-7, 14-16]. В этих работах рассматриваются ДМДС, характеризуемые «входно–выходным» функциональным соотношением. Однако несомненный интерес представляет рассмотрение двоичных ДМДС, в которых характеризуется функциональное соотношение, осуществляющее преобразование «вход, состояния» на «состояние» или на «выход». В данной работе, рассматривается вопрос полиномиального представления одного класса ДМДС, которое характеризуется функциональным соотношением, осуществляющим преобразование «вход, состояния» на «состояние».

1. Постановка задачи. Рассмотрим ДМДС, описываемую в пространстве состояний:

$$\begin{aligned} s[n+1] &= F(s[n], u[n]), \quad GF(2), \\ \text{Фейзиев } \Phi. \Gamma., \quad \text{Мехтиева } M.P., \quad \text{Байрамова } \Phi. \Phi. \\ s[0] &= s_0. \end{aligned} \tag{1}$$

Здесь $n \in Z_0$, $s[n]$ – последовательности состояния, $u[n]$ – входная последовательность и $F(\dots) = (F_1(\dots), \dots, F_k(\dots))^T$, где Z_0 суть множество неотрицательных целых чисел,

$s[n] = (s_1[n], \dots, s_k[n]) \in GF^k(2)$, $s_0 = (s_{0,1}, \dots, s_{0,k}) \in GF^k(2)$ - заданный вектор начального состояния, $u[n] = (u_1[n], \dots, u_r[n]) \in GF^r(2)$, $GF(2)$ есть конечное поле, а $GF^k(2)$ и $GF^r(2)$ есть k и r -мерные линейные пространства над полем $GF(2)$ соответственно.

Задача полиномиального представления ДМДС (1) состоит в представлении отображения $F(\dots)$ в виде полинома над полем $GF(2)$ и в определении неизвестных коэффициентов этого полинома при известных последовательностях $s[n]$ и $u[n]$ ДМДС.

2. Полиномиальное соотношение для представления полной реакции ДМДС. В (1) для каждой $\nu \in \{1, \dots, k\}$ отображение $F_\nu(s[n], u[n])$ можно записать в виде модулярной функции f_ν , зависящей от $k + r$ аргументов:

$$F_\nu(s[n], u[n]) = f_\nu(s_1[n], \dots, s_k[n], u_1[n], \dots, u_r[n]), \quad \nu = 1, \dots, k. \quad (2)$$

При каждом n модулярную функцию $f_\nu(\dots)$ можно представить в виде полинома над конечным полем $GF(2)$ с помощью произведения элементов множества

$$U = \{s_1[n], \dots, s_k[n], u_1[n], \dots, u_r[n]\} \quad (3)$$

в различных возможных комбинациях. В возможных разных комбинациях произведений элементов из U число множителей может быть от нуля до $k + r$ и количество таких произведений суть 2^{k+r} . Каждое такое произведение имеет коэффициенты из поля $GF(2)$.

Выберем произвольное $i \in \{0, \dots, k + r\}$ и рассмотрим произведения элементов из (3) в различных комбинациях, количество множителей из $U_1 = \{s_1[n], \dots, s_k[n]\}$ и $U_2 = \{u_1[n], \dots, u_r[n]\}$ которых равно соответственно m и ℓ , где $0 \leq m \leq k$, $0 \leq \ell \leq r$ и $m + \ell = i$. Тогда это произведение в общем виде можно представить в виде

$$\prod_{\xi=1}^m s_{\alpha_\xi}[n] \prod_{\sigma=1}^\ell u_{\beta_\sigma}[n],$$

где $(\alpha_1, \dots, \alpha_m) \in \Omega_1(m)$, $(\beta_1, \dots, \beta_\ell) \in \Omega_2(\ell)$, причем

$$\Omega_1(m) = \{\bar{\alpha} = (\alpha_1, \dots, \alpha_m) \mid 1 \leq \alpha_1 < \dots < \alpha_m \leq k\}, \quad (4)$$

$$\Omega_2(\ell) = \{\bar{\beta} = (\beta_1, \dots, \beta_\ell) \mid 1 \leq \beta_1 < \dots < \beta_\ell \leq r\}. \quad (5)$$

Пусть

$$\Phi(i) = \{(m, \ell) \mid i = m + \ell\}. \quad (6)$$

Тогда

$$\begin{aligned} f_\nu(s_1[n], \dots, s_k[n], u_1[n], \dots, u_r[n]) = \\ = \sum_{i=0}^{k+r} \sum_{(m, \ell) \in \Phi(i)} \sum_{(\bar{\alpha}, \bar{\beta}) \in \Omega_1(m) \times \Omega_2(\ell)} K_\nu^{(m, \ell)}[\bar{\alpha}, \bar{\beta}] \prod_{\xi=1}^m s_{\alpha_\xi}[n] \prod_{\sigma=1}^\ell u_{\beta_\sigma}[n], \end{aligned} \quad (7)$$

где $K_\nu^{(m, \ell)}[\bar{\alpha}, \bar{\beta}]$, $(\bar{\alpha}, \bar{\beta}) \in \Omega_1(m) \times \Omega_2(\ell)$, $(m, \ell) \in \Phi(i)$, $i \in \{1, \dots, k + r\}$, $\nu \in \{1, \dots, k\}$, суть коэффициенты, являющиеся элементами из $GF(2)$, а запись $GF(2)$ в формуле (7) означает, что операция сложения и умножения происходит над полем $GF(2)$, т.е. эти операции, суть операции соответственно сложения и умножения по модулю 2.

Ясно, что при $i = 0$ множество $\Phi(i) = \{(m, \ell) \mid i = m + \ell\} = \{(0, 0)\}$, и поэтому множества

$\Omega_1(m)$ и $\Omega_2(\ell)$ есть пустые множества. Поэтому при $i = 0$ коэффициенты $K_\nu^{(m, \ell)}[\bar{\alpha}, \bar{\beta}]$ будем записывать в виде $K_\nu^{(0,0)}$. Кроме того, при $m = 0, \ell > 0$ и $m > 0, \ell = 0$ коэффициента $K_\nu^{(m, \ell)}[\bar{\alpha}, \bar{\beta}]$ будем записывать в виде $K_\nu^{(0, \ell)}[0, \bar{\beta}]$ и $K_\nu^{(m, 0)}[\bar{\alpha}, 0]$ соответственно.

Таким образом, справедлива теорема:

Теорема 1. Пусть имеют место(3)-(6). Тогда ДМДС (1) может быть представлена в виде следующего полинома

$$s_\nu[n+1] = K_{\nu,0} + \sum_{i=1}^{k+r} \sum_{(m,\ell) \in \Phi(i)} \sum_{(\bar{\alpha},\bar{\beta}) \in \Omega_1(m) \times \Omega_2(\ell)} K_\nu^{(m,\ell)}[\bar{\alpha},\bar{\beta}] \prod_{\xi=1}^m s_{\alpha_\xi}[n] \prod_{\sigma=1}^\ell u_{\beta_\sigma}[n], GF(2), \nu=1,...,k. \quad (8)$$

Полином (1) является общей формулой для представления ДМДС (1).

3. Нахождение неизвестных коэффициентов полиномиальных представлений для полной реакции ДМДС. Пусть при заданных значениях последовательности $s[n]$ и $u[n]$ известны значения последовательности $s[n+1]$. Найдем в полиноме (8) коэффициенты $K_\nu^{(0,0)}$, $K_\nu^{(m,\ell)}[\bar{\alpha},\bar{\beta}]$ для всех $(\bar{\alpha},\bar{\beta}) \in \Omega_1(m) \times \Omega_2(m)$, $(m,\ell) \in \Phi(i)$, $i \in \{1,...,k+r\}$, $\nu = \overline{1,k}$. Для этого рассмотрим

$$s_\nu[n+1] = f_\nu(s_1[n],...,s_k[n],u_1[n],...,u_r[n]), \nu=1,...,k. \quad (9)$$

Из (9) видно, что

$$K_\nu^{(0,0)} = f_\nu(0,...,0,...,0,...,0). \quad (10)$$

Пусть в векторе $s[n]$ суть $s_\gamma[n]=1$, где $1 \leq \gamma \leq k$, а остальные компоненты $s[n]$ и все компоненты вектора $u[n]$ имеют значение 0. Если эти значения учесть в (8), тогда получим:

$$s_\nu[n+1] = K_\nu^{(0,0)} + K_\nu^{(1,0)}[(\gamma),0]s_\gamma[n], GF(2), \nu=1,...,k. \quad (11)$$

Из (11) получается, что

$$K_\nu^{(1,0)}[(\gamma),0] = K_\nu^{(0,0)} + s_\nu[n+1], GF(2), \nu=1,...,k. \quad (12)$$

Пусть в векторе $u[n]$ суть $u_\mu[n]=1$, где $1 \leq \mu \leq r$, а остальные компоненты $u[n]$ и все компоненты вектора $s[n]$ имеют значение 0. Если эти значения учесть в (8), тогда получим:

$$s_\nu[n+1] = K_\nu^{(0,0)} + K_\nu^{(0,1)}[0,(\mu)]u_\mu[n], GF(2), \nu=1,...,k. \quad (13)$$

Из (11) получается, что

$$K_\nu^{(0,1)}[0,(\mu)] = K_\nu^{(0,0)} + s_\nu[n+1], GF(2), \nu=1,...,k. \quad (14)$$

Пусть в векторе $s[n]$ суть $s_{\gamma_1}[n]=1$ и $s_{\gamma_2}[n]=1$, где $1 \leq \gamma_1 < \gamma_2 \leq k$, а остальные компоненты $s[n]$ и все компоненты вектора $u[n]$ имеют значение 0. Если эти значения учесть в (8), тогда получим:

$$\begin{aligned} s_\nu[n+1] = & K_\nu^{(0,0)} + K_\nu^{(1,0)}[(\gamma_1),0]s_{\gamma_1}[n] + K_\nu^{(1,0)}[(\gamma_2),0]s_{\gamma_2}[n] + \\ & + K_\nu^{(2,0)}[(\gamma_1,\gamma_2),0]s_{\gamma_1}[n]s_{\gamma_2}[n], GF(2), \nu=1,...,k, \end{aligned}$$

или

$$s_\nu[n+1] = K_\nu^{(0,0)} + K_\nu^{(1,0)}[(\gamma_1),0] + K_\nu^{(1,0)}[(\gamma_2),0] + K_\nu^{(2,0)}[(\gamma_1,\gamma_2),0], GF(2), \nu=1,...,k, \quad (15)$$

Из (15) получается, что

$$K_\nu^{(2,0)}[(\gamma_1,\gamma_2),0] = K_\nu^{(0,0)} + K_\nu^{(1,0)}[(\gamma_1),0] + K_\nu^{(1,0)}[(\gamma_2),0] + s_\nu[n+1], GF(2), \nu=1,...,k. \quad (16)$$

Пусть $u_{\mu_1}[n]=1$ и $u_{\mu_2}[n]=1$, где $1 \leq \mu_1 < \mu_2 \leq r$, а остальные компоненты вектора $u[n]$ и все компоненты вектора $s[n]$ имеют значение 0. Если эти значения учесть в (8), тогда получим:

$$K_\nu^{(0,2)}[0,(\mu_1,\mu_2)] = K_\nu^{(0,0)} + K_\nu^{(0,1)}[0,(\mu_1)] + K_\nu^{(0,1)}[0,(\mu_2)] + s_\nu[n+1], GF(2), \nu=1,...,k. \quad (17)$$

Пусть $s_\gamma[n]=1$ и $u_\mu[n]=1$, где $1 \leq \gamma \leq k$ и $1 \leq \mu \leq r$, а остальные компоненты векторов $s[n]$ и $u[n]$ имеют значение 0. Если эти значения учесть в (8), тогда получим:

$$\begin{aligned} s_\nu[n+1] = & K_\nu^{(0,0)} + K_\nu^{(1,0)}[(\gamma),0]s_\gamma[n] + K_\nu^{(0,1)}[0,(\mu)]u_\mu[n] + \\ & + K_\nu^{(1,1)}[(\gamma),(\mu)]s_\gamma[n]u_\mu[n], GF(2), \nu=1,...,k, \end{aligned}$$

или

$$s_\nu[n+1] = K_\nu^{(0,0)} + K_\nu^{(1,0)}[(\gamma),0] + K_\nu^{(0,1)}[0,(\mu)] + K_\nu^{(1,1)}[(\gamma),(\mu)], \quad GF(2), \nu=1,\dots,k. \quad (18)$$

Из (18) для $K_\nu^{(1,1)}[(\gamma),(\mu)]$ получим

$$K_\nu^{(1,1)}[(\gamma),(\mu)] = K_\nu^{(0,0)} + K_\nu^{(1,0)}[(\gamma),0] + K_\nu^{(0,1)}[0,(\mu)] + s_\nu[n+1], \quad GF(2), \nu=1,\dots,k. \quad (19)$$

Пусть для фиксированных $\bar{\alpha} = (\alpha_1, \dots, \alpha_m) \in \Omega_1(m)$ и $\bar{\beta} = (\beta_1, \dots, \beta_\ell) \in \Omega_2(\ell)$ суть $s_{\alpha_\eta}[n] = 1$, $\eta = \overline{1, m}$ и $u_{\beta_\sigma}[n] = 1$, $\sigma = \overline{1, \ell}$, а остальные компоненты векторов $s[n]$ и $u[n]$ имеют значение 0. Если эти значения учесть в (8), тогда получим:

$$\begin{aligned} s_\nu[n+1] &= \sum_{i=0}^m \sum_{j=0}^\ell \sum_{(\xi_1, \dots, \xi_i) \in V_i(m)} \sum_{(\eta_1, \dots, \eta_j) \in R_j(\ell)} K_\nu^{(i,j)}[(\alpha_{\xi_1}, \dots, \alpha_{\xi_i}), (\beta_{\eta_1}, \dots, \beta_{\eta_j})] \times \\ &\quad \times \prod_{\gamma=1}^i s_{\alpha_{\xi_\gamma}}[n] \prod_{\sigma=1}^j u_{\beta_{\eta_\sigma}}[n], \quad GF(2), \nu=1,\dots,k, \end{aligned} \quad (20)$$

где

$$V_i(m) = \{(\xi_1, \dots, \xi_i) \mid 1 \leq \xi_1 < \dots < \xi_i \leq m\}, \quad R_j(\ell) = \{(\eta_1, \dots, \eta_j) \mid 1 \leq \eta_1 < \dots < \eta_j \leq \ell\}.$$

Ясно, что при $i=m$ и $j=\ell$ в правой части получается член с самыми высокими степенями и коэффициент этого члена суть $K_\nu^{(i,j)}[(\alpha_{\xi_1}, \dots, \alpha_{\xi_i}), (\beta_{\eta_1}, \dots, \beta_{\eta_j})]$, где $\bar{\alpha} = (\alpha_1, \dots, \alpha_m) \in \Omega_1(m)$ и $\bar{\beta} = (\beta_1, \dots, \beta_\ell) \in \Omega_2(\ell)$. Отметим, что при $i=m$ и $j=\ell$ каждое множество $V_i(m)$ и $R_j(\ell)$ имеет один элемент и эти элементы суть $(1, 2, \dots, m)$ и $(1, 2, \dots, \ell)$ соответственно. Этим элементам соответствуют векторы $\bar{\alpha} = (\alpha_1, \dots, \alpha_m) \in \Omega_1(m)$ и $\bar{\beta} = (\beta_1, \dots, \beta_\ell) \in \Omega_2(\ell)$. Поэтому

$$K_\nu^{(i,j)}[(\alpha_{\xi_1}, \dots, \alpha_{\xi_i}), (\beta_{\eta_1}, \dots, \beta_{\eta_j})] = K_\nu^{(m,\ell)}[(\alpha_1, \dots, \alpha_m), (\beta_1, \dots, \beta_\ell)].$$

Учитывая, что $s_{\alpha_\eta}[n] = 1$, $\eta = \overline{1, m}$ и $u_{\beta_\sigma}[n] = 1$, $\sigma = \overline{1, \ell}$, а остальные компоненты векторов $s[n]$ и $u[n]$ имеют значение 0, из формулы (20) получим:

$$s_\nu[n+1] = \sum_{(i, j) \in \Gamma(m, \ell)} \sum_{(\xi_1, \dots, \xi_i) \in V_i(m)} \sum_{(\eta_1, \dots, \eta_j) \in R_j(\ell)} K_\nu^{(i,j)}[(\alpha_{\xi_1}, \dots, \alpha_{\xi_i}), (\beta_{\eta_1}, \dots, \beta_{\eta_j})], \quad GF(2), \nu=1,\dots,k, \quad (21)$$

где $\Gamma(m, \ell) = \{(i, j) \mid i = \overline{1, m}, j = \overline{1, \ell}\}$. Для нахождения $K_\nu^{(m,\ell)}[(\alpha_1, \dots, \alpha_m), (\beta_1, \dots, \beta_\ell)]$ формулы (21) пишем в виде:

$$\begin{aligned} s_\nu[n+1] &= K_\nu^{(m,\ell)}[(\alpha_1, \dots, \alpha_m), (\beta_1, \dots, \beta_\ell)] + \\ &+ \sum_{(i, j) \in \Gamma_1(m, \ell)} \sum_{(\xi_1, \dots, \xi_i) \in V_i(m)} \sum_{(\eta_1, \dots, \eta_j) \in R_j(\ell)} K_\nu^{(i,j)}[(\alpha_{\xi_1}, \dots, \alpha_{\xi_i}), (\beta_{\eta_1}, \dots, \beta_{\eta_j})], \quad GF(2), \nu=1,\dots,k, \end{aligned} \quad (22)$$

где $\Gamma_1(m, \ell) = \Gamma(m, \ell) \setminus \{(m, \ell)\}$.

Таким образом, для нахождения $K_\nu^{(m,\ell)}[(\alpha_1, \dots, \alpha_m), (\beta_1, \dots, \beta_\ell)]$ из формулы (22) получим:

$$\begin{aligned} K_\nu^{(m,\ell)}[(\alpha_1, \dots, \alpha_m), (\beta_1, \dots, \beta_\ell)] &= s_\nu[n+1] + \\ &+ \sum_{(i, j) \in \Gamma_1(m, \ell)} \sum_{(\xi_1, \dots, \xi_i) \in V_i(m)} \sum_{(\eta_1, \dots, \eta_j) \in R_j(\ell)} K_\nu^{(i,j)}[(\alpha_{\xi_1}, \dots, \alpha_{\xi_i}), (\beta_{\eta_1}, \dots, \beta_{\eta_j})], \quad GF(2), \nu=1,\dots,k, \end{aligned} \quad (23)$$

Таким образом, справедлива теорема:

Теорема 2. Пусть для фиксированных $\bar{\alpha} = (\alpha_1, \dots, \alpha_m) \in \Omega_1(m)$ и $\bar{\beta} = (\beta_1, \dots, \beta_\ell) \in \Omega_2(\ell)$ суть $s_{\alpha_\eta}[n] = 1$, $\eta = \overline{1, m}$ и $u_{\beta_\sigma}[n] = 1$, $\sigma = \overline{1, \ell}$, а остальные компоненты векторов $s[n]$ и $u[n]$ имеют значение 0. Тогда коэффициент, соответствующий члену с самыми высокими степенями в полиноме (8), суть коэффициент $K_\nu^{(m,\ell)}[(\alpha_1, \dots, \alpha_m), (\beta_1, \dots, \beta_\ell)]$ и для определения этого коэффициента справедлива формула (23).

Формула (23) вместе с формулами (10),(12),(14),(16),(17),(19) определяет рекуррентное соотношение для нахождения коэффициентов полинома (8) при известных значениях входных последовательностей и последовательностей состояния в такте n и последовательностей состояния в такте $n+1$ ДМДС (8).

4. Пример 1. Пусть $k = 2$, $r = 2$. Тогда $k + r = 4$. Выводим формулу для детального описания ДМДС (8). Ясно, что возможны следующие случаи:

Случай $i = 0$. В этом случае $\Phi(0) = \emptyset$. Этому случаю соответствует член $\Gamma_{1,\nu} = K_\nu^{(0,0)}$.

Случай $i = 1$. В этом случае $\Phi(1) = \{(1,0), (0,1)\}$.

а) $(m, \ell) = (1,0)$. При этом $\Omega_1(1) = \{\bar{\alpha} = (\alpha_1) \mid 1 \leq \alpha_1 \leq 2\} = \{(1)\}$, $\Omega_2(0) = \emptyset$.

$(m, \ell) = (1,0)$ соответствуют следующие члены:

$$\Gamma_{2,\nu} = K_\nu^{(1,0)}[(1),0]s_1[n], \quad \Gamma_{3,\nu} = K_\nu^{(1,0)}[(2),0]s_2[n].$$

б) $(m, \ell) = (0,1)$. При этом $\Omega_1(0) = \emptyset$ и $\Omega_2(1) = \{\bar{\beta} = (\beta_1) \mid 1 \leq \beta_1 \leq 2\} = \{(1)\}$.

Поэтому этому случаю соответствуют следующие члены:

$$\Gamma_{4,\nu} = K_\nu^{(0,1)}[0,(1)]u_1[n], \quad \Gamma_{5,\nu} = K_\nu^{(0,1)}[0,(2)]u_2[n].$$

Случай $i = 2$. В этом случае $\Phi(2) = \{(1,1), (0,2), (2,0)\}$.

а) $(m, \ell) = (1,1)$. При этом

$\Omega_1(1) = \{\bar{\alpha} = (\alpha_1) \mid 1 \leq \alpha_1 \leq 2\} = \{(1)\}$, $\Omega_2(2) = \{\bar{\beta} = (\beta_1) \mid 1 \leq \beta_1 \leq 2\} = \{(1)\}$.

$(m, \ell) = (1,1)$ соответствуют следующие члены:

$$\Gamma_{6,\nu} = K_\nu^{(1,1)}[(1),(1)]s_1[n]u_1[n], \quad \Gamma_{7,\nu} = K_\nu^{(1,1)}[(2),(1)]s_2[n]u_1[n], \quad \Gamma_{8,\nu} = K_\nu^{(1,1)}[(1),(2)]s_1[n]u_2[n],$$

$$\Gamma_{9,\nu} = K_\nu^{(1,1)}[(2),(2)]s_2[n]u_2[n].$$

б) $(m, \ell) = (2,0)$. При этом $\Omega_1(2) = \{\bar{\alpha} = (\alpha_1, \alpha_2) \mid 1 \leq \alpha_1 < \alpha_2 \leq 2\} = \{(1,2)\}$ и $\Omega_2(0) = \emptyset$.

$(m, \ell) = (2,0)$ соответствует член $\Gamma_{10,\nu} = K_\nu^{(2,0)}[(1,2),0]s_1[n]s_2[n]$.

в) $(m, \ell) = (0,2)$. При этом $\Omega_1(0) = \emptyset$ и $\Omega_2(2) = \{\bar{\beta} = (\beta_1, \beta_2) \mid 1 \leq \beta_1 < \beta_2 \leq 2\} = \{(1,2)\}$.

$(m, \ell) = (0,2)$ соответствует член $\Gamma_{11,\nu} = K_\nu^{(0,2)}[0,(1,2)]u_1[n]u_2[n]$.

Случай $i = 3$. В этом случае $\Phi(3) = \{(2,1), (1,2)\}$.

а) $(m, \ell) = (2,1)$. При этом

$\Omega_1(2) = \{\bar{\alpha} = (\alpha_1, \alpha_2) \mid 1 \leq \alpha_1 < \alpha_2 \leq 2\} = \{(1,2)\}$, $\Omega_2(1) = \{\bar{\beta} = (\beta_1) \mid 1 \leq \beta_1 \leq 2\} = \{(1)\}$.

$(m, \ell) = (2,1)$ соответствуют следующие члены:

$$\Gamma_{12,\nu} = K_\nu^{(2,1)}[(1,2),(1)]s_1[n]s_2[n]u_1[n], \quad \Gamma_{13,\nu} = K_\nu^{(2,1)}[(1,2),(2)]s_1[n]s_2[n]u_2[n].$$

б) $(m, \ell) = (1,2)$. При этом

$\Omega_1(1) = \{\bar{\alpha} = (\alpha_1) \mid 1 \leq \alpha_1 \leq 2\} = \{(1)\}$, $\Omega_2(2) = \{\bar{\beta} = (\beta_1, \beta_2) \mid 1 \leq \beta_1 < \beta_2 \leq 2\} = \{(1,2)\}$.

$(m, \ell) = (1,2)$ соответствуют следующие члены:

$$\Gamma_{14,\nu} = K_\nu^{(1,2)}[(1),(1,2)]s_1[n]u_1[n]u_2[n], \quad \Gamma_{15,\nu} = K_\nu^{(1,2)}[(1),(2)]s_1[n]u_1[n]u_2[n],$$

Случай $i = 4$. В этому случае $\Phi(4) = \{(2,2)\}$. При этом

$\Omega_1(2) = \{\bar{\alpha} = (\alpha_1, \alpha_2) \mid 1 \leq \alpha_1 < \alpha_2 \leq 2\} = \{(1,2)\}$, $\Omega_2(2) = \{\bar{\beta} = (\beta_1, \beta_2) \mid 1 \leq \beta_1 < \beta_2 \leq 2\} = \{(1,2)\}$.

Поэтому этому случаю соответствуют члены:

$$\Gamma_{16,\nu} = K_\nu^{(2,2)}[(1,2),(1,2)]s_1[n]s_2[n]u_1[n]u_2[n].$$

Таким образом:

$$s_\nu[n+1] = K_\nu^{(0,0)} + K_\nu^{(1,0)}[(1),0]s_1[n] + K_\nu^{(1,0)}[(2),0]s_2[n] + K_\nu^{(0,1)}[0,(1)]u_1[n] + K_\nu^{(0,1)}[0,(2)]u_2[n] +$$

$$\begin{aligned}
& + K_{\nu}^{(1,1)}[(1),(1)]s_1[n]u_1[n] + K_{\nu}^{(1,1)}[(2),(1)]s_2[n]u_1[n] + K_{\nu}^{(1,1)}[(1),(2)]s_1[n]u_2[n] + (24) \\
& + K_{\nu}^{(1,1)}[(2),(2)]s_2[n]u_2[n] + K_{\nu}^{(2,0)}[(1,2),0]s_1[n]s_2[n] + K_{\nu}^{(0,2)}[0,(1,2)]u_1[n]u_2[n] + \\
& + K_{\nu}^{(2,1)}[(1,2),(1)]s_1[n]s_2[n]u_1[n] + K_{\nu}^{(2,1)}[(1,2),(2)]s_1[n]s_2[n]u_2[n] + \\
& + K_{\nu}^{(1,2)}[(1),(1,2)]s_1[n]u_1[n]u_2[n] + K_{\nu}^{(1,2)}[(1),(1,2)]s_1[n]u_1[n]u_2[n] + \\
& + K_{\nu}^{(2,2)}[(1,2),(1,2)]s_1[n]s_2[n]u_1[n]u_2[n], GF(2), \nu = 1, \dots, k.
\end{aligned}$$

5. Пример 2. Пусть $k = 2$, $r = 2$. На основе формулы (23) выводим рекуррентное соотношение для нахождения коэффициента, например, $K_{\nu}^{(2,1)}[(1,2),(1)]$ в полиноме (24) при известных значениях входных последовательностей и последовательностей состояния в такте n и последовательностей состояния в такте $n+1$. По формуле (23) имеем:

Ясно, что

$$\begin{aligned}
\Gamma(2,1) &= \{(0,0), (0,1), (1,0), (1,1), (2,0), (2,1)\}, \quad \Gamma_1(2,1) = \{(0,0), (0,1), (1,0), (1,1), (2,0)\}, \\
V_2(2) &= \{(1,2)\}, \quad V_1(2) = \{(1), (2)\}, \quad V_0(2) = \emptyset, \\
R_1(1) &= \{(1)\}, \quad R_0(1) = \emptyset.
\end{aligned} \tag{25}$$

По формулам (23), (25) имеем:

$$\begin{aligned}
K_{\nu}^{(2,1)}[(1,2),(1)] &= s_{\nu}[n+1] + K_{\nu}^{(2,0)}[(1,2),0] + K_{\nu}^{(1,1)}[(1),(1)] + K_{\nu}^{(1,1)}[(2),(1)] + \\
& + K_{\nu}^{(1,0)}[(1),0] + K_{\nu}^{(1,0)}[(2),0] + K_{\nu}^{(0,1)}[0,(1)] + K_{\nu}^{(0,0)}, GF(2), \nu = \overline{1, k}.
\end{aligned}$$

6. Заключение. Полиномиальное представление в виде (8) для ДМДС (1) является общим функциональным соотношением и может быть использовано при исследовании их различных свойств, при постановке и решении для них различных математических и прикладных задач и т.д. Полученное рекуррентное соотношение для определения коэффициентов полиномиальных представлений может быть использовано при разработке алгоритмов и программ для вычисления значений этих коэффициентов.

ЛИТЕРАТУРА

- Гилл А. Линейные последовательностные машины. М.: Наука, 1974, 288 с.
- Фараджев Р.Г. Линейные последовательностные машины. М.: Сов.А, 1975, 248 с.
- Блюмин С.Л., Фараджев Р.Г. Анализ и синтез конечных линейных последовательностно-клеточных машин// Автоматика и телемеханика. №6. М.: Наука, 1981, с. 57-66
- Блюмин С.Л., Фараджев Р.Г. Линейные клеточные машины: Подход пространства состояний (обзор)// Автоматика и телемеханика. №2. М.: Наука, 1982, с. 125-163
- Фараджев Р.Г., Фейзиев Ф.Г. Методы и алгоритмы решения задачи квадратичной оптимизации для двоичных последовательностных машин. Баку: Элм, 1996, 180 с.
- Фейзиев Ф.Г., Фараджева М.Р. Модулярные последовательностные машины: Основные результаты по теории и приложению. Баку: Элм, 2006, 234 с.
- Фейзиев Ф.Г., Самедова З.А. Полиномиальное соотношение для представления полной реакции 3D-Полиномиальных модулярных динамических систем// Электронное моделирование. т. 33, №2, 2014 // 3D-модулярных динамических систем
- Блейхут Р. Теория и практика кодов, контролирующих ошибки. М.: Мир, 1986, 576 с.
- Латыпов Р.Х., Нуруддинов Ш.Р., Соловьев Е.Л., Фараджев Р.Г. Применение теории линейных последовательностных машин в системах диагностирования // Автоматика и телемеханика. №8. М.: Наука, 1988, с. 3-27
- Иванов М.А. Криптографические методы защиты информации в компьютерных системах и сетях. М.: Кудиц-образ, 2001, 368 с.

-
11. Байбатшаев М.Ш. Синтез одного класса систем с двоичной нелинейной последовательностной машиной для управления непрерывным объектом// Сборник трудов ВНИИСИ. Вып. 1, 1978, с.48-58
 12. Nagiyev A.T., Feyziyev F.G. The sequential cellular-machining model of the continuous objects with distributing parameters// Germany, Hagen: Seminarberichte, Fachbereich Mathematic. 2001. Band 71, pp. 31-43
 13. Блюмин С.Л., Корнеев А.М. Дискретное моделирование систем автоматизации и управления. Монография. Липецкий эколого-гуманитарный институт, 2005, 124 с.
 14. Фейзиев Ф.Г., Мехтиева М.Р., Гусейнова А.Дж. Двузначный аналог полинома Вольтерры для описания полной реакции двоичных многомерных нелинейных модульярных динамических систем// Электронное моделирование.т.39, № 3. Киев, 2017, с. 3-15
 15. Фейзиев Ф.Г., Абаева Н.Б. Полиномиальное соотношение для представления полной реакции одного класса двоичных 4D-модульярных динамических систем // Вестник Пермского университета. Серия Математика. Механика. Информатика.вып. 2(45). Пермь, 2019, с.46–54
 16. Фейзиев Ф.Г., Мехтиева М.Р.Аналитическое представление полной реакции одного класса двоичных 3D-многомерных нелинейных модульярных динамических систем // Вестник Томского государственного университета. Управление, вычислительная техника и информатика. № 49. Томск, 2019,с. 82-91

XÜLASƏ
BİR SİNİF İKİLİK MODULYAR DİNAMİK SİSTEMİN TAM REAKSİYASININ
POLİNOMİAL GÖSTƏRİLİŞİ
Feyziyev F.G., Mehdiyeva M.R., Bayramova A.A.

Açar sözlər: modulyar dinamik sistemlər, tam reaksiya düsturu, polinomial göstəriliş, naməlum əmsallar, rekurrent düstur

Bir sinif ikilik modulyar dinamik sistemlerin tam reaksiyasının polinomial göstərilişi məsələsinə baxılır və polinomial göstəriliş düsturu verilir. Verilmiş giriş və vəziyyət ardıcılıqları üçün polinomial göstərilişin naməlum əmsallarının təpiləsi üçün rekurrent münasibətlər təklif olunur. Xüsusi ikilik çoxölçülü modulyar dinamik sistemin tam reaksiyasının analitik göstərilişi üçün nümunə verilir. Polinomial göstərilişin bir xüsusi əmsalının təpiləsi üçün rekurrent münasibətin çıxarılması nümunə verilir.

SUMMARY
POLYNOMIAL DESCRIPTION OF THE FULL REACTION OF ONE CLASS BINARY
MODULAR DYNAMIC SYSTEMS
Feyziyev F.G., Mehdiyeva M.R., Bayramova A.A.

*Key words:*modular dynamic systems, formula of full reaction, polynomial description, unknown coefficients, recurrence ratio

The question of polynomial description of the full reaction of one class binary modular dynamic systems is considered and formula polynomial description is presented. For the known values input and state sequences, the recurrence relations for finding the unknown coefficients of polynomial descriptions are given. An example for the analytical description of full reaction of a special binary multidimensional modular dynamic system is given. An example of obtaining a recurrence relation for finding one special coefficient of a polynomial description is given.

Daxilolma tarixi:	İllkin variant	13.11.2020
	Son variant	04.03.2020

УДК 517.91

ОБ ОДНОМ СПОСОБЕ НАХОЖДЕНИЯ ОБЩЕГО РЕШЕНИЯ УРАВНЕНИЯ РИККАТИ

¹ЮСИФОВ БАКИР МАГОМЕД оглу

²МАМЕДОВ АКБЕР ДЖОМАРД оглу

Сумгаитский государственный университет, 1,2 – доцент

Yusifov.bakir@mail.ru

Ключевые слова: уравнение Риккати, уравнение Бернулли, общее уравнение, дифференциальное уравнение.

В данной работе рассматривается задача нахождения общего решения уравнения Риккати. Доказано, что если свободный член удовлетворяет определенным условиям, можно найти общее уравнения Риккати.

Пусть дано дифференциальное уравнение

$$y' = y^n + r(x) \quad (1)$$

Здесь $r(x)$ - заданная непрерывная функция, n - некоторое постоянное число. Будем предполагать, что $n \neq 0, n \neq 1$. Уравнение (1) перепишем в виде

$$y' - p(x)y - y^n = r(x) - p(x)y.$$

Здесь $p(x)$ пока неизвестная непрерывная функция. Потребуем, чтобы удовлетворялись равенства

$$y' - p(x)y - y^n = 0 \quad (2)$$

и

$$r(x) - p(x)y = 0 \quad (3)$$

Уравнение (2) является уравнением Бернулли. Решая уравнение (2), мы получим общий интеграл уравнения Бернулли в виде

$$y(x) = \left[\frac{e^{(n-1) \int p(x) dx}}{c - (n-1) \int e^{(n-1) \int p(x) dx} dx} \right]^{\frac{1}{n-1}} \quad (4)$$

С другой стороны из уравнения (3) имеем

$$y = \frac{r(x)}{p(x)}. \quad (5)$$

Из уравнение (4) и (5) имеем

$$\left[\frac{e^{(n-1) \int p(x) dx}}{c - (n-1) \int e^{(n-1) \int p(x) dx} dx} \right]^{\frac{1}{n-1}} = \frac{r(x)}{p(x)} . \quad (6)$$

Отсюда получается, что если равенство

$$r(x) = p(x) \left[\frac{e^{(n-1) \int p(x) dx}}{c - (n-1) \int e^{(n-1) \int p(x) dx} dx} \right]^{\frac{1}{n-1}} \quad (7)$$

удовлетворяется, то используя равенство (5) или (4), можно найти решение уравнения (1). С целью упрощения равенства (7) обозначим

$$\int e^{(n-1) \int p(x) dx} dx = v(x).$$

Тогда $v'(x) = e^{(n-1) \int p(x) dx}$, $v''(x) = (n-1)p(x)v'(x)$. Учитывая эти равенства в (7), имеем

$$r(x) = \frac{v''(x)}{(n-1)v'(x)} \left[\frac{v'(x)}{c - (n-1)v(x)} \right]^{\frac{1}{n-1}} \quad (8)$$

Тогда равенство (4) имеет вид

$$y(x) = \left[\frac{v'(x)}{c - (n-1)v(x)} \right]^{\frac{1}{n-1}} \quad (9)$$

Пример 1. Пусть $v(x) = x^2$. Тогда $v'(x) = 2x$, $v''(x) = 2$ и равенство (8) примет вид

$$r(x) = \frac{2}{(n-1)2x} \left[\frac{2x}{c - (n-1)x^2} \right]^{\frac{1}{n-1}} = \frac{1}{(n-1)x} \left[\frac{2x}{c - (n-1)x^2} \right]^{\frac{1}{n-1}}.$$

Итак, если уравнение (1) имеет следующий вид

$$y' = y^n + \frac{1}{(n-1)x} \left[\frac{2x}{c - (n-1)x^2} \right]^{\frac{1}{n-1}},$$

то его общим решением является функция

$$y(x) = \left[\frac{2x}{c - (n-1)x^2} \right]^{\frac{1}{n-1}}.$$

Пусть $n = 2$. Тогда уравнение (1) имеет вид $y' = y^2 + r(x)$ и это является уравнением Риккати [1-4]. В этом случае

$$r(x) = \frac{v''(x)}{c - v(x)}$$

и

$$y(x) = \frac{v'(x)}{c - v(x)}.$$

И так получается, что если уравнение Риккати имеет вид

$$y' = y^2 + \frac{v''(x)}{c - v(x)}$$

то его решение

$$y(x) = \frac{v'(x)}{c - v(x)}.$$

Пример 2. Пусть $v(x) = x^2$. Тогда уравнение Риккати имеет вид

$$y' = y^2 + \frac{2}{c - x^2}$$

и его решение $y(x) = \frac{2x}{c-x^2}$.

Пример 3. Пусть $\gamma(x) = \operatorname{tg} x$. Тогда $\gamma'(x) = \frac{1}{\cos^2 x}$, $\gamma''(x) = \frac{2 \sin x}{\cos^3 x}$ и

$r(x) = \frac{\gamma''}{c - \gamma(x)} = \frac{\frac{2 \sin x}{\cos^3 x}}{c - \operatorname{tg} x} = \frac{2 \sin x}{\cos^2 x(c \cos x - \sin x)}$. Пусть $c = 0$. Тогда $r(x) = -\frac{2}{\cos^2 x}$ и уравнение

Риккати имеет вид $y' = y^2 - \frac{2}{\cos^2 x}$ и его частное решение примет вид

$$y(x) = -\frac{1}{\cos^2 x} \cdot \frac{\cos x}{\sin x} = -\frac{2}{\sin 2x}.$$

Пример 4. Пусть $\gamma(x) = e^{\frac{x^2}{2}}(ax+b)$.

$$\text{Тогда } \gamma'(x) = \gamma(x)x + ae^{\frac{x^2}{2}} = \gamma(x)x + \frac{a\gamma(x)}{ax+b} = \gamma(x)\left(x + \frac{a}{ax+b}\right),$$

$$\gamma''(x) = \gamma'(x)\left(x + \frac{a}{ax+b}\right) + S(x)\left(1 - \frac{a^2}{(ax+b)^2}\right) = S(x)\left(x + \frac{a}{ax+b}\right)^2 +$$

$$+ S(x)\left(1 - \frac{a^2}{(ax+b)^2}\right) = S(x)\left(x^2 + \frac{2ax}{ax+b} + 1\right),$$

$$r(x) = -\frac{\gamma''(x)}{\gamma(x)} = -\left(x^2 + \frac{2ax}{ax+b} + 1\right), \quad y(x) = -\frac{\gamma'(x)}{\gamma(x)} = -(x + \frac{a}{ax+b})(c=0).$$

Тогда уравнение Риккати имеет вид $y' = y^2 - \left(x^2 + \frac{2ax}{ax+b} + 1\right)$ и его частным решением

является функция $y(x) = -\left(x + \frac{a}{ax+b}\right)$. Если $a=1, b=0$, то уравнение имеет вид

$$y' = y^2 - (x^2 + 3) \text{ и его частным решением является функция } y(x) = -\left(x + \frac{1}{x}\right).$$

ЛИТЕРАТУРА

- Степанов В.В. Курс дифференциальных уравнений. М.: Физматгиз, 1959, 468 с.
- Филиппов А.Ф. Сборник задач по дифференциальным уравнениям. М.: Наука, 1979, 126 с.
- Самойленко А.М., Кривошея С.А., Перестюк Н.А. Дифференциальные уравнения: примеры и задачи. М.: Высшая школа, 1980, 382 с.
- Əhmədov Q.T., Həsənov K.Q., Yaqubov M.H. Adi diferensial tənliklər. Bakı: Bakı Universiteti, 2015, 592 s.

XÜLASƏ

RİKKATI TƏNLİYİNİN ÜMUMİ HƏLLİNİ TAPMAĞIN BİR ÜSULU HAQQINDA Yusifov B.M., Məmmədov Ə.C.

Açar sözlər: Rikkati tənliyi, Bernulli tənliyi, ümumi həll, diferensial tənlik.

Birtərtibli adi diferensial tənliklərdən dəyişənlərinə ayrıla bilən, bir tərtibli bircins diferensial tənliyi, birtərtibli xətti diferensial tənliyi, Bernulli tənliyini, tam diferensial tənliyi, bir tərtibli bircins diferensial tənliyi gətirilə bilən diferensial tənliyi kvadratura ilə həll etmək olur. Rikkati tənliyi də bir tərtibli diferensial tənlikdir, lakin ümumi həllini ümumi şəkildə etmək olmur.

Bu məqalədə Rikkati tənliyinin ümumi həllinin tapılması məsələsinə baxılır. İsbat edilir ki, sərbəst hədd müəyyən şərtləri ödədikdə Rikkati tənliyinin ümumi həllini tapmaq olar.

SUMMARY
ABOUT ONE METHOD OF FINDING GENERAL SOLUTION
OF RICCATI EQUATION
Yusifov B.M., Mammadov A.J.

Key words: Riccati equation, Bernoulli's equation, general solution, differential equation.

The differential equation, which can be divided into variables from ordinary differential equations of one type, is a quadratic solution of a differential equation, which can be brought to a single-order differential equation, a linear differential equation of one type, Bernoulli equation, a full differential equation, a single-order differential equation. The Riccati equation is also a one-order differential equation. However, the general solution is to impossible do in a general way.

In this article, the question of finding a general solution to the Riccati equation is considered. It is proved that the total solution of the Riccati equation can be found if the free limit pays certain conditions.

Daxilolma tarixi:	İlkin variant	18.12.2019
	Son variant	28.02.2020

MÜASİR MÜHƏRRİK YAĞLARININ TƏRKİBİ VƏ TƏSNİFATI

¹HÜSEYNOVA ELVİRA ƏNVƏROVNA

²ƏCƏMOV KEYKAVUS YUSİF oğlu

³İSMAYILOVA VƏFA AĞASƏMƏDqızı

⁴ŞİRƏLİYEVA ÜLKƏR İLHAMqızı

⁵ƏLİZADƏ NATİQ NAMİQoğlu

Azərbaycan Neft və Sənaye Universiteti, Bakı, 1-dosent, 2-professor, 5-magistrant

Neftin, Qazın Geotexnoloji problemləri və Kimya Elmi Tədqiqat İnstitutu, 3-e.i., 4-k.e.i.,

elvira_huseynova@mail.ru

Açar sözlər: baza yağıları, mühərrrik yağıları, mühərrrik yağlarının tərkibi, mühərrrik yağlarının təsnifat sistemi, aşqarlar.

Məqalədə müasir mühərrrik yağıları, baza yağlarının karbohidrogen tərkibi, avtomobil mühərrrik yağlarının tərkibinə daxil olan aşqarların müxtəlifliyi, mineral və sintetik yağların müqayisəli xarakteristikaları, həmçinin beynəlxalq standartlara əsasən mühərrrik yağlarının təsnifikasi və izahi barədə ümumi informasiya təqdim edilmişdir.

Mühərrrik yağıları elə mürəkkəb qarışıqlar hesab edilir ki, onları hər şeydən əvvəl, baza yağıları və aşqarlardan ibarət olan birləşmələr kimi xarakterizə etmək olar. Digər qrup sürtkü materialları qrupları ilə müqayisədə baza yağıları çox mühüm rol oynayır. Baza yağıları elə şəkildə seçilir ki, onlar özlüyünə və funksional xarakteristikalarına görə təsnifata principial olaraq uyğun gəlsin.

Dəqiq beynəlxalq nomenklatura baza yağını aşağıdakı altı qrupa bölür:

- ✓ Qrup 1. Tərkibində doymuş karbohidroenlərin miqdarı $< 90\%$, $80 < \text{ÖI} < 120$, kükürdün miqdarı $S > 0,03\%$ olan həll olan az özlülüklü yağılar.
- ✓ Qrup 2. Doymuş karbohidroenlərin miqdarı $> 90\%$, $80 < \text{ÖI} < 120$, kükürdün miqdarı $S < 0,03\%$ olan hidrokreinq yağı.
- ✓ Qrup 3. Tərkibində doymuş karbohidroenlərin miqdarı $> 90\%$, $\text{ÖI} > 120$, kükürdün miqdarı $S < 0,03\%$ olan hidrokreinq yağı.
- ✓ Qrup 4. PAO.
- ✓ Qrup 5. Mürəkkəb efirlər və digərləri.
- ✓ Qrup 6. Olefinlərin daxili ikiqat rabitələrlə olikomerləşmə məhsulları.

Yekun nəticədə, yarımsintetik, sintetik yaradılmış, həmçinin mineral mühərrrik yağıları alınır.

Mineral mühərrrik yağıları mineral əsasa malikdir, belə ki, neft mənşəli məhsul hesab edilir və mazutun qovulması yolu ilə istehsal edilir. O, öz xarakteristikalarının qeyri-stabilliyi və yüksək dərəcəli buxarlanma qabiliyyəti ilə fərqlənir. Mineral yağılar həmçinin texniki kənd təsərrüfatı bitkilərindən hazırlanır. Belə ki, mineral yağıların istehsal texnologiyası nisbətən mürəkkəb deyil – belə yağıların qiyməti sintetik yaqlara nisbətən xeyli aşağıdır. Təbii təmiz şəkildə mineral yaqlara praktiki olaraq rast gəlinmir, belə ki, mineral yağıların lazımı sürtgü xassələri yalnız ağır yüklenmələr olmadan “otaq” temperaturunda mövcud ola bilər. Ona görə də yağıları daha işləməqabiliyyətli etmək üçün daxili yanma mühərriklərdə onlar yalnız stabilləşdirici aşqarlarla birlikdə istifadə olunur.

Mineral yağıların tərkibi aşağıdakı kimidir:

1. normal oktan; 2-metilheptan; 2,2,3-trimetilpentan (izooktan) kimi parafinlər;
2. tərkibinə tsiklopentan, tsikloheksan, ditsikloparafinlər, tritsikloparafinlər daxil olan naftenlər (75-80%);
3. tetratsiklonaftalinlər, tetratsikloparafinlər, tritsiklonaftalinlər;

4. mono-, bi-, tri-, tetra- şəklində rast gəlinən aromatik (10-15%), tritsiklobenzolların pentaaromatik birləşmələri, indanlar, tetralinlər, ditsiklobenzol bifenillər.
Minimal miqdarda doymamış və alkan karbohidrogenləri [1-3].

Mövcud yağların tərkibində həmçinin karbohidrogenlərin oksigenli və kükürdlü törəmələri, həmçinin qətran-asfalt birləşmələri olur.

Sintetik yağlar. Sintetik karbohidrogen sürtkü yağlarının ilk alınma prosesi rus alimi A.M.Butlerov tərəfindən XIX-cu əsrin 70-ci illərində işlənib hazırlanmışdır. O, göstərmişdir ki, qazvari və yüngül maye doymamış karbohidrogenlər müxtəlif katalizatorların iştirakı ilə mürəkkəb karbohidrogen molekulları əmələ gətirir ki, bunlar da sürtkü yağlarının tərkib hissəsi ola bilər. Lakin onun layihəsinin praktiki tətbiqi uzun müddət olmamışdır. Avtomobilərin və onların mühərriklərinin nisbətən sadə konstruksiyaları neftdən istehsal edilən sürtkü materialları ilə təmin edilir.

Müasir nəqliyyat güclü yüksək dövriyyəli mühərriklərdə yerləşir, yüksək sürətə və yüksaldırma qabiliyyətinə malikdir ki, bu da prinsipial yeni istismar materialları tələb edir. Ona görə də keçən əsrin sonunda sünə, sintetik yaqlardan daha çox istifadə etməyə başlanılmışdır.

İlk sintetik yaqlar karbohidrogen mənşəli olmuşdur. Onlar yüksək termiki stabilliyyə, aşağı buxarlanma qabiliyyətinə və yaxşı özlülük-temperatur xassələrinə malikdir. Sintetik yaqlar neft yaqları ilə yaxşı qarışır, müxtəlif aşqarlar ilə “yarımsintetiklər” əmələ gətirir.

Yüksək qiymətinə baxmayaraq (mineral yaqlara nisbətən 3-6 dəfəyə qədər çox), uzun müddət işləyən və təmirarası müddətin xeyli artırılmasını təmin edən sintetik yaqların istifadəsi iqtisadi cəhətdən məqsədə uyğundur. Bəzi mexanizmlərdə mineral yaqlar lazımı iş şəraitini təmin etmirlər. İstifadə olunan baza yağından və mühərrikin tələb olunan xarakteristikalarından asılı olaraq, mühərrik yaqlarının tərkibində 30-a qədər müxtəlif aşqarlar ola bilər ki, onların da faiz miqdari 5-dən 25%-ə qədər həndlərdə dəyişə bilər. Bir qayda olaraq, aşağıda sadalanan maddə kateqoriyaları birdən çox funksiya yerinə yetirir. Bu, mühərrik yaqları üçün doğrudur. Məsələn, sink dialkilditiofosfatlar əsasən yeyilmə əleyhinə aşqarlar hesab edilir, həmçinin spesifik parçalanma mexanizmi sayəsində oksidləşmə əleyhinə təsir göstərir. Mühərrik yaqlarının istehsali zamanı istifadə olunan aşqarların əsas tipləri:

1. Özlülük (qatlaşdırıcı). Mövcud aşqarların funksiyası temperaturun dəyişməsi ilə özlülüğün dəyişmə dərəcəsinin azaldılmasıdır. Tərkibinə poliizobutilen, polimetakrilat, stirolun butalenlərlə sopolimerləri və s. kimi kimyəvi birləşmələr daxildir.
2. Dispersləşdirici (dispersantlar). Bu tip aşqarların təyinatı yağıda cırkləndirici qarışıqların xırda dispers vəziyyətdə saxlanılması və alçaq temperaturlu şlamın əmələ gəlməsinin qarşısının alınması hesab edilir. Suksinimidlər (kəhrəba turşusu) dispersləşdirici aşqarların tərkibinə daxildir.
3. Antioksidləşdirici və antikorroziya. Onlar yağıda oksidləşmə sürətinin və həll olmayan, həmçinin korroziya-aqressiv məhsulların əmələ gəlməsinin azaldılması üçün istifadə olunur. Həmçinin onlar özlülüğün artmasını azaldır və əlvan ərintilərdən hazırlanmış detalların korroziyasının qarşısını alır. Belə növ aşqarların kimyəvi tərkib hissəsinə sink dialkilditiofosfat, sink ditiokarbamat, efirlər, benzotriazol daxildir.
4. Yeyilməyə qarşı və yüklenməyə qarşı aşqarlar sərhəd sürtünməsi zamanı detalların təmas səthinin dağılmışının qarşısını alır, sürtünmə səthində mühafizə örtüyünün əmələ gəlməsi hesabına yeyilməni azaldır. Onlar metalların ditiofosfatlarından, qurğuşun naftenatdan, trikrezil fosfatdan və olein turşusundan ibarətdir.
5. Depressor aşqarlar alçaq temperaturlarda parafin kristallarının əmələ gəlmə intensivliyinin azaldılması hesabına yağıın donma temperaturunun azaldılması üçün istifadə olunur. Mövcud sinif aşqarların tərkibinə polimetakrilat və s. daxildir.
6. Korroziya ingibitorları qara metallardan alınan detalların korroziyasının qarşısını alır. Maqnezium və kalsium sulfonatlar onların tərkibinə daxildir.

7. Antifriksiya (sürtünmə modifikatorları) qoşulmuş cütlərdə sürtünməni azaldır, mühərrikin yanacaq sərfini azaldır. Tərkibində molibden disulfidə, molibden ditiofosfatlara rats gəlmək mümkündür.
8. Köpük əleyhinə aşqarlar mühərrikdə köpüyün əmələ gəlməsinin qarşısını alır. Mövcud tip aşqarların tərkibinə polisilosanlar daxildir [6].

Lakin xammalın kimyəvi tərkibi və qiyməti ilə yanaşı, yağıın resepturasının seçilməsi zamanı həmçinin özlülük göstəricilərinə əsaslanılır, belə ki, o, mühərrik yağıının daşıyıcı örtük əmələ gətirməsinə hazırlığını göstərir və mühərrik yağıının keyfiyyətinin nisbətən mühüm xarakteristikası hesab edilir. Sürtkü materialının özlülüyünü mayedə “daxili sürtünmə ölçüsü” kimi xarakterizə etmək olar – yağıın hesabına təmasda olan detallara arasında nazik sürtkü pərdəsi əmələ gəlir.

Cədvəl 1.

Mineral və sintetik yağların müqayisəli xarakteristikaları

Xassələr	Mineral yağ	Sintetik yağlar						
		Karbohidrogen		Poliefir		Poliqlikol efirləri	Poliqlikollar	Fosfor turşusunun efirləri
		Polialfa-olefinlər	Alkil-benzollar	Dikarbol turşuları				
Sürtkü	4	4	4	5	5	4	6	3
Axicılıq	3	4	4	5	4	4	3	6
Özlülük indeksi	3	4	3	4	4	5	2	6
Alçaq temperatur	2	4	4	4	4	4	3	4
Termostabillik	3	3	3	4	4	4	3	5
Termooksidləşdirici stabililik	3	5	4	4	6	4	3	4
Qarışma	6	6	6	4	3	2	2	2
Buxarlanma	3	6	4	6	6	4	4	4
Hidrolitik stabililik	6	6	6	3	3	5	3	4
Antikorroziya	6	6	6	3	3	4	3	4
Aşqarla nisbətən həllətmə qabiliyyəti	6	4	6	5	5	3	4	2
Odadavamlılıq	2	2	2	3	3	3	6	3

Özlülük sinfi həm yüksək, həm də xeyli aşağı temperaturlarda mühərrikin normal işləməsini təmin etmək üçün yağıın özlülüyünün lazımı parametrlərinə uyğun gəlməlidir. Avtomobilin istismar rejimindən asılı olaraq, yağılar uyğun olaraq yay, qış və ya bütün mövsüm – bütün il boyu istifadə olunan avtomobilər üçün seçilir. Bütün mövsüm yağlarının özlülük-temperatur xarakteristikaları daha geniş temperatur diapazonuna malikdir, bu zaman yağıın özlülüyü mühərrikin işləməsinə mane olmur və işəsalma zamanı uğursuzluqlara götərib çıxarmır. SAE J 300 təsnifatı nisbətən tam və əlverişli hesab edilir, bu təsnifat mühərrik yağlarını onların özlülük-temperatur xarakteristikalarına görə müxtəlif siniflərə ayıır. SAE 5W tipli yağı qış, SAE 40 – yay, 5W-40 isə bütün mövsüm hesab edilir (cədvəl 2) [7].

Lakin SAE sistemi ilə yanaşı, mühərrik yağlarının təsnifatı, spesifikasi, avtomobil istehsalçılarının təsdiqi və tövsiyələrinin digər sistemləri mövcuddur ki, əksər hallarda avtomobil sahibləri bunlara diqqət yetirmir. Onların içərisində:

- API – mühərrik yağlarının beynəlxalq təsnifat sistemi (American Petroleum Institute – Amerika neft institutu); API yağıları ümumi istismar xassələrinə görə qruplara ayrılır. Bu təsnifatın mahiyyəti onun müxtəlif istehsal tarixli mühərriklərdə istifadə olunmasına əsaslanır. Bu təsnifat ona görə daxil edilmişdir ki, zamanla güc qurğuları təkmilləşdirilir,

- sürtgü materialları və onların aşqarlarına qoyulan tələblər artır. Həmçinin bu təsnifat mühərriklərin konstruktiv xüsusiyyətlərini nəzərə alır;
- ACEA təsnifatında olduğu kimi, yağlar mühərriklərdə – benzin və dizel mühərriklərində istifadə olunmasına görə qruplaşdırılır. Lakin bu və ya digər mühərrikdə istifadə təyinatı başqdır: benzin – S, dizel – C [7-9]. Həmçinin bu təsnifat sürtgü materiallarının xarakteristika və xassələri sinfinin hərflə işarələnməsini nəzərdə tutur.

Cədvəl 2.

SAE J300 DEC99 mühərrik yağlarının özlülük dərəcəsi

SAE özlülük dərəcəsi	Özlülük (sP), alçaq temperaturda dönmə MAX	Özlülük (sP), alçaq temperaturda sürmə MAX	Kinematik özlülük, (sSt), 100 °C-də və aşağı hərəkət sürətində		Özlülük (sP), 150°C-də yüksək hərəkət sürətində MIN
			MIN	MAX	
0W	6 200 - 35 °C-də	60 000 - 40 °C-də	3,8	-	-
5W	6 600 - 30 °C-də	60 000 - 35 °C-də	3,8	-	-
10W	7 000 - 25 °C-də	60 000 - 30 °C-də	4,1	-	-
15W	7 000 - 20 °C-də	60 000 - 25 °C-də	5,6	-	-
20W	9 500 - 15 °C-də	60 000 - 20 °C-də	5,6	-	-
25W	13 000 - 10 °C-də	60 000 - 15 °C-də	9,3	-	-
20	-	-	5,6	< 9,3	2,6
30	-	-	9,3	< 12,6	2,9
40	-	-	12,6	< 16,3	2,9 (0W-40;5W-40;10W-40)
40	-	-	12,6	< 16,3	3,7 (15W-40;20W-40;25W-40)
50	-	-	16,3	< 21,9	3,7
60	-	-	21,9	< 26,1	3,7

Benzin mühərrikləri üçün API təsnifatına mühərriklərdə istifadə olunmasına görə bölünmüş 12 sinif sürtgü materialları daxildir.

Həmin siniflərin qısa xarakteristikaları aşağıda göstərilmişdir:

- ✓ SA – xüsusi yüksəkliklər olmadan istifadə olunan güc aqreqatları üçün;
- ✓ SB – orta yüksəkliklər ilə istifadə olunan güc qurğuları üçün;
- ✓ SC – yüksək yüksəkliklər ilə istifadə olunan mühərriklər üçün (avtoda 67-ci i.b.-a qədər istifadə olunur);
- ✓ SD – yüksək yüksəkliklər ilə istifadə olunan orta qüvvəli mühərriklər üçün (avtoda 71-ci i.b.-a qədər istifadə olunur);
- ✓ SE – yüksək yüksəkliklər ilə istifadə olunan yüksək qüvvəli mühərriklər üçün (avtoda 79-cu i.b.-a qədər istifadə olunur);
- ✓ SF – turbofürmə istifadə etmədən, etilləşdirilməmiş benzin istifadəsi ilə yüksək yüksəkliklər ilə istifadə olunan yüksək qüvvəli mühərriklər üçün (avtoda 88-ci i.b.-a qədər istifadə olunur);
- ✓ SG – turbofürmə istifadəsi ilə etilləşdirilməmiş benzin istifadəsi ilə yüksək yüksəkliklər ilə istifadə olunan yüksək qüvvəli mühərriklər üçün (avtoda 93-cü i.b.-a qədər istifadə olunur);

- ✓ SH – turbofürmə istifadəsi ilə yüksək qüvvəli mühərriklər üçün (avtoda 96-cı i.b.-ya qədər istifadə olunur);
 - ✓ SJ – bütün güc qurğuları üçün (avtoda 96-cı i.b.-ya qədər istifadə olunur). Yuxarıda göstərilən bütün siniflərin əvəzləyicisi hesab edilir;
 - ✓ SL – bütün güc aqreqatları üçün (avtoda 2004-cü i.b.-ya qədər istifadə olunur);
 - ✓ SM – bütün mühərriklər üçün (hal-hazırda istehsal edilən avtolarda istifadə olunur);
 - ✓ EC – enerjiyə qənaətcil sürtgü materialları.
- Həmçinin ASEA təsnifati – mühərrik yağlarının Avropa sistemi (Association des Constructeurs Europeens de L'Automobile – Avropa Avtomobil İstehsalçıları Assosiasiyyası) də mövcuddur. Bu təsnifat yağların bu və ya digər mühərriklərdə istifadə imkanlarına aid edilir. Onun tərkibinə cəmi 4 sinif daxildir:
- A – benzin güc qurğuları üçün;
- B – yüngül avto, həmçinin aşağı yükqaldırma qabiliyyəti olan yük dizelləri üçün;
- E – bumlara böyük yük avtolarında quraşdırılan yüksək güclü dizellər aiddir [9]. Qeyd etmək lazımdır ki, mövcud təsnifat həmçinin istehsal edilən enerjiyə qənaətcil yağları nəzərə alır. Onların xüsusiyyəti standart mühərriklərə nisbətən mühərrikin işinin yüksək temperaturlarında özlülüyünün azalması hesab edilir. Bunun hesabına mühərrik elementləri arasında sürüşmə müqaviməti də azalır, bu, işləmə zamanı güc aqreqatında sürtünmə hesabına güc itkilərinə müsbət təsir göstərir. Lakin bu yağın yüksək axıcılığı ona gətirib çıxarır ki, standart yağıdan istifadəyə nisbətən örtük daha nazikdir, uyğun olaraq mühərrik elementlərinin yeyilmə sürəti yüksəkdir, ona görə də o, bütün aqreqatlara uyğun gəlmir.

Standart və enerjiyə qənaətcil yağı işarələmək üçün hərf indeksindən başqa, həmçinin rəqəmdən istifadə olunur. Rəqəm indeksi cəmi beşdir – 1-dən 5-ə qədər. Bu təsnifatda enerjiyə qənaətcil sürtkü materialları 1 və 5 indeksləri almışdır, 2,3 və 4 indeksləri isə standart yağları göstərir. Bu zaman mövcud indekslər həm benzin, həm də dizel mühərriklərdə istifadə olunur. Enerjiyə qənaətcil materiallar isə ACEA üzrə A1, A5, həmçinin B1 və B5 ilə işarə olunur. Qalan bütün işarələr standart materiallara aiddir. E sinif üçün belə işarələmə növü yoxdur [10].

Beləliklə, təqdim edilən material onu göstərir ki, mühərrik yağının tərkibinə naftenlər, parafinlər, aromatik karbohidrogenlər, poliqlikollar, silikonlar, diefirlər, fosfor-üzvi birləşmələr, özlülük, dispersləşdirici, antioksidəşdirici, antikorroziya, yeyilməyə qarşı, zərbəyə qarşı, depressor, antifriksiya, köpük əleyhinə aşqarlar daxil olmalıdır. Mövcud tərkib sürtünmə və yeyilməni azaltmağa kömək edir, həmçinin örtük detalları çirkəldən, korroziyadan və digər zərərlə qarşıqlardan mühafizə edir.

Mühərrik yağları həmçinin beynəlxalq standartlarının SAE, API, ACEA, ILSAC, JASO təsnifatının müasir tələblərinə uyğun gəlməlidir.

ƏDƏBİYYAT

1. БалтенасР., СафоновА.С., Ушаков А.И. и др. Моторные масла. М., СПб.: Альфа-Лаб, 2000, 272 с.
2. Венцель Е.С. Улучшение качества и повышение сроков службы нефтяных масел / Е.С. Венцель, С.Г. Жалкин, Н.И. Данько. Харьков: УкрГАЖТ, 2003, 168 с.
3. Кувайцев И. Смазочные материалы для легковых автомобилей // «За рулём», № 9, 1959.
4. <http://www.totalms.kz/ru/info/articles-autolubricants/mineralnoe.html>
5. <https://news.tut.by/tamby/557020.html?crnd=2597>
6. https://studfiles.net/preview/6065772/page:4/Stukanov_V_A_Avtomobilnye_expluatatsionnye_materialy
7. Смирнов А. В. Автомобильные эксплуатационные материалы. ч. II. Масла, смазки и специальные жидкости. ИПЦ НовГУ. 2004.
8. <http://www.proxenum.ru/articles/klassifikasiya-motornyh-masel.-api-ilsac-acea.-firmennye-dopuski-avtoproizvoditeley.-rekomenjadii-po-podboru-masla./>

9. <http://www.gruzovikpress.ru/article/8929-klassifikatsiya-motornogo-masla-po-sae-api-i-aceastandartnye-indeksy-masel/>
10. Варакина А. Г., Лопоткина А. М., Хохлов А. Е. Сравнительный тест полусинтетических моторных масел //Вестник НГИЭИ, №10(41). Н.Новгород, 2014, 111 с.
11. http://www.uazbuka.ru/lib/book/Automotive_technology/glava_22.pdf
12. <http://oilday.ru/engine-oil-standards/>

РЕЗЮМЕ

СОСТАВ И КЛАССИФИКАЦИЯ СОВРЕМЕННЫХ МОТОРНЫХ МАСЕЛ *Гусейнова Э.А., Исмайлова В.А., Ширазиева У.И., Аджамов К.Ю., Ализаде Н.Н.*

Ключевые слова: базовые масла, моторные масла, состав моторных масел, классификация моторных масел, присадок.

В статье приведены общие сведения о современных моторных маслах, углеводородном составе базовых масел, разнообразных присадках, включенных в состав автомобильных моторных масел, сравнительных характеристиках минеральных и синтетических масел, а также классификации и интерпретации моторных масел в соответствии с международными стандартами. Показано, что в состав моторного масла должны входить нафтены, парафины, ароматические углеводороды, полигликолы, силиконы, диэфиры, фосфорно-органические соединения, дисперсионные антиоксиданты, антикоррозионные добавки. Определенные составы помогают уменьшить трение, а также защищают детали покрытия от загрязнений, коррозии и других вредных примесей

SUMMARY

COMPOSITION AND CLASSIFICATION OF MODERN MOTOR OILS *Huseynova E.A., Ismayilova V.A., Shiraliyeva U.I., Ajamov K.Y., Alizade N. N.*

Key words: base oils, motor oils, motor oil composition, motor oil classification, additives.

The article provides general information about modern motor oils, the hydrocarbon composition of base oils, various additives included in the composition of automotive motor oils, comparative characteristics of mineral and synthetic oils, as well as classification and interpretation of motor oils in accordance with international standards. It is shown that the composition of engine oil should include naphthenes, paraffins, aromatic hydrocarbons, polyglycols, silicones, diephyrs, phosphoric-organic compounds, dispersive antioxidants, anti-corrosion additives. Certain compounds help to reduce friction and protect coating parts from contamination, corrosion, and other harmful impurities

Daxilolma tarixi:	İlkin variant	27.02.2019
	Son variant	26.04.2020

ПОЛУЧЕНИЕ ФОСФОРСОДЕРЖАЩИХ МИНЕРАЛЬНЫХ УДОБРЕНИЙ РАЗЛОЖЕНИЕМ ПРИРОДНЫХ ФОСФАТОВ СЕРНОЙ КИСЛОТОЙ С ПРИМЕНЕНИЕМ ИНТЕНСИФИЦИРУЮЩИХ ДОБАВОК

¹САМЕДОВ МУХТАР МАМЕД оглу

²ДЖАВАДОВА САДЕГЮЛЬ ГАСАН гызы

³МАМЕДОВА ГЮЛЬНУРЕ МУСТАФА гызы

1,2-Сумгаитский государственный университет, профессор, ст.преподаватель

3- Азербайджанский государственный университет нефти и промышленности, доцент

samedov-muxtar@mail.ru

Ключевые слова: фосфорсодержащие удобрения, разложение, интенсификация, добавка, обогащение

Исследован процесс получения фосфорсодержащих минеральных удобрений с применением смеси растворов NH_4HSO_4 и $\text{Mg}(\text{HSO}_4)_2$ и частичной заменой апатитового концентрата доломитом. Отмечено, что указанные добавки благоприятно действуют на процесс разложения природных фосфатов серной кислотой и увеличивают степень разложения сырья. При этом полученный продукт обогащается дополнительными питательными элементами – азотом и магнием. Установлено, что при оптимальном количестве добавки смеси растворов гидросульфатов аммония и магния степень разложения апатитового концентрата составляет 97-98% и по сравнению с классическим способом степень разложения увеличивается на 4-5%. В полученном продукте увеличивается содержание питательных веществ, то есть $P_2\text{O}_{5\text{вес}}=19-20\%$; $N=1,0-1,4\%$; $Mg=0,7-1,0\%$.

Известно, что потребности сельского хозяйства в минеральных удобрениях способствуют проведению научных исследований по выявлению более совершенных и перспективных способов переработки природных фосфатов [1-3]. Учитывая, что на современном этапе приоритетным направлением развития мирового производства и применения минеральных удобрений является увеличение содержания основных веществ, то есть питательных компонентов в удобрениях, то актуальность проведения научно-исследовательских работ по получению минеральных удобрений разложением апатитового концентрата серной кислотой с применением интенсифицирующих и модифицирующих добавок не представляет сомнений.

Проблема качества минеральных удобрений имеет большое значение, особенно с учетом больших объемов и сезонности применения их в сельском хозяйстве. На первом этапе развития промышленности минеральных удобрений, для улучшения качества продукции, в первую очередь, решались задачи получения удобрений с улучшенным химическим составом. В настоящее время по этому поводу достигнуты большие успехи. Конечно, и сейчас существует необходимость разработки новых видов удобрений специального назначения, создания совершенных технологических систем для переработки различных видов фосфатного сырья, высокопроизводительной аппаратуры, решения экологических и других вопросов, однако все это связано лишь с усовершенствованием существующих технологических комплексов. В то же время, проблема улучшения физических свойств удобрений и обогащения их дополнительными питательными элементами требует направить внимание соискателей на ее решение.

В настоящее время в промышленности минеральных удобрений особую значимость

приобрели такие проблемы, как качество промышленной продукции, особенно физические свойства; создание принципиально новых и перспективных технологических систем переработки природных фосфатов, обеспечивающих высокий уровень энерго- и ресурсосбережения; экологическая безопасность производства и применение минеральных удобрений. Перспективное развитие производства минеральных удобрений базируется на ресурсо- и материалосберегающих технологиях и, следовательно, актуальность изыскания эффективных способов получения порошкообразного суперфосфата с использованием промышленных отходов, содержащих модифицирующие добавки, не представляет сомнений. В научно-технической литературе имеется достаточно сведений по разложению природных фосфатов серной и фосфорной кислотами с использованием азотсодержащих соединений[4-8]. Опубликованы также определенные исследовательские работы, посвященные получению гранулированных суперфосфатов с применением сульфата аммония и газообразного аммиака[9-10]. Однако процесс получения суперфосфата с использованием смеси растворов NH_4HSO_4 и $\text{Mg}(\text{HSO}_4)_2$ изучен недостаточно.

Целью исследования является изучение влияния добавки смеси растворов гидросульфата аммония и магния, одновременно частичной заменой апатитового концентрата доломитом. Определение степени разложения исходного сырья при сохранении стехиометрической нормы серной кислоты с учетом добавки интенсифицирующих реагентов, а также определение суммарного содержания питательных веществ в полученном продукте.

Описание эксперимента. В лабораторных условиях изучен механизм процесса сернокислотного разложения природных фосфатов в присутствии гидросульфата аммония в смеси с гидросульфатом магния. В качестве исходных материалов использовали апатитовый концентрат стандартного состава, доломит, техническую серную кислоту, раствор гидросульфата аммония и гидросульфата магния. Экспериментальные исследования проводили в двух направлениях. В первом варианте интенсифицирующие реагенты добавляли при сохранении общей нормы серной кислоты, во втором варианте серную кислоту частично заменяли смесью растворов гидросульфата аммония и магния.

Опыт получения минерального удобрения, содержащего дополнительные питательные элементы при непрерывном смешении реагентов [11], проводили в лабораторной установке (Рис.1).

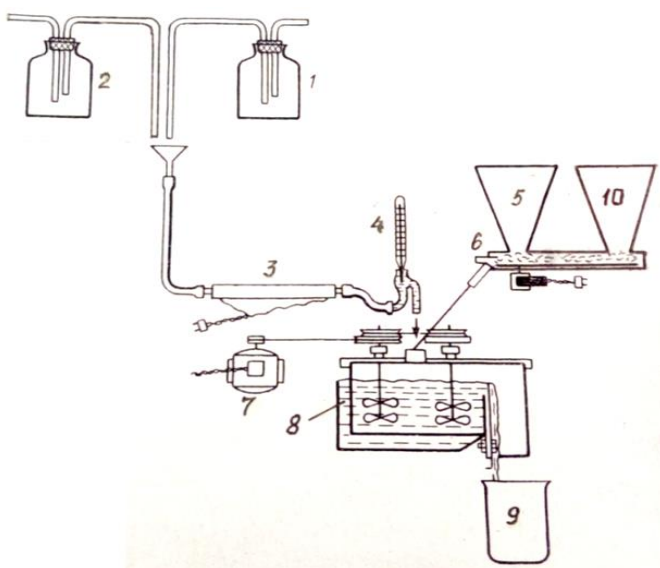


Рис.1. Схема лабораторной установки получения суперфосфата с применением растворов, содержащих гидросульфаты аммония и магния: 1 и 2 – дозаторы серной кислоты и интенсифицирующего раствора соответственно; 3 – подогреватель кислоты; 4 – контактный термометр; 5 – бункер для апатитового концентрата; 6 – дозатор апатита; 7 – электродвигатель; 8 – смеситель; 9 – стакан; 10 – бункер для доломита.

В дозатор 1 наливают 2-2,5 л H_2SO_4 заданной концентрации и закрывают запорный кран. Регулирующий кран дозатора устанавливают в определенном положении; после этого регулируют дозировку кислоты. В бункер 5 дозатора 6 засыпают 1,5-2,0 кг апатитового концентрата. Предварительно, до начала работы, дозатор градируют. В зависимости от заданной дозировки и нормы кислоты устанавливают дозировку фторапатита и доломита из бункера 10.

Производительность смесителя составляет 50-100г суперфосфатной пульпы в 1 мин. Время пребывания пульпы в смесителе составляет 7 мин. Смеситель снабжен двумя вертикальными мешалками. Мешалки приводятся во вращение от электродвигателя 7 через редуктор, позволяющий изменить частоту вращения от 200 до 600 мин⁻¹, обычная частота вращения мешалок составляет 530-550мин⁻¹. После установления нормального режима смешения пульпа поступает в фарфоровый стакан 9. По заполнении стакана его помещают в термостат, где выдерживают в течение 1,5ч при температуре 100-115°C. После этого минеральное удобрение извлекают из термостата, обрабатывают и анализируют. Аналитические показатели полученного продукта представлены в табл.1.

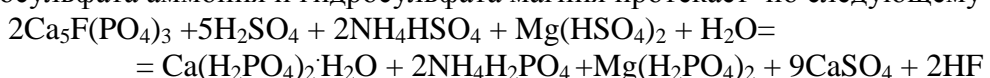
Таблица 1.

Зависимость степени разложения апатита в суперфосфате 10-ти суточного выдерживания от количества добавки раствораmonoаммоний сульфата (Норма серной кислоты 70 мас.ч. на 100 мас. ч. апатита; концентрация: 63% H_2SO_4)

Колич.добр.смеси NH_4HSO_4 и $Mg(HSO_4)_2$ % от массы H_2SO_4	Содержание в порошкообразном суперфосфате после восьмисуточного выдерживания (масс. %)						Степень разложе- ния, %	
	$P_2O_{5общ.}$	$P_2O_{5усв.}$	$P_2O_{5водн.}$	$P_2O_{5своб}$	N	Mg		
0	21,09	19,21	18,26	8,30	-	-	10,35	91,09
3	20,65	19,10	18,19	7,86	0,25	0,23	9,88	92,50
6	20,50	19,23	18,16	7,02	0,51	0,34	9,47	93,80
9	20,38	19,30	18,23	6,71	0,72	0,56	8,90	94,70
12	20,37	19,85	18,46	6,35	1,03	0,71	8,59	97,45
15	20,36	20,02	18,75	5,87	1,40	1,02	8,41	98,33
18	20,30	19,54	18,10	6,13	1,48	1,20	8,34	96,26
21	20,05	18,88	17,80	6,65	1,54	1,27	8,29	94,16
24	19,86	18,39	17,20	7,08	1,68	1,31	8,25	92,60
27	19,67	17,87	16,55	7,79	1,72	1,40	8,17	90,85
30	19,38	17,39	16,24	7,86	1,83	1,48	8,12	89,73

Как видно из табл.1, с внесением добавки смеси раствора гидросульфата аммония в смеси с гидросульфатом магния до 12-15% от массы серной кислоты и добавки доломита в количестве 5-6% от массы фторапатита, степень разложения сырья увеличивается до 97,45-98,33% и полученный продукт содержит дополнительные питательные элементы – азот и магний.

Результаты и их обсуждение. Присутствие гидросульфата аммония в реакционной массе способствует образованию более крупных кристаллов сульфата кальция, которые снижают внутреннее диффузационное сопротивление среды, что благоприятствует доступу водородных ионов к поверхности зерен апатита. То есть, введение раствора гидросульфата аммония способствует более быстрому протеканию процесса разложения апатита серной кислотой. Взаимодействие апатитового концентрата с серной кислотой в присутствии гидросульфата аммония и гидросульфата магния протекает по следующему уравнению:



Дальнейшее увеличение добавки гидросульфата аммония (более 15% от массы серной

кислоты) нецелесообразно, так как при этом степень разложения апатита не достигает необходимых показателей, а при больших добавках имеет место даже некоторое снижение степени разложения, что объясняется возможным возникновением перенасыщения по сульфату кальция и образованием в связи с этим более мелких кристаллов. Образование мелких кристаллов сульфата кальция в некоторой степени экранирует поверхность зерен апатита и препятствует диффузии кислоты в зерна апатита.

Заключение. Таким образом, изучение процесса сернокислотного разложения природных фосфатов в присутствии гидросульфата аммония и магния применительно к получению минерального удобрения, обогащенного дополнительными питательными элементами, показало, что оптимальным количеством добавки раствора гидросульфата аммония в смеси с гидросульфатом магния можно считать 10-15% от массы серной кислоты и добавки доломита необходимо поддерживать в пределах 5-6% от массы апатитового концентрата. При этом степень разложения исходного сырья составляет 97-98%, полученный продукт является рассыпчатым и содержит 19,5-20,5% $P_2O_{5\text{усв.}}$; 1,2-1,6% N; 0,8-1,0% Mg.

При частичной замене серной кислоты раствором гидросульфата аммония в смеси с раствором гидросульфата магния, полученный продукт в некоторой степени обогащается дополнительными питательными элементами, но степень разложения фосфатного сырья не достигает стандартных значений.

ЛИТЕРАТУРА

- 1.Кувшинников И.М., Казак В.Г., Кузнецов А.А. Современные проблемы производства фосфорсодержащих удобрений [Создание технологических систем нового поколения] // Химическая промышленность, 1992, №6, с.20-22
- 2.Левиц Б.В., Литусова Н.М., Родин В.И. и др. Способ получения монокальцийфосфата. Пат. 2256607 Россия, МКИ C01B25/32, опубл. 20.07.2005.
3. Позин М.Е., Копылев Б.А., Сейтмагзимов А. и др. О скорости разложения фосфоритов КараТау бескамерным способом (в незагустевающих пульпах) // ЖПХ, 1981, №2, с.259-266
- 4.Орехов А.Н., Смородинов А.В., Власова Т.Л. Исследование влияния азотной и соляной кислот на степень разложения фосфоритов кислотой// ЖПХ, 1982, №7, с.1425-1428
- 5.Кармышов В.Ф., Попова В.А., Захарова М.И. Получение комплексных $NaKMg$ - удобрений на основе природных сульфатных солей // Химическая промышленность, 1985, №10, с.668-669
- 6.Самедов М.М. Исследование процесса получения суперфосфата с применением промышленных отходов Сумгaitского химического комплекса// Химическая промышленность, 2002, №6, с.18-20
- 7.Классен П.В., Сущев С.В., Кладос Д.К. Изучение возможности использования отечественных фосфоритов (на примере Егорьевских) для получения экстракционной фосфорной кислоты и фосфорсодержащих удобрений // Химическая промышленность сегодня, 2010, №2, с.8-11
- 8.Казак В.Г., Бризицкая Н.М., Малявин А.С. Промышленный опыт производства аммонизированного суперфосфата с использованием фосфоритной муки Егорьевского месторождения // Химическая промышленность сегодня, 2007, № 9, с.12-14
- 9.Самедов М.М., Ахмедов В.Н., Самедли В.М. Экспериментальное исследование процесса гранулирования порошкообразных материалов с применением модифицирующих добавок// СГУ, Научные известия, Серия: Естественные и технические науки, т.17, №2, с.21-25
- 10.Кувшинников И.М. Минеральные удобрения и соли: Свойства и способы их улучшения. М.: Химия, 1987, 256с.
- 11.Позин М.Е. Руководство к практическим занятиям по технологии неорганических веществ. Л.: Химия, 1980, 304с.

XÜLASƏ

İNTENSİVLƏŞDİRİCİ ƏLAVƏLƏRİN İŞTİRAKİ İLƏ FLÜORAPATİTİN SULFAT TURŞUSU İLƏ PARÇALANMASINDAN FOSFORLU MİNERAL GÜBRƏNİN ALINMASI

Səmədov M.M., Məmmədova G.M., Cavadova S.H.

Açar sözlər: fosforlu gübrələr, parçalanma, intensivləşdirmə, əlavə, zənginləşdirmə

Məqalədə apatit konsentratını qismən dolomitlə əvəz etməklə və NH_4HSO_4 və $\text{Mg}(\text{HSO}_4)_2$ məhlullarının qarışığından istifadə etməklə fosforlu mineral gübrənin alınması prosesinin tədqiqi verilmişdir. Qeyd olunur ki, göstərilən əlavə təbii fosfatların sulfat turşusunda parçalanması prosesinə müsbət təsir göstərir və xammalın parçalanma dərəcəsini yüksəldir. Bu halda alınan məhsul əlavə qida elementləri: azot və maqneziumla zənginləşmiş olur. Müəyyənləşdirilmişdir ki, ammonium və maqnezium hidrosulfat məhlulları qarışığının optimal miqdalarında reaksiya zonasına verilməsi nəticəsində apatit konsentratının parçalanma dərəcəsi 97-98% təşkil edir ki, bu da klassik üsula nəzərən parçalanma dərəcəsinin 4-5% artdığını göstərir. Ona görə də alınan məhsulda qida maddələrinin miqdarı artmış olur, yəni $\text{P}_2\text{O}_{5\text{mən}}=19-20\%$; $\text{N}=1,0-1,4\%$; $\text{Mg}=0,7-1,0\%$ hədlərində olur.

SUMMARY

OBTAINING PHOSPHORUS-CONTAINING MINERAL FERTILIZER FROM DECOMPOSITION OF FOTORAPATITIS SULFURIC ACID WITH THE USE OF INTENSIFYING ADDITIVES

Samedov M.M., Mammadova G.M., Javadova S.H.

Keywords: phosphorus-containing fertilizers, decomposition, intensification, additive, enrichment

The process of obtaining phosphorus-containing mineral fertilizers was investigated using a mixture of solutions of NH_4HSO_4 and $\text{Mg}(\text{HSO}_4)_2$ and partial replacement of apatite concentrate by dolomite. It is noted that these additives have a positive effect on the process of decomposition of natural phosphates with sulfuric acid and increase the degree of decomposition of raw materials. In this case, the resulting product is enriched with additional nutrients - nitrogen and magnesium. It was established that at the optimal amount of additive of the mixture of ammonium and magnesium hydrosulfate solutions, the degree of decomposition of apatite concentrate is 97-98% and, as compared with the classical method, the degree of decomposition increases by 4-5%. The resulting product increases the nutrient content, that is, $\text{P}_2\text{O}_{5\text{usv.}} = 19-20\%$; $\text{N} = 1.0-1.4\%$; $\text{Mg} = 0.7-1.0\%$.

Daxilolma tarixi:	İlkin variant	29.05.2019
	Son variant	21.01.2020

UOT 547.16

POLİETİLENİN ELEKTROKİMYƏVİ SİSTEMDƏ POLİMERANALOJİ ÇEVİRİLMƏSİ

¹HƏTƏMOV MƏTLƏB MURTUZ oğlu

²ADİLOVA LƏMAN İSMİ qızı

³ABDULLAYEVA MİNAYƏ BİLAL qızı

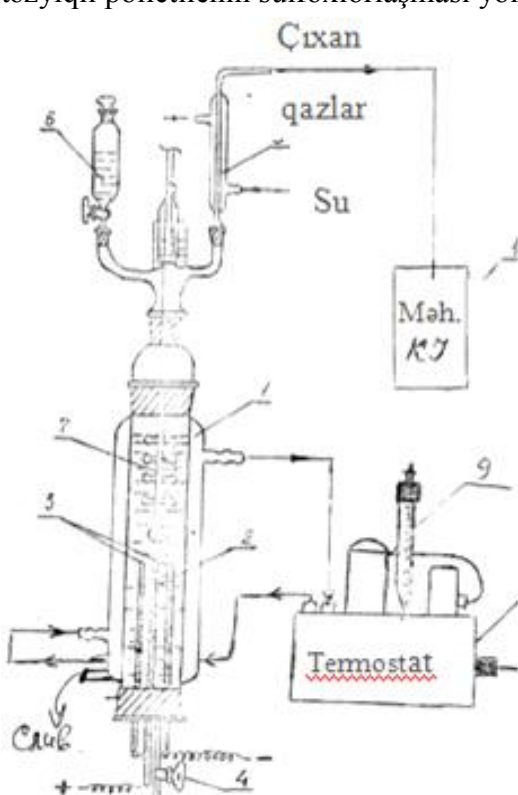
Sumqayıt Dövlət Universiteti, 1- tex.e.n, 2,3- k.e.i.

adilovalaman@mail.ru

*Açar sözlər:*sulfurixlorid, aşağı təzyiqli polietilen, kükürd anhidridi, porofor, sulfoxlorlaşma.

Məlumdur ki, xlorsulfolaşmış polietilen istehsalatda rezintexniki sənayesində mühafizə örtükləri, lak-boya örtükləri həmçinin sənayedə yeni tikinti materialları və s. sahələrdə geniş istifadə olunur.

Xlorsulfolaşmış polietilen özünü kauçuk formalı polimer kimi göstərir, yüksək yaxud aşağı təzyiqli polietilenin sulfoxlorlaşması yolu ilə alınır [1].



Şəkil 1. Elektrolizer: 1-elektrolizerin gövdəsi; 2-anod; 3-katod; 4-akş soyuducu; 5-ayırıcı qif; 6-qarışdırıcı; 8-termostat; 9-xloru müzəyyən etmək üçün KJ məhlulu olan şüşə qab

Xlorsulfolaşmış polietilenin (XSPE) yüksək təzyiqli polietilenin qaz halında xlor yaxud xlor və kükürd qazı ilə qarışığının karbon-4-xlorid həllədicisi mühitində, atmosfer təzyiqi və həllədicinin qaynama temperaturunda, inisiatorun iştirakı ilə sulfoxlorlaşması [2], həmçinin aşağı təzyiqli polietilenin xlorbenzol həllədicisi iştirakında $120\text{--}125^{\circ}\text{C}$ temperaturda, inisiator (porofor) iştirakında xlorsulfolaşması [3] aparılmışdır.

Tərkibində 32,1 kütłə faizi ilə xlor, 3,15 kükürd olan polimerdə reaksiya kütłəsini $40\text{--}50^{\circ}\text{C}$ -yə qədər soyutmaq və azotla üfürməklə həll olmuş turş qarışıığı 0,003%-ə qədər azaltmaqla da xlorsulfolaşmış polietilen alınmışdır [4].

Polimerə xlor atomu daxil olduqda quruluşun rəqulyarlığı pozulur, kristallaşma dərəcəsi azalır, buna görə də polimer amorf olur və ilkin polimerin xassələrindən fərqlənir. Tərkibində 30-35% xlor olduqda XSPE-nin möhkəmliyi bir az azalır ki, bu da polietilendə kristallığın pozulması ilə əlaqədardır. Sonrakı xlorlaşma polimerin polyarlığını gücləndirir, buna görə də onun davamlılığı və möhkəmliyi yüksəlir. Tərkibdə xlorun 60%-ə çatması davamlılıq həddinin ilkin polimerdən 1,5 dəfə çox olmasına gətirir. Polietilenə 0,8-1,9% xlorsulfo qrup daxil edilməsi onun vulkanlaşma qabiliyyətini şərtləndirir.

Polimerə xlor atomunun daxil edilməsi ilə polimer od və yağa qarşı, həmçinin ozon təsirinə qarşı da davamlı olur. Polimerə polyar qrup daxil olduğu üçün metallara və onların ərintiləri ilə (mis, polad, dəmir, tunc, latun, titan, alüminium və s.) yüksək adgeziyaya malik olur, şüşəyə, plastik kütləyə, təbii və süni kauçuklara qarşı isə davamlı olur.

Yuxarıda qeyd olunanlardan belə qənaətə gəlmək olur ki, olefinlərin xlorlaşması və sulfoxlorlaşması, o cümlədən də polietilenin xlorlaşması və sulfolaşması bu polimerlərin modifikasiyası üçün əhəmiyyətli dərəcədə nəzəri və praktiki əhəmiyyət kəsb edir. Bununla əlaqədar olaraq, polietilenin elektrokimyəvi sulfoxlorlaşması və alınan məhsulun qanuna uyğunluqlarının öyrənilməsini tədqiq etməyə maraq yaranır.

Polietilenin sulfolaşması şüşədən hazırlanmış, termostat, sabit cərəyan mənbəyi, qarışdırıcı və ORTA (anod), qrafit (katod) elektrodları ilə təchiz olunmuş silindrik elektrolizerdə həyata keçirilir.

Sulfoxlorlaşma reaksiyasinda natrium-sulfit, xlorid turşusu, yüksək təzyiqli polietilendən, həlliədici olaraq karbon 4-xloriddən, inisiator olaraq isə azobisizo-butironitrildən istifadə olunmuşdur.

Sistemə verilən elektrik cərəyanının təsirindən xlorid turşusunun elektrolizi nəticəsində xlor ayrılır və eyni zamanda kükürd qazı ilə birlikdə polietilenin sulfoxlorlaşmasında iştirak edir.

Aparılan təcrübələrin nəticəsi. İlkin polimerin molekuluna daxil edilən xlor və kükürd qazının miqdardından asılı olaraq, XSPE-in xassəsi reaksiyanın şəraitini müəyyən etməyə imkan yaradır. Temperaturun təsiri, verilən cərəyanın miqdarı, reaksiyanın davametmə müddəti, reagentlərin münasibəti, polimerə daxil olan xlor və kükürd qazının ilkin polietilenin molekul kütləsinə təsiri öyrənilmişdir.

Reaksiya mühitinin temperaturu. Polietilenin sulfoxlorlaşması $\text{Cl}_2 : \text{SO}_2 = 3:1$ münasibətində, reaksiyanın temperaturu isə 0-dan 70°C -yə qədər yüksəldilməklə aparılmışdır. Alınmış nəticələr şəkil 2-də verilmişdir.

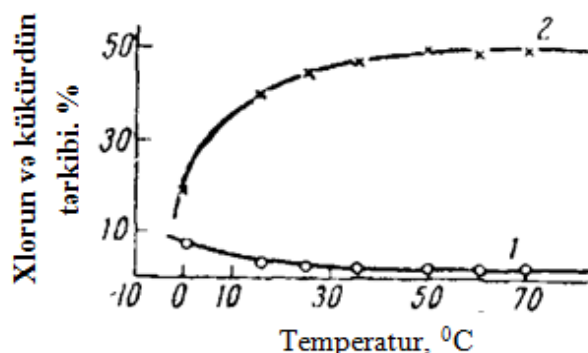
Temperaturun azalması xlorun miqdарının azalmasına (~ 47 -dən $19,2\%$ -ə qədər), kükürdün miqdарının isə artmasına ($\sim 2,7$ -dən $6,6\%$ -ə qədər) gətirir.

Xlor və kükürdün karbon-4-xloriddə həll olması xüsusi əhəmiyyət kəsb edir, hansı ki, temperaturun artması ilə azalır. Sonrakı bütün təcrübələr 30 - 40°C temperaturda aparılır.

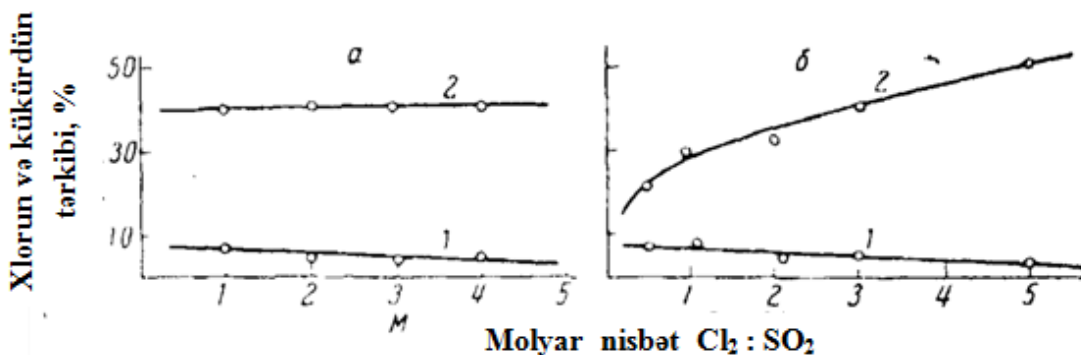
Reagentlərin münasibətinin xlor və kükürdün miqdarına təsiri. Bu məqsədlə iki seriya təcrübə aparılmışdır. Reaksiyanın temperaturu 30°C götürülür, qarşılıqlı təsir edən qazların (xlor və kükürd anhidridi) molyar münasibətləri ($\text{Cl}_2:\text{SO}_2$) $1:1$ -dən $4:1$ kimi dəyişdirilir. Təcrübələrin nəticəsi şəkil 3-də verilmişdir.

Şəkil 3a-dan göründüyü kimi, $\text{Cl}_2:\text{SO}_2$ molyar münasibətinin $1:1$ -dən $4:1$ kimi dəyişməsində xlorun sabit verilməsi ilə polimerə eyni miqdarda xlor $\sim 38\%$ daxil olur, ancaq $\text{Cl}_2:\text{SO}_2$ molyar münasibətinin yüksəlməsi xlorun miqdarının xlor atomu halında artması baş verir, ancaq SO_2Cl qrupu halında azalır, belə ki, polimerdə kükürdün miqdarı $6,3\%-dən 3,2\%$ -ə qədər azalır.

Şəkil 3b-dən görünür ki, $\text{Cl}_2:\text{SO}_2$ molyar münasibətinin artması ilə polimerdə xlorun miqdarı yüksəlir ki ($21\%-dən 49\%$ -ə qədər), bu da reaksiya zonasında xlorun artmasına, alınan məhsulda kükürdün miqdarının ($5,7\%-dən 1,5\%$ -ə) azalmasına səbəb olur.

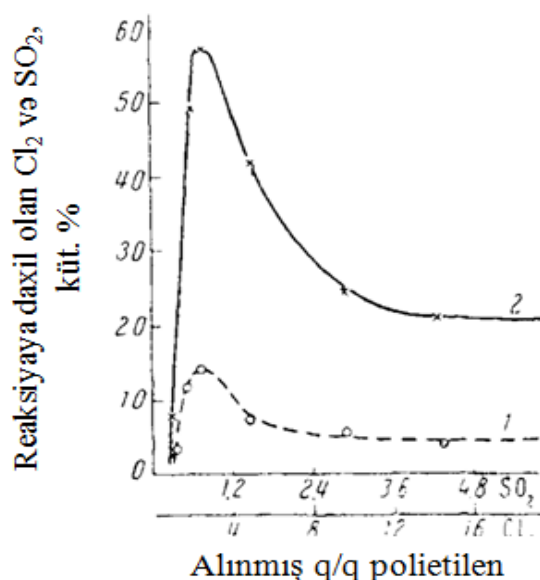


Şəkil 2. Reaksiya temperaturunun sulfoxlorlaşmış polietilendə xlor və kükürdün miqdardından asılılığı. 1-kükürd; 2-xlor

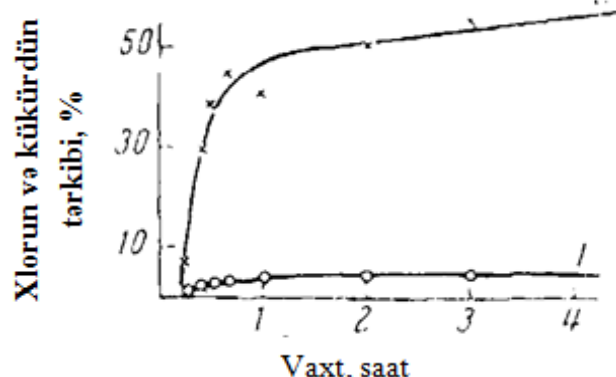


Şəkil 3. Cl₂:SO₂ molyar münasibətlərin polimerdə xlor və kükürdüñ miqdарına təsiri: a) Cl₂; b) SO₂

Şəkil 4-də reaksiyadan alınan qazlar və polimerdə daxil olan qazlar arasında münasibət verilmişdir. Şəkildən göründüyü kimi, 2 q-dan 3 q-a qədər xlor və 0,5 q-dan – 0,9 qrama qədər kükürd anhidridi alındıqda 1 qram polietilenlə xlorun 45-55%-i, kükürd anhidridinin isə 10-15%-i reaksiyaya daxil olur. Xlorun miqdarı 3 q-dan 9 q-a qədər artırıldığda 1 q polietilenlə reaksiyaya daxil olan xlorun miqdarı 20%-ə qədər azalır. Eynilə kükürd anhidridinin miqdarı 1 qram polietilendə 1,5 qramdan çox olduqda alınan kükürd anhidridinin 5%-i reaksiyaya daxil olmuş olur.



Şəkil 4. Cl₂ və SO₂ qazlarının reaksiyadan alınan və polietilenlə reaksiyaya daxil olan miqdərləri arasındakı asılılıq



Şəkil 5. Polietilenə daxil olan xlor və kükürdüñ miqdərinin təcrübənin aparılma müddətinə münasibəti: 1-kükürd; 2- xlor

Alınan əyrinin maksimumu sulfurixloridin həllədici ilə (CCl₄) qatlaşması nəticəsində yaranır.

Polietilenə daxil olan xlor və kükürdüñ miqdərinin təcrübənin aparılma müddətinə təsiri şəkil 5-də göründüyü kimi, ilk 30 dəq. ərzində polimerdə ~ 40% xlor və ~ 2,5% kükürd SO₂Cl qrupu şəklində daxil olmuşdur. Sonrakı yarım saat ərzində xlorun miqdarı 4,5%-ə qədər artmış, kükürd isə olduğu kimi qalmışdır. Reaksiyanı 3 saata qədər davam etdirdikdə polimerdə xlorun miqdarı ~ 45%-ə, kükürdüñ miqdarı isə ~ 4%-ə çatır. Polimerdə 40%-dən çox xlorun daxil olması arzu olunan nəticəni vermır.

Reaksiya şəraitini, xüsusən də Cl₂:SO₂ münasibətinin, cərəyan sıxlığının, həmçinin reaksiyanın stexiométrik münasibətlərinin dəyişdirilməsi ilə polimerdə xlor və kükürdüñ miqdərini tələb olunan səviyyədə saxlamaq olar.

ƏDƏBİYYAT

1. АС 910661 СССР МКИ C08F114/02, C08F8/38. Способ получения хлор-сульфированного полиэтилена Е.В.Варшавер, Е.Д.Кисиль, Л.И.Кутя-нин, Я.Л.Ускач, В.Д.Фурсов (СССР); № 296488/23-05; заявл. 29.07.1980; опуб. 07.03.1982; Бюл.№9
2. АС SU1260366 СССР МПК C08F8/38 Способ получения хлориро-ванного или хлорсульфированного полиэтилена / Е.И.Посенчук, М.Б.Кац, Б.Я.Либман, А.И.Гершенович, В.А.Филимонов (СССР); № 3792027/23-05; заяв.18.09.1984; опуб. 30.09.1986; Бюл. № 9
3. АС 134848 СССР МКИ 39b, 22₀₆; 39 b, 22₀₆; 39c, 25₀₁ Способ получения хлорсульфированного полиэтилена низкого давления / А.И.Гершенович, А.Г.Ферапонтова, Ф.С.Толстухина (СССР). № 662965/23; заявл. 13.04.60; опубл. 01.01.1961, Бюл. №1.
4. Пат. РФ 2254345, МПК C08F8/38, C08J3/11, C08L23/34 Способ по-лучения хлорсульфированного полиэтилена / Шахова Э.Д., Кульков А.А., Васильева Л.М., Тимонин В.А.; патентообладатель АОЗТ «Лакма-Имэкс». № 2003127014/04; заявл. 26.05.2009; опуб. 20.06.2005; Бюл. № 17, 5 с.

РЕЗЮМЕ

ПОЛИМЕРАНОЛОГИЧНЫЕ ПРЕВРАЩЕНИЯ ПОЛИЭТИЛЕНА В ЭЛЕКТРОХИМИЧЕСКОЙ СИСТЕМЕ

Гатамов М.М., Адилова Л.И., Абдуллаева М.Б.

Ключевые слова: сульфурилхлорид, полиэтилен низкого давления, серный ангидрид, порофор, сульфохлорирование

Известно, что хлорсульфоновый полиэтилен широко используется в резиновой промышленности для производства защитных покрытий, лакокрасочных покрытий, а также в производстве новых строительных материалов и др.

Электрохимический метод сульфохлорирования отличается от химического тем, что в электрохимическом методе сульфохлорирующий агент – Cl₂и SO₂, получается в самом процессе. Обеспечивается экологическая безопасность процесса при значительном снижении выбросов вредных веществ в атмосферу.

SUMMARY

POLYMERANOLOGICAL TRANSFORMATION OF POLYETHYLENE IN ELECTROCHEMICAL SYSTEM

Hatamov M.M., Adilova L.I., Abdullayeva M.B.

Key words:sulphuryl chloride, low pressure polyethylene, sulfuric anhydride, porophore, sulfochlorination

It is known that chlorosulfonous polyethylene is widely used in the rubber industry for the production of protective coatings, paint and varnish coatings, as well as in the production of new construction materials, etc.

The electrochemical method of sulfochlorination differs from the chemical method in that in the electrochemical method, the sulfochlorinating agent-Cl₂and SO₂-is obtained in the process itself. Environmental safety of the process is ensured with a significant reduction in emissions of harmful substances into the atmosphere

Daxilolma tarixi: Ilkin variant 26.02.2019
Son variant 21.02.2020

УДК 547.696+547.311

ИСПОЛЬЗОВАНИЕ АДДУКТОВ МЕТИЛЕНДИОКСОЛНОВ С ЭТАНДИТИОЛОМ В КАЧЕСТВЕ ИНГИБИТОРОВ КОРРОЗИИ МЕТАЛЛОВ В КИСЛОЙ СРЕДЕ

ЮСИФЛИ ФАРИДА ХАЛАДДИН гызы

Сумгайитский государственный университет, докторант

feride-yusifli@mail.ru

Ключевые слова: метилендиоксолан, этандитиол, аддукт, коррозия

Радикальным присоединением этандитиола к 2-замещенным-4-метилен-1,3-диоксоланам были синтезированы серосодержащиеmonoаддукты, которые в дальнейшем были использованы в качестве ингибитора коррозии металлов в кислой среде. Изучена зависимость степени защиты полученных аддуктов от их концентрации и температуры. Показано, что используемые аддукты проявляют высокую защитную способность, что связано с их структурной особенностью, в частности, наличием в молекуле гетероатомов серы и кислорода, карбонильной и фенильной групп, ответственных за абсорбционную связь с поверхностными атомами металла.

В последние годы проблема борьбы с коррозией металлов и металлоконструкций приобретает особое значение. Это связано, прежде всего, с применением в ряде химических или нефтехимических технологических процессов сильных минеральных кислот. В частности, при травлении стали или проката в призабойных зонах нефтяных скважин (для улучшения фильтрационных характеристик) широко используется серная или соляная кислоты. Естественно, в этих агрессивных средах металлоконструкция подвергается коррозии. Следовательно, защита этих металлов от коррозии становится необходимой. Проблема же защиты металлов от коррозии решается либо нанесением на поверхность металлов антикоррозионных покрытий, либо введением в систему ингибиторов коррозии [1-3]. Принимая во внимание эффективность обоих методов, следует отметить, что последний метод позволяет одновременно предотвратить не менее важный, связанный с коррозией, процесс – наводораживание и охрупчивание металлов.

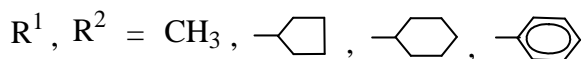
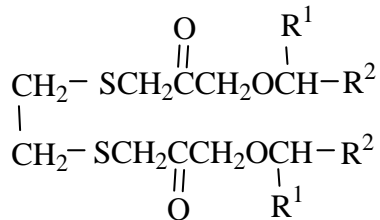
Важность проблемы связана еще с тем, что вся химическая промышленность, нефте- и газодобыча, космическая техника и другие отрасли экономики, где используются высокие температуры, давление и агрессивные среды, нуждаются в новых высокоэффективных средствах защиты от коррозии. Одним из наиболее приемлемых способов защиты металлов от коррозии, как было отмечено выше, является метод введения ингибиторов в коррозионно-активную среду.

Многочисленными исследованиями, проведенными в области синтеза и изучения механизма защитного действия ингибиторов коррозии установлено, что наиболее эффективными ингибиторами являются органические соединения, содержащие в своем составе различные функциональные группы с атомами азота, фосфора, серы, а также ненасыщенные (двойные или тройные) связи.

Анализ состава и структуры аддуктов, полученных нами по реакции метилендиоксоланов (МДО) с этандитиолом (ЭД) показал, что эти соединения содержат гетероатом серы и кислорода, ненасыщенные центры в виде карбонильной группы и фенильного ядра, а также циклоалифатические и метильные группы. Можно было ожидать, что, они могут быть использованы в качестве ингибиторов коррозии. Кроме этого, их

линейная структура может положительно повлиять на эффективность ингибиравания, т.к. молекулы с пространственной конфигурацией делают взаимодействие между поверхностью металла и электронной плотностью на адсорбционном центре неполноценным.

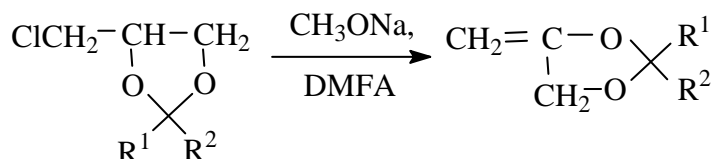
В качестве соединений для испытания были использованы аддукты замещенных МДО с ЭДТ общей формулы:



Экспериментальная часть. ИК-спектры снимались на приборе «Cary 630 FTIR» фирмы AgilentTecnologes (кристалл ZnSe). ПМР-спектры снимались на спектрометре «Фурье» (частота 300 МГц) фирмы «Bruker» в различных растворителях, внутренний стандарт – гексаметилдисилоксан, химические сдвиги сигналов приведены в шкале δ (м.д.). Чистоту синтезированных соединений определяли методом газожидкостной хроматографии на хроматографе ЛХМ-8МД.

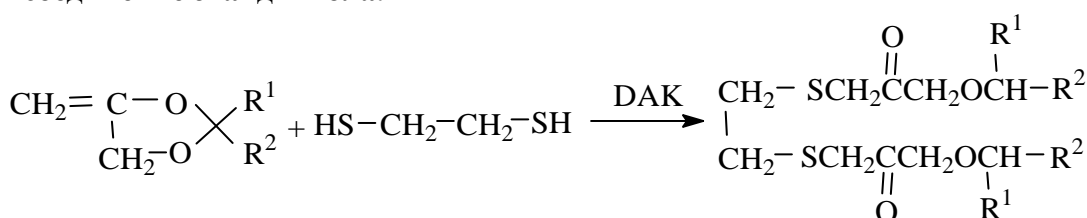
2-замещенные-4-метилен-1,3-диоксоланы были синтезированы из соответствующих хлорметилдиоксоланов, которые, в свою очередь, были синтезированы реакцией соответствующих альдегидов и кетонов с эпихлоргидрином согласно методике, описанной в [4].

Синтез 2-замещенных-4-метилен-1,3-диоксоланов



К раствору 0.4 моль соответствующего хлорметилдиоксолана в 400 мл ДМФА при перемешивании по каплям добавляли раствор 1 моль метилата натрия в 200 мл ДМФА при комнатной температуре. Смесь перемешивали 4 часа при той же температуре и вливали в 300 мл воды, после чего экстрагировали эфиром. Органический слой отделяли и сушили над MgSO_4 . Эфирные вытяжки выпаривали, а остаток перегоняли в вакууме.

Присоединение этандитиола.



В ампулу емкостью 20 мл поместили 0.02 моль 2-замещенного-4-метилен-1,3-диоксолана, 0.042 моль ЭД и 0.5 вес.% ДАК. Ампулу запаивали и нагревали в термостате при 70°C в течение 3-х часов. По окончании реакции смесь охлаждали, 3-4 раза промывали 10%-ным раствором соды (для удаления избытка ЭД) и экстрагировали эфиром. После сушки над Na_2SO_4 эфир отгоняли, а продукт реакции перегоняли в вакууме.

Испытание аддуктов этандитиола с метилендиоксоланами в качестве ингибитора коррозии стали в серной кислоте. Испытания проводились с пластинками из малоуглеродистой стали СТ-3 размером 30x30x2 мм. Перед каждым опытом образцы очищали на шлифовальной машине до получения блестящей однородной поверхности, обезжиривали ацетоном. Коррозионной средой служили растворы серной кислоты (х.ч.) при концентрации 1Н и 5Н H_2SO_4 . Испытания проводили при 20, 40, и 80°C. Продолжительность опыта - 2 ч при 20°C и 1 ч при остальных температурах. Ингибираванные растворы кислот готовили непосредственно перед опытом. Все опыты повторялись трижды. Количественную оценку степени защиты проводили гравиметрическим методом (по потере массы стального образца, подвергающегося коррозии за одинаковое время в растворах, соответственно в чистой и ингибиированной кислоте). Коррозионную стойкость определяли, исходя из значений наиболее воспроизводимых результатов.

Обсуждение результатов. Изучение ингибирующих свойств синтезированных аддуктов проводилось в различных агрессивных средах и эффективность их оценивалась гравиметрическим методом (по потере массы стального образца, подвергающегося коррозии за одинаковое время в растворах, соответственно в чистой и ингибиированной кислоте). Испытания проводили в интервале температур 20-80°C. Время испытаний – 2ч при 20°C и 1ч при остальных температурах.

В таблице представлены данные об ингибирующих свойствах аддуктов в зависимости от температуры и концентрации реагентов.

Как следует из данных таблицы, используемые аддукты эффективно защищают сталь от кислотной коррозии. Для аддуктов-ингибиторов повышение температуры среды положительно влияет на защитный эффект (усиливает его). Это вероятно связано с тем, что повышение температуры активизирует процесс хемосорбции молекул ингибитора на поверхности металла. Повышение же концентрации ингибитора (в 2 раза) незначительно увеличивает степень защиты от коррозии, что может быть объяснено формированием защитной пленки молекулами ингибитора в основном уже при концентрации 0.5 г/л. Поэтому дальнейшее увеличение концентрации его так сильно не отражает изменений значения защитного эффекта.

Таким образом, полученные результаты свидетельствуют о высокой ингибирующей способности исследуемых аддуктов. Степень защиты при этом наблюдается достаточно высокая 92.7-99.9% при концентрации равной 0.5-1.0 г/л. Одновременно наблюдается и возрастание коэффициента торможения ингибитора до 615.

Достаточно высокий защитный эффект, проявляемый используемыми аддуктами в качестве эффективного ингибитора коррозии стали в серной кислоте, объясняется их структурной особенностью, в частности, наличием в молекуле гетероатомов серы и кислорода, карбонильной и фенильной групп, ответственных за абсорбционную связь с поверхностными атомами металла. В результате этого на поверхности металла формируется защитная пленка.

По эффективности ингибирования коррозии металлов в кислой среде изученные этандитиольные аддукты несколько отличаются друг от друга. Причем наибольшим ингибирующим действием обладает соединение IV, содержащее в своей молекуле ароматическое ядро. Сравнительно наименьшей активностью обладает соединение I, имеющее в своей составе у C₂-атома углерода диоксоланового кольца только метильные группы.

Таблица*Ингибирующие способности аддуктов метилендиоксоланов с этандитиолом*

Формула ингибитора	Концентрация ингибитора г/л	Скорость коррозии, г/м ² .ч	Степень защиты, %	Коэффициент торможения	Температура, °C
$\begin{array}{c} \text{O} & \text{CH}_3 \\ & \\ \text{CH}_2-\text{SCH}_2\text{CCH}_2\text{OCH}-\text{CH}_3 \\ \\ \text{CH}_2-\text{SCH}_2\text{CCH}_2\text{OCH}-\text{CH}_3 \\ & \\ \text{O} & \text{CH}_3 \end{array}$	0.5	0.72	91.8	14.6	20
		1.46	95.6	28.2	40
		4.2	98.4	176.5	80
	1.0	0.22	98.2	82.6	20
		0.44	98.8	118.9	40
		1.20	99.2	586.7	80
$\begin{array}{c} \text{O} & \text{CH}_3 \\ & \\ \text{CH}_2-\text{SCH}_2\text{CCH}_2\text{OCH}-\square \\ \\ \text{CH}_2-\text{SCH}_2\text{CCH}_2\text{OCH}-\square \\ & \\ \text{O} & \text{CH}_3 \end{array}$	0.5	0.70	92.1	15.4	20
		1.42	95.8	30.3	40
		3.80	98.2	181.2	80
	1.0	0.18	98.4	84.3	20
		0.40	98.6	122.5	40
		1.18	99.2	596.4	80
$\begin{array}{c} \text{O} & \text{CH}_3 \\ & \\ \text{CH}_2-\text{SCH}_2\text{CCH}_2\text{OCH}-\text{C}_6\text{H}_5 \\ \\ \text{CH}_2-\text{SCH}_2\text{CCH}_2\text{OCH}-\text{C}_6\text{H}_5 \\ & \\ \text{O} & \text{CH}_3 \end{array}$	0.5	0.69	92.4	15.8	20
		1.36	96.2	31.7	40
		3.40	98.6	184.3	80
	1.0	0.16	98.6	86.5	20
		0.36	98.8	124.7	40
		1.14	99.4	608.6	80
$\begin{array}{c} \text{SCH}_2\text{CCH}_2\text{OCH}_2-\text{Ph} \\ \\ \text{CH}_2 \quad \text{O} \\ \\ \text{CH}_2 \quad \text{O} \\ \\ \text{SCH}_2\text{CCH}_2\text{OCH}_2-\text{Ph} \end{array}$	0.5	0.66	93.9	16.2	20
		1.24	97.4	33.5	40
		3.7	99.4	186.0	80
	1.0	0.12	98.8	89.1	20
		0.33	99.4	126.0	40
		1.12	99.9	614.7	80

В исследуемых аддуктах гетероатомы серы и кислорода в виде сульфидной и эфирной связей, а также карбонильные и фенильные группы находятся в одинаковых положениях, но различаются количествами. Поэтому, следовало ожидать увеличения ингибирующих свойств в случае использования аддуктов с ЭДТ, где адсорбционных центров в 2 раза больше по сравнению с тиофенольными аддуктами. В результате этого эффективность защиты поверхности металла становится больше в случае использования аддукта с ЭДТ.

Из табличных данных видно, что общим для испытанных ингибиторов является возрастание защитного эффекта с увеличением температуры агрессивной среды. Это, возможно, связано с тем, что при пониженных температурах на поверхности металла протекает физическая адсорбция, а с увеличением температуры начинает доминировать химическая адсорбция.

ЛИТЕРАТУРА

1. Семенова И.В., Флорианович Г.М., Хорошилов А.В. Коррозия и защита от коррозии. М.: Физматлит, 2002, 336 с.
2. Томашов К.Д., Чернова Г.П. Теория коррозии и коррозионностойкие конструкционные материалы. М.: Металлургия, 1986, 359 с.
3. Папов Ю.А. Теория взаимодействия металлов и сплавов с коррозионноактивной средой. М.: Наука, 1995, 200 с.

Использование аддуктов метилендиоксоланов с этандитиолом в качестве ингибиторов коррозии металлов в кислой среде

4. Рамазанов Г.А. Синтез циклопропансодержащих-4-метилен-1,3-диоксоланов // СГУ, Научные известия, 2003, №2, с.30-33

XÜLASƏ

METİLENDİOKSOLANLARIN ETANDİTİOLLA ADDUKTLARININ METALLARIN TURŞ MÜHİTDƏ KORROZİYASINA QARSİ İNGİBİTOR KİMİ İSTİFADƏSİ

Yusifli F.X.

Acar sözlər: metilendioksolan, etanditiol, addukt, korroziya

Estanditiolun 2-əvəzli-4-metilen-1,3-dioksolanlara radikal birləşməsilə kükürd tərkibli monoadduktlar sintez olunmuş və metalların turş mühitdə korroziyasına qarşı ingibitor kimi istifadə olunmuşdur. Alınmış adduktların mühafizə dərəcələrinin onların qatlılığından və temperaturdan asılılığı öyrənilmişdir. Müyyəyən edilmişdir ki, istifadə olunan adduktların yüksək mühafizə qabiliyyətləri onların quruluş xüsusiyyətləri ilə, xüsusilə də molekulda metalin səthindəki atomlarla absorbşion əlaqə yaratmağa qabil kükürd və oksigen heteroatomlarının, fenil və karbonil gruplarının olması ilə əlaqədardır.

SUMMARY

SUMMARY

USE OF ADDUCTS OF METHYLENE DIOXOLANES WITH ETHNANE DITHIOL AS THE METAL CORROSION INHIBITORS IN ACIDIC MEDIUM

Yusifli F.Kh.

Key words: methylene dioxolane, ethane dithiol, adduct, corrosion

Key words: *methylene dioxolane, ethanol, adduct, corrosion*
 By radical addition of ethandithiol to 2-substituted-4-methylene-1,3-dioxolanes, sulfur-containing monoadducts were synthesized, which were later used as an inhibitor of metal corrosion in an acidic medium. The dependence of the degree of protection of the obtained adducts on their concentration and temperature was studied. It is shown that the adducts used exhibit a high protective ability, which is due to their structural feature, in particular, the presence in the molecule of sulfur and oxygen heteroatoms, carbonyl and phenyl groups responsible for the absorption bond with the surface atoms of the metal.

Daxilolma tarixi: İlkin variant 19.02.2019
Son variant 28.02.2020

УДК 678.643.42.5

ИССЛЕДОВАНИЕ ПРОЦЕССОВ ПОЛУЧЕНИЯ ЦИКЛИЧЕСКИХ НЕПРЕДЕЛЬНЫХ ОГНЕСТОЙКИХ АМИНЭПОКСИДНЫХ СМОЛ НА ОСНОВЕ ДИАМИНОВ, СИНТЕЗИРОВАННЫХ ИЗ C₅ ФРАКЦИИ

ШАХГЕЛЬДИЕВ ФИЗУЛИ ХАНАЛИ оглу

Сумгaitский государственный университет, докторант

shahgeldiyevf@gmail.com

Ключевые слова: непредельные диамины, солянокислый гидроксиламин, C₅ фракция, 1,9-диаминобициклогептен-2,7, аминоэпоксидная смола, огнестойкость

Представленная работа посвящена синтезу непредельных циклических диаминов на базе C₅ фракции, полученной в качестве побочного продукта на пиролизной установке ЭП-300. Аминированием полученных диаминов в условиях окислительно-восстановительной системы в присутствии TiCl₄ был получен 1,9-диаминобициклогептен-2,7 в качестве исходного сырья для получения аминоэпоксидной смолы. А также исследован механизм процесса аминирования и процесса отверждения аминоэпоксидной смолы различными отверждающими агентами.

Известно что, диамины являются ценными химическими реагентами и находят широкое практическое применение в различных областях тонкого органического синтеза и в химической промышленности, благодаря их высокой реакционной способности. Анализ литературных данных показывает, что получению диаминов посвящено много работ, но существующие методы синтеза диаминов представляют многостадийные процессы, базирующиеся на дефицитных реагентах.

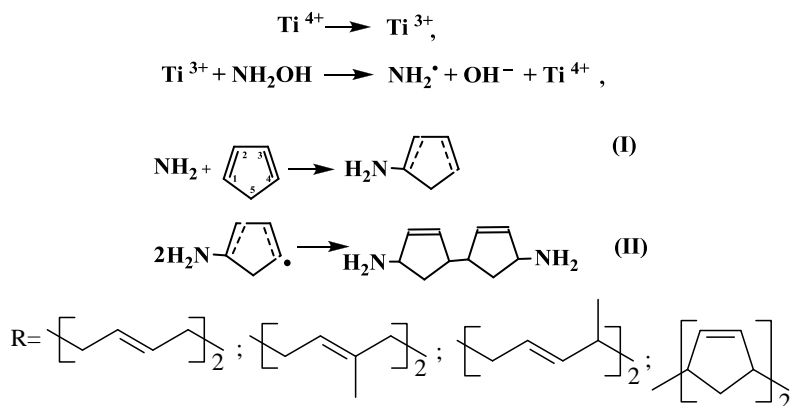
Способом выхода из ситуации является более рациональное использование промежуточных продуктов, полученных при процессе данного производства, например, при процессе пиролиза нефтепродуктов в установках ЭП-300, приводящее к образованию многочисленных углеводородов различного строения.

Настоящая работа посвящена синтезу непредельных циклических диаминов из пентан-пентеновой (C₅) фракции, полученной в качестве побочного продукта на пиролизной установке ЭП-300 [1], получению аминэпоксидной смолы на их основе, а также исследованию физико-механических и огнестойких свойств полученных композиций.

Синтез непредельных циклических диаминов на основе C₅ фракции. При синтезе ненасыщенных диаминов по одностадийному методу было проведено взаимодействие солянокислого гидроксиламина с циклопентадиеном в условиях окислительно-восстановительной системы в присутствии TiCl₄. Взаимодействие солянокислого гидроксиламина с TiCl₄ в этих условиях приводит к возникновению аминного радикала, способного образовывать с сопряженными диенами ненасыщенные диамины с удвоенным числом углеродных атомов в молекуле, а также теломера.

С целью нахождения оптимальных условий процесса нами было изучено влияние количества TiCl₄, молярного соотношения циклопентадиен: солянокислого гидроксиламина, температуры и продолжительности реакции на выход диаминов от теоретически возможного и расчете на взятый четырёххлористый титан. Результаты влияния переменных параметров на селективность процесса приведены на рис. 1-4.

Процесс аминирования циклопентадиена в этих условиях протекает по схеме:



На рис. 1 приведены данные о влиянии количества TiCl_4 (мол. %) в расчете на взятый солянокислый гидроксиламин (ГА) при молярных соотношениях ГА к цикlopентадиену (ЦПД) 1:2, 1:2.5 и 1:3. Как видно из рис. 1, с увеличением количества TiCl_4 от 5 до 15 мол. % (по отношению к ГА) выход диаминобицикlopентенила (ДАБЦП) увеличивается, а теломера снижается.

Изменение молярного соотношения ГА : ЦПД от 1:1 до 1:2.5 приводит к увеличению выхода ДАБЦП к снижению относительного содержания тепломера. Дальнейшее изменение молярного соотношения от 1:2.5 до 1:3 не вызывает существенного изменения в соотношении продуктов реакции (рис.2).

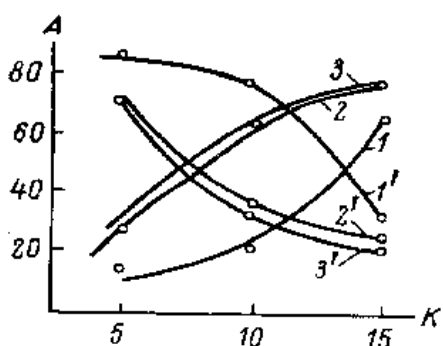


Рис. 1. Влияние количества TiCl_4 , TiCl_4 , K (мол. % на взятый ГА) на выходы диамина A (%) от теоретически возможного (в 1,2,3) расчете на взятый TiCl_4 . 1,2,3-при температуре 20° и продолжительности 3 часа. Соотношение ГА, ЦПД:1,1'- 1:2, 2,2-1:25, 3,3-1:3

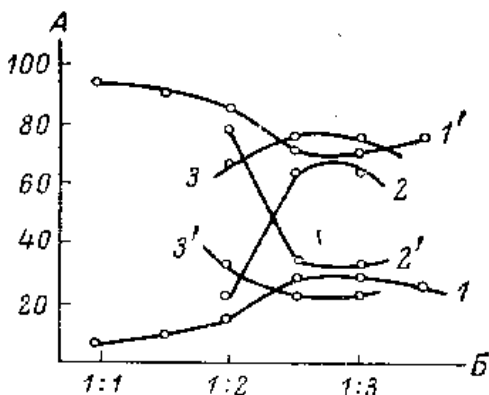


Рис. 2. Влияние молярного соотношения ГА:ЦПД при содержании TiCl_4 5, 10, 15 мол. % на выходы диамина (1,2,3) соответственно и тепломера, А-выход (%), Б-молярное соотношение ГА, ЦПД.

Рассмотрение кривых влияния температуры и продолжительности (рис.3,4) показало, что повышение температуры от 10 до 25° ведет к увеличению выхода ДАБЦП, а дальнейшее повышение ее уменьшает выход. Увеличение продолжительности опыта от 3 до 6 часов ведет к уменьшению выхода ДАБЦП, в то же время к увеличению относительного содержания теломера. При 3-часовой продолжительности опыта выход ДАБЦП максимален.

В результате проведенных опытов выявлено, что оптимальными условиями для получения диаминобицикlopентенила в окислительно-восстановительной системе являются: температура -25° , количество TiCl_4 15 мол. % по взятому ГА, продолжительность опыта 3 часа, молярное соотношение ЦПД:ГА-2.5:1.

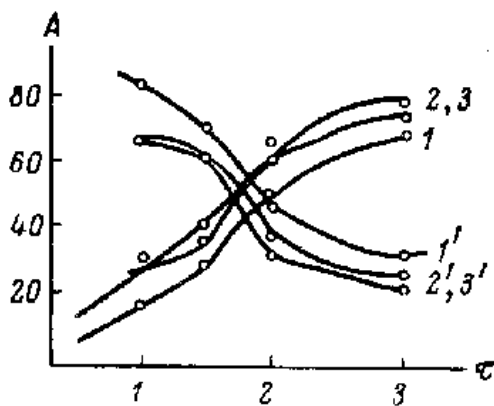


Рис. 3. Влияние продолжительности на выходы диамина (1,2,3) и теломера (1',2',3'). А-выход (%), t- продолжительность опыта. Соотношение ГА:ЦПД, 1, 1'-1:2; 2.2'-1:2.5; 3,3'-1:3.

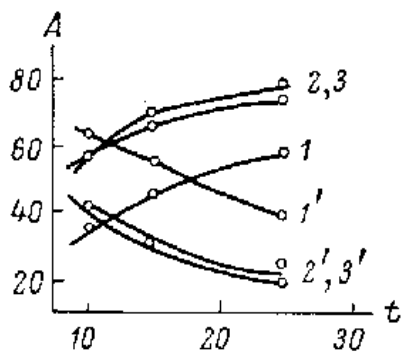


Рис. 4. Влияние температуры при (TiCl₄ 15 мол.-% и продолжительности 3 часа) на выходы диамина и теломера A-выход (%), t-температура (°C). Соотношение ГА:ЦПД, 1, 1'-1:2; 2.2'-1:2.5; 3,3'-1:3.

Взаимодействие солянокислого гидроксиламина с солями металлов переменной валентности в окислительно-восстановительной системе приводит к образованию аминорадикала, способного в присутствии циклопентадиена образовывать диамин, содержащий две единицы циклопентена в составе молекулы и теломерного продукта. Оптимальные условия образования димерного продукта и теломера установлены нами.

Настоящая работа посвящается исследованию структуры продуктов, методом ИК-, ППР-спектроскопии и газожидкостной хроматографии. Выделенная в результате реакции диаминовая фракция с температурой кипения 115-117° при 4 мм рт. ст. (см. табл. 1.), по данным физико-химического анализа и элементного состава является 1,9-диаминобициклопентеном-1,7 (ДАБЦП). Хроматографический анализ фракции показал наличие лишь одного изомера с чистотой 99,5%.

Таблица 1.

Физико-химические константы продуктов реакции

Назв. соед-я	Вы- ход %	Т.к. (°C) при 4 мм рт.ст	d_4^{20}	n_D^{20}	Молекул- лярный вес		Элементный состав, %					
					найдено	вычислено	С		H			
							найдено	вычислено	найдено	вычислено		
ДАБЦП	78	115-117	1.0255	1.5320	170	164	73.40 73.46	73.14	9.98 10.07	9.75	17.41 17.40	17
ДАТЦП	9	150-155	1.0310	1.5390	240	230	78.80	78.26	10.13	9.56	12.90	12

Образование единственного изомера при аминировании циклопентадиена в отличие от наблюдаемого сложного изомерного состава в случае аминирования бутадиена-1,3, 2-метилбутадиена-1,3, пентадиена-1,3 объясняется, по-видимому, особенностью аминоцикlopентенильного радикала (I). В результате присоединения аминного радикала к циклопентадиену образуется аминоцикlopентенильный радикал с относительной

локализацией радикального центра в 4-м положении. Большая стабильность и, следовательно, малая активность радикала (I) приводит к образованию 1,9-диаминобициклопентена-2,7(II) по схеме.

В ИК-спектре 1,9-диаминобициклопентена-2,7 (рис.1) наблюдаются интенсивные полосы валентных асимметрических (ν_{ac}) 3386 см⁻¹ и симметрических (ν_c) 3293 см⁻¹ колебаний первичной аминной группы. Расчет ν_c по формуле $\nu_c = 345,5 + 0,876 \nu_{ac}$ (см⁻¹) достаточно хорошо согласуется с наблюдаемым 3293 см⁻¹. Отклонение ν_c (расчетного от наблюдаемого)=9 см⁻¹. Это свидетельствует о том, что сдвиг в сторону низких частот (для свободного первичного амина ν_{ac} с 3500 см⁻¹) вызван одинаковой степенью участия обеих групп (N-H) в водородной связи.

Следовательно, аминогруппы в молекулах диамина по своему окружению совершенно идентичны, а это согласуется с предполагаемой структурой диамина. В области деформационных колебаний (плоские) N-H 1640-1560 см⁻¹ наблюдается сильная полоса 1615 см⁻¹ и широкая полоса в области 900-650 см⁻¹ средней интенсивности (неплоские). Полосы поглощения в области 3050 см⁻¹ относятся к валентным колебаниям связи =CH. Полоса 1390 см⁻¹ (средней интенсивности), по всей вероятности, относится к плоским деформационным колебаниям CH при двойной связи.

В ПМР-спектре (рис. 5) 1,9-диаминобициклопентена-2,7 четко проявился сигнал четырех протонов двух аминных групп с химическим сдвигом 1.1 мд. соответствующий по интенсивности 4-м протонам (4:4.4). Протоны при двойной связи представляют неразрешенный мультиплет в области 5.25-5.75 мд. Интегральная интенсивность этих сигналов точно соответствует 4-м протонам. Сигналы других протонов расположены в области 1.3-4 мд.

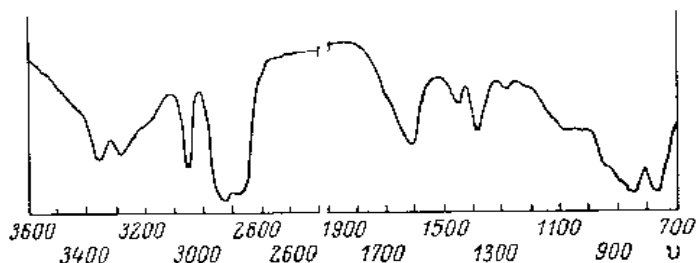


Рис.5. ИК-спектр 1,9-диаминобициклопентена-2,7

С целью исследования теломерного продукта реакции последний был превращен в аминную соль пропусканием сухого хлористого водорода через раствор теломерного продукта в безводном хлороформе. Очищенная аминная соль была превращена в диамин действием 40%-го раствора едкого натра и идентифицирована вакуумной ректификацией в атмосфере азота. Элементный состав, молекулярный вес полученной фракции с температурой кипения 150-155° при 4 мм рт. ст. (см. таблицу) совпадает с расчетными, приведенными в предположении, что данная фракция является диаминотрициклопентеном (ДАТЦП).

В инфракрасном спектре (ДАТЦП)(рис. 6) достаточно четко выделяются полосы поглощения, относящиеся к деформационным колебаниям C=C связи циклопентенов 1650 см⁻¹. Валентные колебания CH у двойной связи на 20 см⁻¹ смещены в стороны низких частот и имеют частоту 3031 см⁻¹. Относительная интенсивность полосы деформационных колебаний C-N-H связи на максимуме имеет частоту 1084 см⁻¹. Эта полоса проявляется, когда первичная аминная группа валентно связана со вторичным углеродным атомом, что соответствует структуре диаминотрициклопентена. Асимметрические и симметрические колебания валентных связей N-H аминных групп соответственно имеют частоты полос 3348, 3255 см⁻¹.

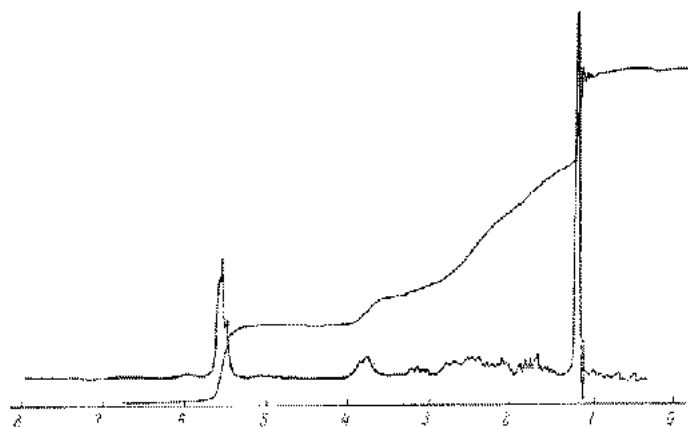


Рис. 6. ПМР-спектр 1,9-диаминобициклогептена-2,7

Что касается продукта с температурой кипения выше 155^0 при 4 мм рт. ст. из-за трудности разделения вакуумной ректификацией (выше 155^0 при 4 мм рт. ст. продукт частично разлагается) мы ограничились определением молекулярного веса и содержания азота, а также показаниями ИК-спектров.

В ИК-спектре четко выделяются полосы поглощения 1650, 3035, 3345 и 3250 cm^{-1} , характеризующие соответственно двухзамещенную двойную связь и первичную аминную группу. Молекулярный вес (310) и содержание азота (10.40%) соответствуют диамину, содержащему четыре пятичленных цикла в цепи молекулы.

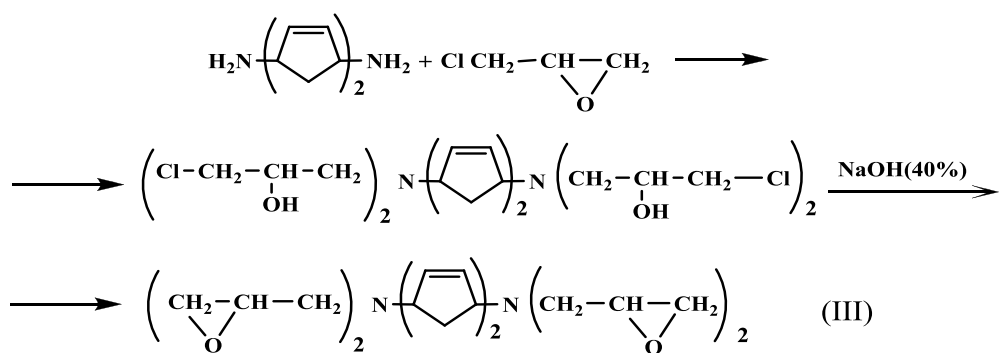
Образование диаминонитри- и диаминотетрациклогептена можно объяснить тем, что в присутствии циклогептадиена аминоциклогептенильный радикал (I) присоединяется к циклогептадиену, образуя малореакционноспособный радикал (III). Дальнейшее наращивание цепи теломера подавляется реакцией обрыва цепи в результате рекомбинации радикала (I) и (III), что приводит к образованию диаминотрициклогептена (IV). Рекомбинацией двух аминодициклогептенильных (III) радикалов можно объяснить образование диаминотетрациклогептена (V) [2].

Получение аминоэпоксидных смол. Из-за хорошей адгезии ко многим материалам, высоким прочностным показателям, теплостойкости и химической стойкости, стойкости к действию агрессивных сред, низкой вязкости аминоэпоксидные смолы могут быть использованы во многих отраслях промышленности. В литературе описан синтез аминоэпоксидных смол на основе диаминов алифатического и ароматического ряда. Однако вопрос о получении непредельных аминоэпоксидных смол освещен мало [4].

В связи с этим представляло интерес синтезировать непредельные циклические аминоэпоксидные смолы, имеющие в структуре реакционноспособные эпоксидные группы, третичный азот, двойную углерод-углеродную связь и т.д. Такие эпоксидные смолы дают возможность получить полимеры с заданными свойствами.

Для синтеза аминоэпоксидных смол в качестве исходного сырья нами был использован 1,9-диаминобициклогептен-2,7, методы синтеза которого описаны выше.

Синтез смол осуществляли в две стадии. Сначала проводили взаимодействие 1,9-диаминобициклогептен-2,7 и эпихлоргидрина в присутствии каталитического количества воды с образованием аминохлоргидринов. На второй стадии синтеза полученные аминохлоргидрины подвергали дегидрохлорированию водным раствором едкого натра [3,5].



Установлено, что с увеличением содержания эпихлоргидрина от 4 до 7 моль на 1 моль 1,9-диаминобициклогептена-2,7 возрастает эпоксидное число смол. Увеличивали также количество едкого натра (6 моль на 1 моль 1,9-диаминобициклогептена-2,7). При повышении температуры реакции от 20 до 60°C наблюдалось уменьшение эпоксидного числа аминоэпоксидных смол. Количество эпоксидных групп и молекулярная масса смол в зависимости от условий синтеза изменялись в пределах 35-51 и 494-780 соответственно. Поученные аминоэпоксидные смолы способны к самоотверждению, протекающему в результате взаимодействия эпоксидных групп с остаточными вторичными аминогруппами, а также вследствие полимеризации олигоэпоксидов под влиянием третичных аминогрупп. Самоотвержающая способность аминоэпоксидных смол изучена с помощью ИК-спектроскопии. Образцы, нанесенные на пластинку KBr толщиной 0,7-1,0 мм, помещали в термостат и выдерживали при 40, 80, 120 и 160°C в течение 6 ч, через каждый час снимая спектрограммы. Количество прореагировавших эпоксигрупп определяли по изменению интенсивности валентных колебаний в области 910 и 1255 см⁻¹ и методом базисной линии. Изменение содержания эпоксигрупп, вычисленное на основе ИК-спектра, приведена на рисунке 7.

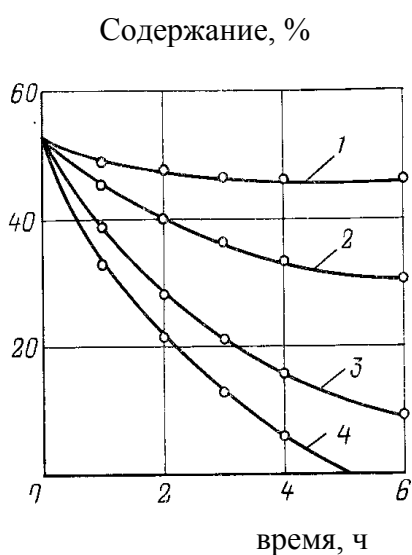


Рис. 7. Зависимость содержания эпоксигрупп

С увеличением времени выдержки образцов при термообработке наблюдается полное исчезновение эпоксигруппы в области полос поглощения 765, 835, 910, 1255 и 3005 см⁻¹, а также полос поглощения 1645 и 3085 см⁻¹, характерных для двойной связи и присутствующей в ИК-спектре неотверженной смолы. Следовательно, аминоэпоксидные смолы отверждаются как по эпоксидному кольцу, так и по двойной связи.

Для получения огнестойких эпоксидных композиций смолы отверждали ангидридами-1,2,3,4,7,7-гексабромбицикло(2,2,1)-гептен-2-дикарбоновой-5,6-кислоты (БЭД) и 7,7-диметокси-1,2,3,4-тетрабром-бицикло(2,2,1)-гептен-2-дикарбоновой-5,6-кислоты (ДМТБЭД), полученными диеновой конденсацией гексабром и 5,5-диметокситетрабром-цикlopентадиена с малеиновым

ангидридом. Смолы БЭД- и ДМТБЭД-ангидридами отверждаются при значительно более низкой температуре и за более краткий срок, чем диановые эпоксидные смолы. Это

связано, по-видимому, с наличием третичного атома азота в цепи аминоэпоксидных смол, так как известно, что третичные амины являются ускорителями отверждения эпоксидных смол ангидридами карбоновых кислот.

Таблица 2.

Физико-механические свойства непредельной циклической аминоэпоксидной смолы, отверженной БЭД и ДМТБЭД-ангидридами

Показатель	БЭД-ангидрид	ДМТБЭД-ангидрид
Теплостойкость по Мартенсу, °С	165	180
Разрушающее напряжение, МПа		
при растяжении	85,5±2	90±4
при сжатии	241±3	247±3
при изгибе	112±0,7	120±1,5
Относительное удлинение при разрыве, %	2-3	4-5
Ударная вязкость, кДж/м ²	14-15	17-18
Водопоглощение за 24 ч.	0,025	0,037
Время затухания после выноса из пламени горелки, с	8-9	13-14

В связи с высокой температурой плавления и малой растворимостью в смоле БЭД- и ДМТБЭД-ангидридов их применяли в виде 70-80%-ных растворов в целлозольве. БЭД- и ДМТБЭД-ангидриды брали в количестве, эквивалентном по отношению к количеству эпоксидной смолы. Отверждение проводили при комнатной температуре в течение 16 ч, при 80°-6 ч, 120°-4 ч и при 140°С-2ч. Отвержденные композиции имеют высокие прочностные показатели, теплостойкость и являются самозатухающими (табл. 2.).

Экспериментальная часть.

Методика синтеза диаминов. Синтез ненасыщенного диамина проводят следующим образом, в четырехгорлую колбу, снабженную механической мешалкой, обратным холодильником, двумя капельными воронками и термометром, помещают 74,8 г (1,15 моль) металлического цинка, 5 моль% катализатора TiCl₄ (на взятый солянокислый гидроксиламин), растворенного в метаноле. При перемешивании в течение 1 ч. из капельной воронки накапливается 13,9 г. пентан-пентеновой фракции (до 45°C) и 69,5 г. солянокислого гидроксиламина в виде 9%-ного раствора в 2,5N солянокислом метаноле. Реакция ведется при 10-15°C. После прибавления всех компонентов реакционную смесь перемешивают еще 2 ч. По окончании реакции непрореагировавшую пентан-пентеновую фракцию и растворитель отгоняют, а остаток подщелачивают водным раствором едкого натра. Продукт экстрагируют из водного раствора изопропиленовым спиртом. После сушки над K₂CO₃ и отгонки растворителя выделяют под вакуумной разгонкой 114 г (68%) в расчете на взятый солянокислый гидроксиламин; моль.в. 165,7 (по криоскопическому методу); Т_{кип.}-110-140°C/3 мм.рт.ст.; n_D^{20} 1,4950, d_4^{20} 0,9340 Найдено: №17,43; 17,16.

а) Синтез 1,9-диаминобициклогептен-2,7.

В четырехгорлую реакционную колбу, снабженную механической мешалкой, обратным холодильником, капельной воронкой, термометром, помещается 10.4 г. солянокислого гидроксиламина, 300мл 2.5н. раствора хлористоводорода в метаноле и 4.3г.четыреххлористого титана, растворенного в метаноле. Затем в течение 1 часа при перемешивании по каплям добавляется соответствующее количество циклопентадиена и одновременно порциями добавляется металлический цинк (1:1.15 в расчете на солянокислый гидроксиламин). Реакционная смесь перемешивается при 20-25° в течение 2 часов и после подщелачивания водным раствором едкого натра и экстракции изопропиленовым спиртом подвергается ректификации под вакуумом в атмосфере азота.

Выделенный диаминобициклогептенил имеет следующие физико-химические константы: т.кип. 115-117° при 4 мм, d_4^{20} 1.0255, n_D^{20} 1.5320, MR_D 49.65 (вычислено 50.27); % : С 73.40 (73.14), Н 9.86 (9.75), N 17.36 (17.07).

Хроматографирование на 2-метровой колонке с 1.0%-м карбоваксом, нанесенным на хромотон на приборе Хром-31, показало, что степень чистоты полученного ДАБЦП составляет 99.5%.

В качестве исходного сырья применялись солянокислый гидроксиламин марки ч.д.а. и циклопентадиен со степенью чистоты 99.8%. Катализатором служил четыреххлористый титан.

Хроматографирование ДАБЦП проводилось на хроматографе "Хром-31" при температуре детектора 190°, длина колонки-2.4, d=4мм, твердой фазой служил хроматон, обработанный 1%-м раствором карбовакса. В качестве газа-носителя использовался гелий.

ПМР-спектр снят на приборе PC-60. В качестве растворителя был взят четыреххлористый углерод, внутренним стандартом служил тетраметилсилан (TMC).

ПМР-спектры были сняты на приборах UR-20 и ИКС-14А в постоянной кювете (d=0.0022). На UR-20 щелевая программа 4, скорость записи 160 см⁻¹/мин., усилено 8.5.

Результаты и их обсуждение. При изучении взаимодействия гидроксиламина с циклопентадиеном окислительно-восстановительной системе в присутствии четыреххлористого титана установлено, что в результате реакции образуется диамин с удвоенным числом углеродных атомов в молекуле и теломерный продукт.

Исследования структуры продуктов, полученных при свободнорадикальном аминировании циклопентадиена гидроксиламином в окислительно-восстановительной системе методом ИК- и ПМР- спектроскопии показало, что основным продуктом реакции является 1,9-диаминоцикlopентена-2,7. В качестве побочного продукта реакции образуется теломер, состоящий из диаминотри- и диаминотетрацикlopентена.

ЛИТЕРАТУРА

1. Şahgəldiyev F.X., İsmayılova R.İ., Mustafayev A.M. C₄-C₅ fraksiyasından doymamış diaminlərin sintezi və xassələrinin öyrənilməsi / AMEA-nın akademik Y.H.Məmmədəliyev adına NKPI-nun 90 illik yubiliyənə həsr olunmuş "Müasir kimyanın aktual problemləri" mövzusunda BEKM. Bakı, 2-4 oktyabr, 2019, s. 205
2. Şahgəldiyev F.X., Mustafayev M.M., Mustafayev A.M. Tərkibində reaksiyayagırmə qabiliyyətli fraqmentləri olan doymamış tsiklik aminepoksid qatranlarının sintezi və xassələrinin öyrənilməsi // SDU, Elmi xəbərlər, Təbiət və texniki elmlər bölməsi, c.17, №2, Sumqayıt, 2017,s.41
3. Шахгельдиев Ф.Х., Мустафаев М.М., Исмаилова Р.И., Мустафаев А.М.Ненасыщенные циклические аминоэпоксидные смолы, синтез и свойства/ Международная научно-практическая конференция, посвященная 1150-летию персидско таджикского учёного-энциклопедиста, врача, алхимики и философа Абу Бакра Мухаммада ибн Закария Рazi. 27-28 мая.Душанбе, 2015,c.156
4. Шахгельдиев Ф.Х., Мустафаев М.М., Мустафаев А.М. Синтез ненасыщенных циклических аминоэпоксидных смол на основе 1,1¹-ди(цикlopent-4-ен)-3,3¹-диамина / Ümummilli lider Heydər Əliyevin anadan olmasının 94-cü ildönümünə həsr olunmuş "Müasir təbiət və iqtisad elmlərinin aktual problemləri" BEKM. Gəncə, 04-05 may, 2018, I hissə, s.217
5. Şahgəldiyev F.X., İsmayılova R.İ., Mustafayev A.M. C₄-C₅ fraksiyasından doymamış diaminlərin və onlar əsasında odaddavamlı kompozisiyaların alınması / Ümummilli lider Heydər Əliyevin anadan olmasının 96-ci il dönümünə həsr olunuş "Müasir təbiət və iqtisadi elmlərin aktual problemləri" mövzusunda BEKM, 02-03 may.Gəncə, 2019, I hissə, s.179-180

XÜLASƏ

C₅ FRAKSİYASINDAN SİNTEZ OLUNMUŞ DİAMİNLER ƏSASINDA
DOYMAMIŞ TSİKLİK ODADAVAMLı AMİNEPOKSİD QATRANLARININ
ALINMASI PROSESİNİN TƏDQİQİ
Şahgeldiyev F.X.

Açar sözlər: doymamış diaminlər, xlorid turşulu hidroksilamin, C₅ fraksiyası, 1,9-diaminbitsiklopenten-2,7, aminepoksid qatranı, odadavamlılıq

Təqdim olunan iş EP-300 piroliz qurğusunda yan məhsul kimi alınan C₅ fraksiyası əsasında doymamış tsiklik diaminlərin sintezinə və alınan diaminlərin oksidləşmə-reduksiya şəraitində TiCl₄ iştirakı ilə aminləşməsinə həsr edilmişdir. Aminepoksid qatranlarının alınması üçün ilkin xammal kimi 1,9-diaminbitsiklopenten-2,7 alınmış, aminləşmə prosesinin mexanizmi və aminepoksid qatranının müxtəlif bərkidici agentlərlə bərkimə prosesi tədqiq olunmuşdur.

SUMMARY

STUDY OF THE PROCESSES OF PRODUCTION OF CYCLIC UNSATURATED FIRE
RESISTANT AMINE OXIDE RESINS BASED ON DIAMINES SYNTHESIZED
FROM THE C₅ FRACTION
Shahgeldiyev F.Kh.

Key words: unsaturated diamines, hydrochloric acid hydroxylamine, C₅ fraction, 1,9-diaminostilbene-2,7, aminoethoxy resin, fire-resistance

The presented work is devoted to the synthesis of unsaturated cyclic diamines based on the C₅ fraction obtained as a by-product at the pyrolysis plant EP-300, by amination of the obtained diamines in the redox system in the presence of TiCl₄, 1,9-diaminobicyclopentene-2,7 was obtained as a feedstock for the production of aminoepoxide resin. The mechanism of the amination process and the curing process of the aminoepoxide resin by various curing agents were also reseaeched.

Daxilolma tarixi:	İllkin variant	01.03.2019
	Son variant	18.02.2020

УДК 546.56

ИЗУЧЕНИЕ УСЛОВИЙ СОРБЦИИ ИОНОВ МЕДИ СОЛЯМИ ТРОЙНОГО СОПОЛИМЕРА МАЛЕИНОВОЙ КИСЛОТЫ СО СТИРОЛОМ И ДЕЦЕНОМ-1

ШИРИНОВА ЭЛЬНАРА АЛАДДИН ГЫЗЫ

Бакинский государственный университет, докторант

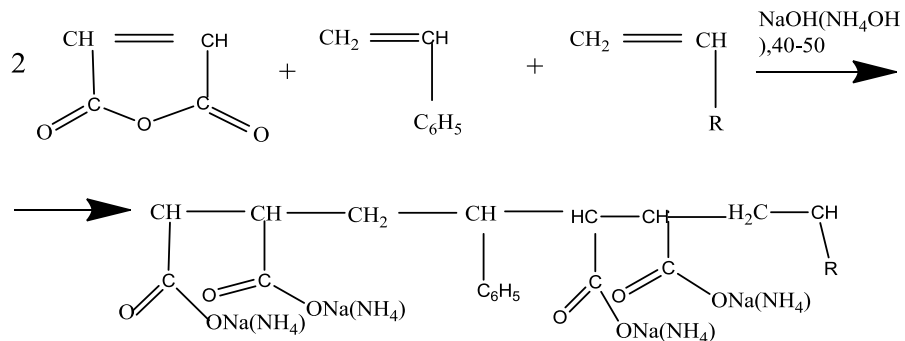
jafarova.elnara@gmail.com

Ключевые слова: ионы меди, сорбция, степень сорбции, сорбционная емкость

Введение. Большое практическое значение имеет адсорбция ионов тяжелых металлов из водных сред полимерными сорбентами с различными реакционноспособными группами атомов. В литературе встречается достаточно много работ, посвященных этой проблеме. Так, хелатообразующие сополимеры малеинового ангидрида и малеиновой кислоты с различными сомономерами были использованы для извлечения ионов меди (II) и других тяжелых металлов из водных растворов [1-4]. Модифицированный 3-аминобензойной кислотой поли(стирол-алт-малеиновый ангидрид) был использован в качестве сорбента для извлечения ионов Fe(II), Cu(II), Zn(II) и Pb(II) из водных растворов [1].

Процент извлечения ионов располагается в следующем ряду: Fe(II)>Cu(II)>Zn(II)>Pb(II). Сорбент эффективен для сорбции названных ионов из сточных вод. Новый сшитый сорбент, полученный сополимеризацией стирола и малеиновой кислоты в присутствии дивинилбензола, проявлял высокую сорбционную способность по отношению к ионам хрома, железа, никеля, меди и свинца [2]. Сорбционная ёмкость сорбента по отношению ионов Cr (III), Fe (III), Ni (II), Cu (II) и Pb(II) имеют значения 10,2; 14,3; 14,2; 15,4 и 8,0 $\text{мг}\cdot\text{г}^{-1}$, соответственно. Хелатообразующий сополимер, содержащий карбоксильную или карбоксилатную группы, был синтезирован эмульсионной сополимеризацией этилметакрилата с дивинилбензолом и тестирован в качестве адсорбента для извлечения ионов токсичных тяжелых металлов [3]. Хелатная смола поли(стирол-алт-малеиновый ангидрид) была исследована в качестве сорбента для извлечения ионов меди(II) из водных растворов [4]. Было изучено влияние различных параметров, такие, как pH среда, масса смолы, время контакта и концентрация ионов металла на эффективность адсорбции. Полимерный сорбент, синтезированный на основе акриловой кислоты и поливинилиденфторид был использован для извлечения ионов меди из водных растворов [5]. Данные по сорбции хорошо описываются моделями Ленгмюра, Фрейндлиха и Дубинина-Радушкевича. По мнению авторов механизм сорбции связан с ионообменным взаимодействием между ионами меди и карбоксильными группами сорбента. В данной работе обсуждаются результаты изучения условий извлечения ионов меди из водных растворов натриевой и аммониевой солей тройного сополимера малеиновая кислота-стирол-декен-1.

Экспериментальная часть. Натриевая и аммониевая соли тройного сополимера малеиновая кислота-стирол-декен-1 были получены реакцией сополимера малеиновый ангидрид-стирол-декен-1 с 5%-ным растворами соответствующих щелочей.



где: $\text{R} = -(\text{CH}_2)_7\text{CH}_3$

Полученные соли несколько раз промывались сначала дистиллированной водой, а затем ацетоном и высушивались в вакуум-сушильном шкафу. Выход натриевой соли 3.8 г (69%), аммониевой соли 3.3 г (69.3%). Исходный тройной сополимер малеиновый ангидрид-стирол-декен-1 был синтезирован по известной методике [6]. Для изучения сорбционной способности синтезированных солей был использован водный раствор ионов меди(II) различной концентрации (0.0025-0,02 моль л⁻¹). Равновесная концентрация ионов меди определялась фотометрическим методом с использованием в качестве реагента 0.001М раствора ксиленол-оранжевого. Оптическая плотность была измерена на спектрофотокалориметре КФК-2 при $\lambda=540$ нм.

Степень сорбции вычислялась по формуле

$$R = \frac{C_0 - C_e}{C_0} \cdot 100\%$$

а сорбционная ёмкость - по формуле

$$C_e = \frac{(C_0 - C_e) \cdot V}{g}$$

где C_0 и C_e – исходная и равновесная концентрации ионов меди (моль·л⁻¹), соответственно, V – объём раствора CuSO₄, взятого для сорбции, (л), g – масса сорбента (г).

Изучение влияния различных факторов на степень сорбции. На процесс сорбции (адсорбции) ионов тяжелых металлов из водных растворов, являющийся физико-химическим взаимодействием ионов металла и сорбента, влияют различные факторы. Среди ряда других факторов наиболее характерными и важными являются время контакта сорбента с раствором ионов металла (время сорбции), масса сорбента, исходная концентрация ионов металла в растворе, температура, характер среды и др. Ниже приводятся результаты влияния массы сорбента, контактного времени и исходной концентрации ионов меди (II) на степень сорбции ионов из водного раствора.

Влияние pH раствора на сорбционной способности сорбентов. Влияние pH раствора на адсорбционную способность сорбентов по отношению к ионам Cu²⁺ было исследовано в диапазоне значений pH=3.0-9.0, с сохранением всех других параметров постоянными. Необходимое значение pH растворов при изучении сорбции Cu²⁺ устанавливали при помощи ацетатных буферных систем. Ацетатные буферные растворы с pH от 3 до 9 готовили из раствора уксусной кислоты и раствора гидроксида аммония с использованием pH-метра марки pH-600 AQ (Румыния). Влияние pH на степень сорбции ионов меди из водного раствора изучено на примере аммониевой соли тройного сополимера (рис.1). Как видно из рис.1, при сильнощелочной среде (pH 3) сорбция ионов меди протекает очень медленно (степень сорбции 17.3%), что может быть приписано равновесию сорбция-десорбция, сопровождающемуся с заменой ионов меди водородными ионами. Степень сорбции значительно увеличивается в диапазоне pH от 4 до 6, а максимальная степень сорбции была достигнута при pH 6 (49.5%).

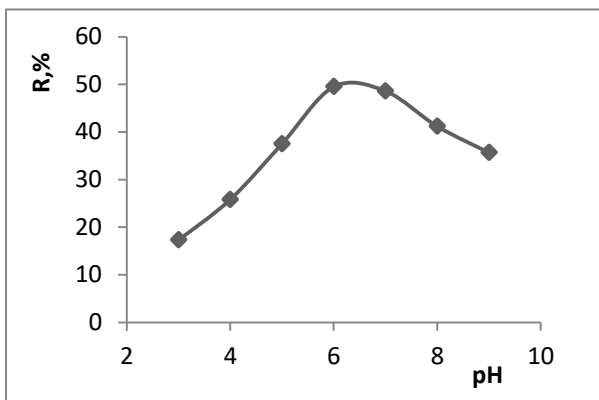


Рис. 1. Зависимость степени сорбции от pH раствора ($C_0 = 0.96 \text{ г л}^{-1}$, масса сорбента 2.5 г л^{-1} , объем раствора, взятого для сорбции (V) 0.04 л , 20°C , 60 мин)

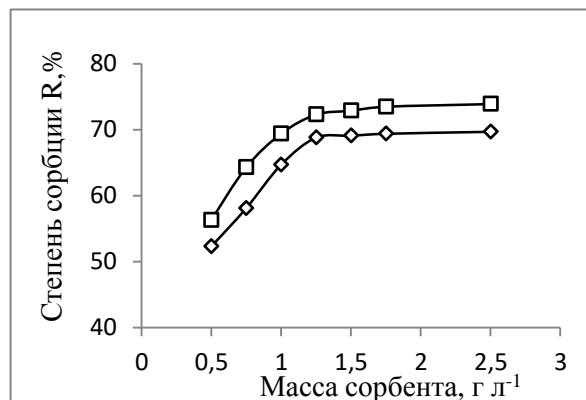


Рис.2. Графики зависимости степени сорбции от массы сорбента для сорбентов МК-Д₄-Сt-Na и МК-Д₄-Сt-NH₄. $C_0 = 0.32 \text{ г л}^{-1}$ ($0.005 \text{ моль л}^{-1}$), $V = 0.04 \text{ л}$, 60 мин, 20°C

Этот факт может быть объяснен тем, что с увеличением отрицательных зарядов на адсорбирующей поверхности, электростатические силы притяжения между поверхностью сорбента и ионами металла увеличиваются, что приводит к увеличению сорбционной способности сорбента [7]. Результаты показали, что синтезированные сорбенты проявляют оптимальную способность к сорбции по отношению к ионам Cu^{2+} при $\text{pH}=6$. Дальнейшее увеличение pH раствора (7,0-9,0) приводит к связыванию ионов меди гидроксильными группами, в результате чего уменьшается степень сорбции. Учитывая это обстоятельство, эксперименты по сорбции ионов Cu^{2+} из водных растворов синтезированными сорбентами проводились при pH=6.0.

Влияние массы сорбента на степень сорбции. Графически зависимости степени извлечения ионов меди (Π) из водных растворов от массы сорбентов представлены на рисунке 2. При этом масса сорбента, выраженная в г л^{-1} варьировалась в интервале $0.5-2.5 \text{ г л}^{-1}$. Видно, что при выбранных условиях сорбции увеличение массы сорбента приводит к увеличению степени сорбции. Это продолжается до определенной массы сорбента (1.25 г л^{-1}) и дальнейшее увеличение массы сорбента практически не оказывается на степени извлечения ионов меди. Постоянство степени сорбции после определенной массы сорбента видимо, связано с насыщением активных реакционных центров сорбента при выбранной исходной концентрации ионов меди. Не исключено также, что этот эффект связан с уменьшением концентрации ионов меди в растворе в ходе сорбции.

Зависимость степени сорбции от времени контакта. Влияние времени контакта на степень извлечения меди (Π) в статическом режиме при определенных значениях исходной концентрации ионов меди, массы сорбента, объема раствора, взятого для сорбции и температуры приведено на рисунке 3.

Видно, что независимо от других параметров проведения сорбции степень извлечения ионов меди увеличивается с увеличением времени контакта достигая 71-74% при 120 мин.. Время, при котором наблюдается практически постоянная степень сорбции наблюдается при 60 мин со степенью сорбции, 68.8-72.3 %

Зависимость степени сорбции от температуры. Одним из важнейших параметров, влияющих на степень сорбции ионов металлов и сорбционную емкость сорбента, является температура, при которой проводится процесс сорбции.

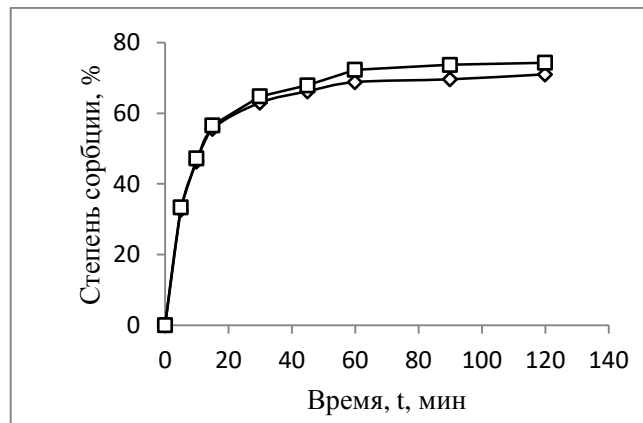


Рис.3. Зависимость степени сорбции от времени контакта для сорбентов МК-Дц-Ст-Na и МК-Дц-Ст-NH₄, $C_0=0.32 \text{ г л}^{-1}$, масса сорбента 1.25 г л^{-1} , $V = 0.04 \text{ л}$, 20°C)

Она непосредственно связана с кинетической энергией ионов металлов и, следовательно, рост или снижение температуры должны приводить к изменению количества ионов металла, адсорбированного сорбентом. С целью выявления температурного эффекта при изучении сорбции ионов меди (II) синтезированными полимер-сорбентами из водных растворов, нами проводились эксперименты при температурах 20 , 30 и 40°C . Результаты иллюстрируются в таблице 1.

Таблица 1.

Зависимость степени сорбции (R), и сорбционной емкости сорбентов (q_e) от температуры ($C_0=0.32 \text{ г л}^{-1}$, $m_{\text{сorb}}=1.25 \text{ г л}^{-1}$, $pH 6$, время контакта 60 мин, $V=0.04 \text{ л}$)

Сорбент	20°C		30°C		40°C	
	$R, \%$	$q_e, \text{ г г}^{-1}$	$R, \%$	$q_e, \text{ г г}^{-1}$	$R, \%$	$q_e, \text{ г г}^{-1}$
МК-Дц-Ст- Na	68.8	0.176	79.3	0.2	90.6	0.23
МК-Дц-Ст- NH ₄	72.3	0.1856	66.7	0.171	62.2	0.159

Как видно из таблицы 1, увеличение температуры от 20 до 40°C приводит к увеличению и степени сорбции, и сорбционной емкости для натриевых солей полимерных кислот, а для аммониевых солей наблюдается обратная картина. Это связано, видимо, с различием в прочностях связей O-Na (NH₄) натриевых и аммониевых солей. Так, химическая связь O-Na в карбоксилатной группе -COONa прочнее, чем O-NH₄ и поэтому для разрыва ее требуется больше энергии.

Зависимость степени сорбции и сорбционной емкости сорбентов от исходной концентрации ионов меди (II) в растворе. Исходная концентрация ионов металла в растворе является одним из основных факторов, определяющих степень распределения ионов между раствором и твердой поверхностью сорбента. Сущность сорбции ионов металла сорбентом заключается в координации ионов свободными активными центрами сорбента, в результате чего возникает физическое или химическое взаимодействие между ионами металла и сорбента. А это, во многом зависит от концентрации ионов металла в исследуемом исходном растворе. Для установления влияния исходной концентрации ионов меди (II) на результаты сорбции нами определены равновесная концентрация и равновесные емкости сорбентов МК-Дц-Ст-Na и МК-Дц-Ст-NH₄ при различных исходных концентрациях ионов меди (II), при одинаковых параметрах условий сорбции. Полученные результаты помещены в таблице 2.

Таблица.2

Зависимость степени сорбции (R), равновесной концентрации ионов меди (Π) (C_e) и сорбционной емкости сорбента МК-Дц-Ст-Na и МК-Дц-Ст-NH₄ от исходной концентрации ионов меди (Π) (масса сорбента 0,05 г (1,25 г l^{-1}), pH 6, время контакта 60 мин, V=0.04 л, 20°C)

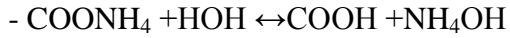
C_o		МК-Дц-Ст-Na				МК-Дц-Ст-NH ₄					
		C_e		R, %	q_e		C_e		R, %	q_e	
гл $^{-1}$	моль l^{-1} $\times 10^3$	г l^{-1}	моль l^{-1} $\times 10^3$		г g^{-1}	моль l^{-1} $\times 10^3$	г l^{-1} $\times 10$	моль l^{-1} $\times 10^3$		г g^{-1}	моль l^{-1} $\times 10^3$
0.16	2.5	0,041	0.64	74,3	0,095	1.48	0.037	0.58	76,8	0.0984	1.54
0.32	5.0	0,1	1.56	68,8	0,176	2.75	0.88	1.37	72,3	0.1856	2.9
0.48	7.5	0,164	2.56	65,7	0,253	3.95	1.48	2.3	69,1	0.2656	4.15
0,64	10.0	0,24	3.75	62,5	0,32	5.0	2.14	3.34	66,6	0.341	5.33
0,80	12.5	0,33	5.16	60,9	0,376	5.88	3.02	4.7	62,3	0.398	6.2
0,96	15.0	0,41	6.4	57,3	0,44	6.88	3.8	5.94	60,4	0.464	7.25
1,12	17.5	0,535	8.36	52,2	0,468	7.3	4.95	7.73	55,8	0.5	7.8
1,28	20.0	0,64	10.0	50,0	0,512	8.0	6.06	9.47	52,6	0.539	8.43

Какие выводы можно сделать по данным таблицы? Прежде всего следует отметить общую закономерность по поводу того, что с увеличением исходной концентрации ионов меди (Π) уменьшается степень сорбции. Например, при увеличении исходной концентрации ионов меди (Π) от 0,16 гл $^{-1}$ (0,0025 моль l^{-1}) до 1,28 гл $^{-1}$ (0,02 моль l^{-1}) степень сорбции на сорбентах МК-Дц-Ст-Na и МК-Дц-Ст-NH₄ уменьшается от 74,3 и 76,8% до 48,4 и 52,6%, соответственно. Уменьшение степени сорбции с увеличением исходной концентрации ионов меди (Π) может быть связана с двумя причинами: во-первых, по мере заполнения сорбционных центров сорбента уменьшается количество незаполненных сорбционных позиций и снижается число сорбционных ионов, во-вторых, с увеличением концентрации исходного раствора ионная сила раствора увеличивается и активность ионов меди (Π) уменьшается, что приводит к уменьшению степени сорбции.

Вторым основным выводом, связанным с влиянием исходной концентрации на процесс сорбции, является заключение о том, что с увеличением концентрации ионов меди (Π) увеличивается равновесная сорбционная емкость сорбентов. Так, при сорбции на сорбентах МК-Дц-Ст-Na и МК-Дц-Ст-NH₄ увеличение исходной концентрации ионов меди (Π) с от 0,16 гл $^{-1}$ (0,0025 моль l^{-1}) до 1,28 гл $^{-1}$ (0,02 моль l^{-1}) равновесная сорбционная емкость увеличивается с 0,095 г g^{-1} (0,0038 моль g^{-1}) и 0,0984 г g^{-1} (0,00154 моль g^{-1}) до 0,512 г g^{-1} (0,008 моль g^{-1}) и 0,539 г g^{-1} (0,00843 моль g^{-1}), соответственно. Аналогичная закономерность наблюдается и для других сорбентов.

При сравнении значений степени сорбции и сорбционной емкости, полученных для натриевых и аммониевых солей можно наблюдать относительно высокие значения для аммониевых солей. Этот эффект, видимо, связан с неодинаковой степенью гидролиза натриевых и аммониевых солей.

Обменная реакция и комплексообразование между ионами меди (Π) и группами -COONa и -COONH₄ сорбентов зависят наряду с другими факторами и от степени гидролиза этих групп в водной среде. Известно, что степень гидролиза натриевых солей карбоновых солей меньше, чем аммониевых солей (например, константы гидролиза ацетатов натрия и аммония имеют значения 5,7x10 $^{-10}$ и 5,55x10 $^{-3}$, соответственно [8]). При гидролизе аммониевых солей равновесие



сдвинуто вправо, вследствие образования слабых электролитов. А это создает более благоприятные условия для взаимодействия ионов меди (Π) с карбоксильной группой.

ЛИТЕРАТУРА

- Hasanzadeh R., Moghadam P.N., Samadi N.. Synthesis and application of modified poly (styrene-alt-maleic anhydride) networks as a nano chelating resin for uptake of heavy metals ions// Polymers for Advanced Technologies, 2013, 24, DOI: 10.1002/3046.
- Prasun Roy, A.S.Rawat,Veena Choudhary, Rai P.K. Synthesis and analytical application of a chelating resin based on a cross-linked styrene /maleic acid copolymer for the extraction of trace-metal ions.// J.Appl.Polym.Sci., 94, 2004, pp.1771-1779
- Mahmoud Abd El-Gaffar, Noha El-Hal. Synthesis and characterization of some chelating polymers bearing maleic acid and/ or sodium maleate moieties for removal of some toxic heavy metal ions. Clean Technologies and Environmental Policy, 2013, 15 (6), DOI: 10.1007/s 10098-013-0579-5
- Samadi N., Ansari R., Khodavirdilo B.(2017). Removal of Copper ions from aqueous solutions using polymer derivations of poly(styrene–alt–maleic anhydride) //Egyptian Journal of Petroleum.26(2), pp.375-389
- Song Laizhou, Wang Ji bin, Zheng Qiu yan & Zhang Zun Ju, (2008). Characterization of Cu (II) ion adsorption behavior of the polyacrylic acid–polyvinylidene fluoride blended polymer. Tsinghua Sci. and Technol.13(2), pp.249–256
- Əkbərov E.O. Allil qruplu birləşmələrin malein anhidridi ilə binar, malein anhidridi və stirolla üçlü radikal polimerləşməsi // Kimya Problemləri, № 3. Bakı, 2008, s. 424-437
- Ibrahim W.M. Biosorption of heavy metal ions from aqueous solution by red macroalgae// J. Hazard Mater, 2011, 192, pp.1827–1835
- Rivas, B. L., Seguel, G. V. & Geckeler, K. E. 2002, Synthesis, characterization, and properties of polychelates of poly (styrene sulfonic acid-co-maleic acid) with Co(II), Cu(II), Ni(II), and Zn(II)// J. Appl. Polym. Sci. 85, pp.2546–2551

XÜLASƏ

MALEİN TURŞUSUNUN STİROL VƏ DESEN-1-LƏ ÜÇLÜ BİRGƏ POLİMERİNİN DUZLARI İLƏ MİS İONLARININ SORBSİYA ŞƏRAİTİNİN ÖYRƏNİLMƏSİ *Şirinova E.A.*

Açar sözlər: mis ionları, sorbsiya, sorbsiya dərəcəsi, sorbsiya tutumu

Məqalədə mis (II) ionlarının sulu məhluldan malein turşusunun stirol və desen-1-lə üçlü birləşmənin natrium və ammonium duzları ilə sorbsiya şəraitinin öyrənilməsinə aid nəticələr verilir. Mis(II) ionlarının polimer duzlarla sulu məhluldan sorbsiyasına məhlulun pH-nın, sorbentin miqdarı, sorbsiya müddəti, mis ionlarının qatılığı və temperaturun təsiri öyrənilmişdir. Müəyyən edilmişdir ki, sorbsiya şəraitindən asılı olaraq, mis iolarının verilmiş polimer duzlarla sulu məhluldan sorbsiya dərəcəsi 50.0-90.6%, natrium və ammonium duzunun maksimum təcrübə sorbsiya tutumu isə uyğun olaraq, 0.512 g g^{-1} (0.008 mol g^{-1}) və 0.539 g g^{-1} ($0.00843 \text{ mol g}^{-1}$) təşkil edir.

SUMMARY

STUDY OF SORPTION CONDITIONS OF COPPER IONS BY SALT OF TERNARY COPOLYMER OF MALEIC ACID WITH STYRENE AND DECENE-1 *Shirinova E.A.*

Keywords: copper ions, sorption, sorption degree, sorption attitude

The article presents the results of the study of the sorption condition of sodium and ammonium salts of copper ions from the aqueous solution of ternary copolymer of maleic acid with styrene and decene-1. The effect of pH sorbent, sorption time, copper ion concentration and temperature on the solution of copper ions by polymer salts was investigated. It was determined that, depending on the sorption condition, the solubility of the aqueous solution of polymer salts from 50.0 to 90.6%, the maximum experimental sorption capacity of sodium and ammonium salt was 0.512 gg^{-1} (0.008 mol g^{-1}) and 0.539 gg^{-1} ($0.00843 \text{ mol g}^{-1}$).

Daxilolma tarixi:	İlkin variant	27.06.2019
	Son variant	23.01.2020

UOT 543.4:542.61:546.72

DƏMİRİN(III) 3-((4-METOKSİFENİL)DİAZENİL)-4-((2-(4-OKSO-3-FENİLDİAZENİL)PENTAN-2-İLİDEN)AMİNOETİL)İMİNOPENTANON-2 VƏ 1,10-FENANTROLİN'LƏ MÜXTƏLİFLİQANDLI KOMPLEKSİNİN SPEKTROFOMETRİK TƏDQİQİ

ABİYEVA ARZU YUNUS qızı

Sumqayıt Dövlət Universiteti, dissertant

sdu.elmixeberler@mail.ru

Açar sözlər: dəmir(III), 3-((4-metoksifenil)diazenil)-4-((2-(4-okso-3-fenildiazenil)pentan-2-iliden)aminoetil)iminopentanon-2, müxtəliflilikandlı kompleks, 1,10-fenantrolin, vulkanik dağ süxuru

Dəmirin(III) spektrofometrik təyini üçün tərkibində donor oksigen və azot atomları olan üzvi reaktivlərdən geniş istifadə edilir [1-3]. Bu reaktivlərin müxtəlif sinif üçüncü komponentlərin iştirakında dəmir(III) əmələ gətirdiyi kompleks birləşmələr daha yüksək kimyəvi-analitik xarakteristikalara malik olduğundan mürəkkəb təkbili təbii və sənaye obyektlərində onun mikromiqdarının təyini üçün daha mühüm əhəmiyyət kəsb edir [4-6].

Təqdim olunan iş dəmirin(III) asetiaseton əsasında sintez edilmiş azobirləşmə - 3-((4-metoksifenil)diazenil)-4-((2-(4-okso-3-fenildiazenil)pentan-2-iliden)aminoetil)iminopentanon-2 və hidrofob amin – 1,10-fenantrolinlə kompleks əmələ gətirməsinin spektrofometrik metodla tədqiqinə və onun təyini üçün yüksək seçiciliyə malik yeni spektrofometrik metodikanın işlənilib hazırlanmasına həsr edilmişdir.

Təcrübi hissə.

Cihazlar. Spektrofotometrik tədqiqatlar “Perkin Elmer” firmasının istehsalı olan kompüterlə təchiz edilmiş “Lambda-40” spektrofotometri və KFK-2 fotoelektrokalorimetrindən $\ell=1,0$ sm qalınlıqlı küvetlərdən istifadə edilməklə aparılmışdır. Məhlulların turşuluğu şüə elektroldü pH-121 pH-metrindən istifadə edilməklə ölçülümdür.

Reaktivlər və məhlullar. Dəmirin(III) $1,0 \cdot 10^{-1}$ M qatılıqlı standart məhlulu metallik dəmirin hesablanmış nümunə çəkisinin sonradan nitrat turşusu əlavə edilməklə xlorid turşusunda (1:1) həll edilməsi ilə hazırlanmışdır [7]. İşdə istifadə edilmiş $5,0 \cdot 10^{-3}$ M qatılıqlı işçi dəmir(III) məhlulu istifadədən əvvəl standart məhluldan distillə suyu ilə durulaşdırılmaqla hazırlanmışdır.

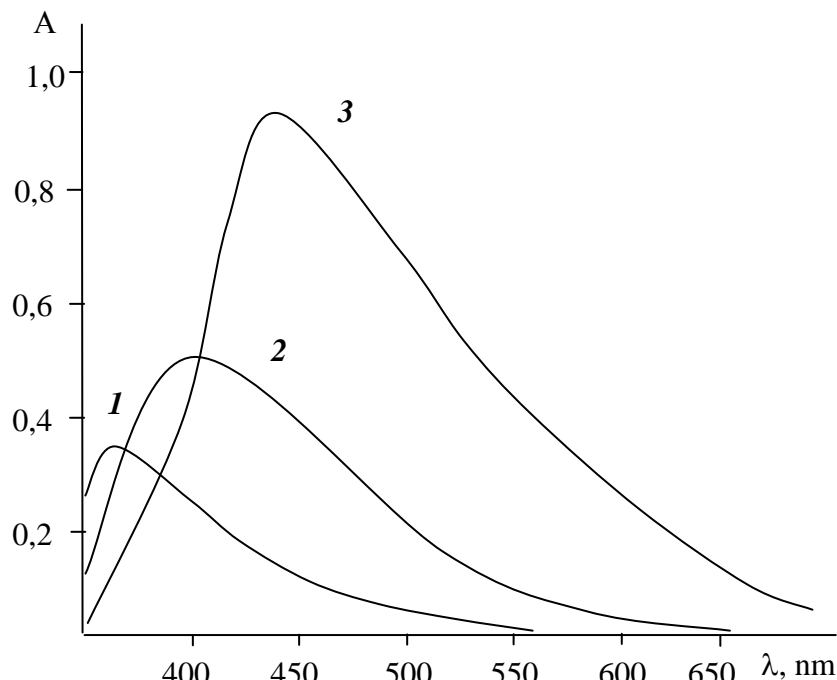
Tədqiqat zamanı 3-((4-metoksifenil)diazenil)-4-((2-(4-okso-3-fenildiazenil)pentan-2-iliden)aminoetil)iminopentanon-2(R) və 1,10-fenantrolinin (Fen) $5,0 \cdot 10^{-3}$ M qatılıqlı məhlullardan istifadə edilmişdir. Reaktiv və 1,10-fenantrolinin işçi məhlulları onların hesablanmış nümunə çəkilorının etanolda həll edilməsi ilə hazırlanmışdır. Lazımı turşuluqlu mühit yaratmaq üçün asetat-ammoniyak bufer məhlullarından (pH 3-11) və HCl fiksanalından (pH 0-2) istifadə edilmişdir. İşdə istifadə edilmiş bütün reaktivlər “k.t” və ya “a.ü.t.” təsnifatlı olmuşdur.

Nəticələr və onların müzakirəsi.

Dəmirin(III) reaktivlə kompleks əmələ gətirməsinin tədqiqi. Dəmir(III) reaktivlə pH = 0-7,0 turşuluqlu mühitdə qarşılıqlı təsirdə olaraq intensiv rəngli kompleks birləşmə əmələ gətirir. Kompleksin maksimum işıq udması $\lambda=400$ nm dalğa uzunluğuna təsadüf edir (şəkil 1). Bu mühitdə reaktiv isə $\lambda=368$ nm dalğa uzunluqlu maksimum işıq udma yaradır. Dəmirin(III) reaktivlə əmələ gətirdiyi eyniliqandlı kompleksin maksimum çıxımı pH=3,0-3,5 turşuluqlu asetat-ammoniyak buferi mühitində müşahidə olunur (şəkil 2). Reaktiv və kompleksin rəngi mühitin turşuluğundan asılı olaraq dəyişdiyi üçün kompleksin udma spektri həm də reaktiv fonunda tədqiq edilmiş və

$\lambda=440$ nm dalğa uzunlığında maksimum işıqudmaya malik olduğu müəyyən edilmişdir. Kompleksin maksimum çıxımı üçün reaktivin $6,0 \cdot 10^{-4}$ M qatılığı tələb olunur və onun optiki sıxlığının qiyməti reaktivin 3,0-8,0 dəfə artıq molyar qatılığında sabit qalır.

1,10-Fenantrolinin kompleksəmələgəlməyə təsiri. Dəmirin(III) reaktivlə kompleks əmələ gətirməsinə 1,10-fenantrolinintəsirini öyrənmək məqsədilə udma spektrleri müxtəlif turşuluqlu mühitdə və geniş dalğa uzunluğu intervalında tədqiq edilmişdir. Müəyyən edilmişdir ki, 1,10-fenantrolin iştirakında Fe(III)-R-Fen müxtəlifliqandlı kompleksi əmələ gəlir. Müxtəlifliqandlı kompleksin əmələ gəlməsi hesabına Fe(III)-R eyniliqandlı kompleksin udma spektri ilə müqayisədə batoxrom sürüşmə və hiperxrom effekt müşahidə olunur (şəkil 1). Fe(III)-R-Fen müxtəlifliqandlı kompleksinin maksimum işıq udması $\lambda=436$ nm dalğa uzunluğuna təsadüf edir. Fe(III)-R eyniliqandlı kompleksi kimi Fe(III)-R-Fen müxtəlifliqandlı kompleksi də turş mühitdə ($pH=0-7,0$) əmələ gəlir (şəkil 2) və onun əmələ gəlməsi ilə maksimum çıxımın daha turş mühitdə doğru sürüşməsi müşahidə olunur. Fe(III)-R-Fen kompleksipH=2,5-3,0 turşuluqlu mühitdə maksimum çıxima malik olur. Reaktiv və komplekslərin rənginin mühitin pH -indən asılı olaraq dəyişdiyini nəzərə alaraq müxtəlifliqandlı kompleksin udma spektri də “kor təcrübə” [R + Fen] fonunda tədqiq edilmiş və Fe(III)-R eyniliqandlı kompleksi kimi onun da $\lambda=440$ nm dalğa uzunlığında maksimum işıqudmaya malik olduğu müəyyən edilmişdir. Kompleksəmələgəlməyə komponentlərin qatılığının təsirinin öyrənilməsi müxtəlifliqandlı kompleksin əmələ gəlməsi üçün $5,0 \cdot 10^{-4}$ M reaktiv və $3,0 \cdot 10^{-4}$ M 1,10-fenantrolin məhlulunun tələb olunduğunu göstərmışdır. Müxtəlifliqandlı kompleksin optiki sıxlığının qiyməti reaktivin 2,5-8,0 və 1,10-fenantrolinin isə 1,5-7,0 dəfə artıq molyar qatılığında sabit qalır.

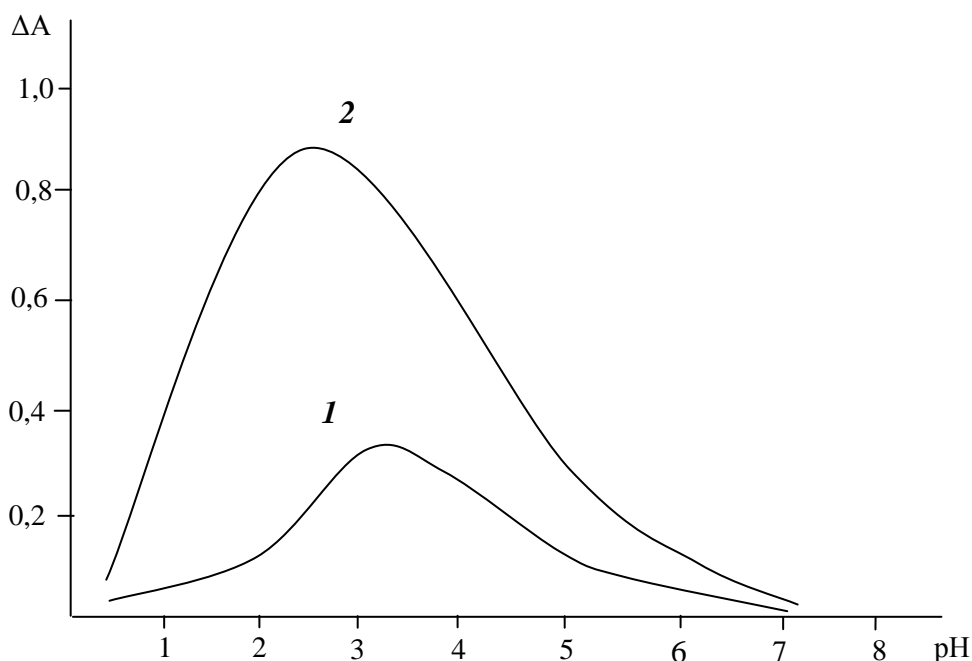


Şəkil 1. Dəmirin(III) eyni- və müxtəlifliqandlı komplekslərinin pH_{opt} turşuluqlu mühitdə udma spektrləri
1.R, 2.Fe(III)-R, 3.Fe(III)-R-Fen
 $C_{Fe}=2,0 \cdot 10^{-4}$ M, $C_R=6,0 \cdot 10^{-4}$ M, $C_{Fen}=3,0 \cdot 10^{-4}$ M, Lambda-40, $\ell=1,0$ sm

Kompleksəmələgəlməyə vaxt və temperaturun təsiri. Kompleksəmələgəlməyə vaxt və temperaturun təsirinin öyrənilməsi dəmirin(III) eyni- və müxtəlifliqandlı komplekslərinin komponentləri məhlullarının qarışdırılması zamanı dərhal əmələ gəldiyini və məhlulda öz davamlılıqlarına görə fərqləndiyini göstərmişdir. Fe(III)-R eyniliqandlı kompleksi məhlulda 2 saat

ərzində və 60°C temperatura qədər qızdırıldıqda davamlı olduğu halda, Fe(III)-R-Fen müxtəlifliqandlı kompleksi bir gün ərzində və 80°C temperatura qədər qızdırıldıqda optiki sıxlıqlarının qiymətini dəyişmir.

Kompleksin tərkibi və davamlılıq sabiti. Dəmirin(III) eyni- və müxtəlifliqandlı komplekslərinin tərkibindəki komponentlər nisbəti Starik-Barbanelin nisbi çıxmış, tarazlığın sürüşməsi və izomolyar seriyalar metodları ilə təyin edilmişdir [8]. Hər üç metodla təyinatın nəticələri Fe(III)-R kompleksinin tərkibində komponentlər nisbətinin 1:2, Fe(III)-R-Fen kompleksinin tərkibində isə 1:2:1 olduğunu göstərmişdir (cədvəl 1). Eyni- və müxtəlifliqandlı komplekslərin əmələ gəlməsi zamanı ayrılan H^+ ionlarının sayı Astaxov metodu ilə təyin edilmiş və onların tərkibindəki komponentlər nisbətinə dair nəticələr təsdiq edilmişdir [9].



Şəkil 2. Dəmirin(III) eyni- və müxtəlifliqandlı komplekslərinin “kor təcrüba” fonunda işıq udmasının pH-dan asılılığı

1.Fe(III)-R, 2.Fe(III)-R-Fen

$C_{\text{Fe}}=2,0 \cdot 10^{-4}\text{M}$, $C_{\text{R}}=6,0 \cdot 10^{-4}\text{M}$, $C_{\text{Fen}}=3,0 \cdot 10^{-4}\text{M}$, KFK-2,
 $\ell=1,0 \text{ sm}$

Əyrilərin kəsişməsi metodu ilə Fe(III)-R kompleksinin tərkibi və davamlılıq sabiti təyin edilmişdir. Təyinatın nəticələri eyniliqandlı kompleksin tərkibində Fe(III):R komponentlər nisbətinin 1:2 olduğunu və yüksək davamlılığa malik olduğunu göstərmişdir: $\lg\beta=8,26 \pm 0,17$ (cədvəl 1). Tərkibindəki komponentlər nisbəti nəzərə alınmaqla, Fe(III)-R-Fen müxtəlifliqandlı kompleksin davamlılıq sabiti hesablanmış və 1,10-fenantrolin iştirakında davamlılıq sabitinin təxminən 10^4 dəfə artdığı müəyyən edilmişdir: $\lg\beta(\text{Fe}-\text{R}-\text{Fen})=13,70 \pm 0,14$.

Cədvəl 1.

Fe(III)-ineyni- və müxtəlifliqandlı komplekslərinin kimyəvi-analitik xarakteristikaları

Kompleks	pH _{opt}	λ_{max} , nm	$\Delta\lambda$, nm	$\varepsilon \cdot 10^3$	$\lg\beta$	Komponentlər nisbəti	Dərəcəli qrafikin xəttlik intervalı, mkq/ml
Fe-R	3,0-3,5	400	32	$1,50 \pm 0,01$	$8,26 \pm 0,17$	1:2	0,45-2,24
Fe-R-Fen	2,5-3,0	436	68	$4,35 \pm 0,02$	$13,70 \pm 0,14$	1:2:1	0,22-3,58

Ber qanununa tabeçilik. Dəmirin Fe(III)-R və Fe(III)-R-Fen kompleksləri şəklində təyini üçün dərəcəli qrafiklər onun müvafiq olaraq $0,45\text{-}2,24$ və $0,22\text{-}3,58$ mkq/ml qatılığı intervalında xətti olur. Maksimum işıq udma uyğun dalğa uzunluğunda (λ_{opt}) Fe(III)-R və Fe(III)-R-Fen komplekslərinin molyar udma əmsali müvafiq olaraq $(1,50\pm0,01)\cdot10^3$ və $(4,35\pm0,02)\cdot10^3$ -ə bərabərdir.

Kənar ionların təsiri. Dəmirin(III) $3\text{-}((4\text{-metoksifenil})\text{diazenil})\text{-}4\text{-}((2\text{-}(4\text{-okso-3-fenildiazenil})\text{pentan-2-iliden})\text{aminoethyl})\text{iminopentanon-2ilə}$ əmələ gətirdiyi eyni- və 1,10-fenantrolinin iştirakında əmələ gətirdiyi müxtəlifliqandlı komplekslər şəklində spektrofotometrik təyini metodikalarını işləmək məqsədilə Ber qanununa tabeçiliklə yanaşı, təyinata kənar ion və pərdələyici maddələrin təsiri öyrənilmişdir. Tədqiqatın nəticələri 1,10-fenantrolinin iştirakında müxtəlifliqandlı kompleksin əmələ gəlməsi hesabına təyinatın seçiciliyinin kəskin artığını göstərmişdir. Dəmirin tədqiq edilmiş eyni- və müxtəlifliqandlı komplekslər şəklində təyininə kənar ionlar və pərdələyici maddələrin təsiri cədvəl 2-də verilmişdir.

Cədvəl 2.*Fe(III)-ineyni- və müxtəlifliqandlı komplekslər şəklində təyininə kənar ionların təsiri*

Ion	Mane olan kütlə nisbətləri		Ion	Mane olan kütlə nisbətləri	
	Fe(III)-R	Fe(III)-R-Fen		Fe(III)-R	Fe(III)-R-Fen
Qələvi metallar	2000	5000	Sb(III)	20	930
Ca(II)	1200	4500	Bi(III)	31	1000
Ba(II)	1500	4800	Ga(III)	135	1500
Mg(II)	2000	5000	In(III)	210	1480
Zn(II)	800	1600	Ti(IV)	7,4	380
Cd(II)	1100	2000	Th(IV)	350	1500
Cu(II)	70	800	Zr(IV)	1,2	187
Co(II)	120	1450	Hf(IV)	1,5	360
Ni(II)	175	1500	U(VI)	276	1500
Mn(II)	560	1600	Mo(VI)	0,9	180
Pb(II)	24	890	W(VI)	3,5	210
Sn(II)	3,6	740	$\text{C}_2\text{O}_4^{2-}$	64	1230
Al(III)	154	920	F ⁻	180	1000
Cr(III)	280	1420	HPO_4^{2-}	290	1000

Vulkanik dağ süxurunda dəmirin təyini. Dəmirin Fe(III)-R-Fen müxtəlifliqandlı kompleksi şəklində təyini üçün işlənilmiş metodika Azərbaycan Respublikası Kəlbəcər rayonu ərazisindən götürülmüş Kiçik Qafqazın vulkanik dağ süxuru nümunəsində onun miqdarının təyini üçün tətbiq edilmişdir. Bunun üçün dağ süxuru nümunəsindən 5,0 qram nümunə çəkisi götürülmüş və qrafit kasada 20 ml HF + 15 ml HCl + 5 ml HNO_3 qarışığında qızdırılmaqla həll edilərək pasta halına salınmışdır. Alınmış pasta hidrogen-fluoridin artığı tamamilə qovulana qədər $60\text{-}70^{\circ}\text{C}$ temperaturda 4-5 ml HNO_3 ilə işlənilmişdir. Bundan sonra alınan qalıq distillə suyunda həll edilmiş və həll olmayan hissə filtr kağızı ilə süzülərək ayrılmışdır. Alınmış məhlul isə 50 ml-lik ölçü kolbasına keçirilmiş və distillə suyu ilə cizgiyə qədər durulasdırılmışdır. Bu məhluldan müxtəlif alikvot hissələr götürülərək 25 ml-lik ölçü kolbasına keçirilmiş, üzərinə $2,5\text{ ml } 5,0\cdot10^{-3}\text{ M}$ reaktiv və $1,5\text{ ml } 5,0\cdot10^{-3}\text{ M}$ 1,10-fenantrolin məhlulu əlavə edilmiş, pH=3,0 turşuluqlu asetat-ammoniak bufer məhlulu ilə cizgiyə qədər durulasdırılmışdır. Hazırlanmış məhlulların optiki sıxlıqları $\ell=1,0\text{ sm}$ qalınlıqlı küvetdə, $\lambda=440\text{ nm}$ dalğa uzunluğunda, KFK-2 fotoelektrokalorimetrində, “kor təcrübə” fonunda ölçülümüştür. Analiz olunan süxur nümunəsində dəmirin miqdarı əvvəlcədən qurulmuş dərəcəli qrafikə əsasən təyin edilmişdir. Təyinatın nəticələri cədvəl 3-də verilmişdir.

Cədvəl 3.

Vulkanik dağ süturu nümunəsində dəmirin miqdarının təyini($n=5, P=0,95$)

Pasporta görə komponentlərin miqdarı, %	Tapılmışdır Fe, %	S _r
TiO ₂ - 0,75; Fe ₂ O ₃ - 4,52 (Fe - 3,164); FeO - 0,88 (Fe - 0,684); CaO - 5,88; MgO - 1,50; P ₂ O ₅ - 0,72; MnO - 0,02; K ₂ O - 4,00; Na ₂ O - 5,40; In ₂ O ₃ - 0,01; Ga ₂ O ₃ - 0,00945; Sc ₂ O ₃ - 0,01; SeO ₃ - 0,05; P3E - 0,70; H ₂ O - 0,29; SiO ₂ - ост.	3,850±0,116	0,026

ƏDƏBİYYAT

- Умланд Ф., Янсен А., Тириг Д., Вюнш Г. Комплексные соединения в аналитической химии. М.: Мир. 1975. 531с.
- Упор Э., Мохай М., Новак Д. Фотометрические методы определения следов неорганических соединений. М.: Мир. 1985. 359с.
- Коломиец Л.Л., Пилипенко Л.А., Жмудь И.М., Панфилова И.П. Использование производной спектрофотометрии для избирательного определения никеля, кобальта, меди и железа(III) 4-(2-пиридиазо)резорцином в бинарных смесях// Журн. аналит. химии. т.54. №1. 1999, с.34-36
- Нагиев Х.Д., Эспанди Ф.Э., Алиева Р.А., Гюллярли У.А., Чырагов Ф.М. Определение микроколичеств железа в фруктах// Аналитика и контроль. т. 17. №1. 2013, с.107-111
- Алиева Р.А., Абиева А.Ю., Нагиев Х.Д., Гюллярли Г.Г., Чырагов Ф.М. Определение железа в фруктах с 3-[3'-гидрокси-4'-карбоксифенилазо] пентадионом-2,4 и гидрофобными аминами// Вестник современной науки. Волгоград. № 1. 2015, с.14-19.
- Safavi A., Mir M., Abdollahi H. Simultaneous spectrophotometric determination of iron, titanium and aluminium by partial least-squares calibration method in micellar medium.// J. Anal.Lett. V.36, №3. 2003, pp.699-717
- Коростелев П.П. Приготовление растворов для химико-аналитических работ. М.: Наука. 1961, 261с.
- Булатов М.И., Калинкин Н.П. Практическое руководство по фотометрическим методам анализа. Л.: Химия, 1986, 432 с.
- Астахов К.В., Веринкин В.Б., Зимин В.И., Зверькова А.А. Спектрофотометрическое изучение комплексообразования некоторых редкоземельных элементов с нитрилоуксусной кислотой// Журн. неорган. химия. т.6. 1961, с. 2069-2076

РЕЗЮМЕ

СПЕКТРОФОТОМЕТРИЧЕСКОЕ ИССЛЕДОВАНИЕ РАЗНОЛИГАНДНОГО КОМПЛЕКСА ЖЕЛЕЗА(III) С 3-((4-МЕТОКСИФЕНИЛ)ДИАЗЕНИЛ)-4-((2-(4-ОКСО-3-ФЕНИЛДИАЗЕНИЛ)ПЕНТАН-2-ИЛИДЕН)АМИНО-ПЕНТАНОНОМ-2И 1,10-ФЕНАНТРОЛИНОМ

Абиева А.Ю.

Ключевые слова: железо(III), 3-((4-метоксифенил)диазенил)-4-((2-(4-оксо-3-фенилдиазенил)пентан-2-илиден)аминоэтил)иминопентанон-2, разнолигандный комплекс, 1,10-фенантролин, вулканогенная порода

Спектрофотометрическим методом исследовано комплексообразование железа(III) с 3-((4-метоксифенил)диазенил)-4-((2-(4-оксо-3-фенилдиазенил)пентан-2-илиден)аминоэтил)иминопентаноном-2 в присутствии гидрофобного амина – 1,10-фенантролина. Образование разнолигандного комплекса в присутствии 1,10-фенантролина сопровождается батохромным и гиперхромным эффектами в спектре поглощения, а также максимальный выход сдвигается в более кислую среду. Установлены оптимальные условия образования, определены их состав и константы устойчивости, вычислены основные спектрофотометрические характеристики однородно- и разнолигандного комплексов Fe(III). Разработана новая высокоселективная спектрофотометрическая методика определения железа(III) в виде разнолигандного комплекса с 3-((4-метоксифенил)диазенил)-4-((2-(4-оксо-3-фенилдиазенил)пентан-2-илиден)аминоэтил)ими-

нопентаноном-2 и 1,10-фенантролином. Разработанная методика применена для определения количества железа в вулканогенной породе.

SUMMARY

SPECTROPHOTOMETRIC STUDY OF MIXED LIGAND COMPLEX OF IRON(III) WITH 3-((4-METHOXYPHENYL)DIAZENYL)-4-((2-(4-OXO-3-PHENYLDIAZENYL)PENTAN-2-YLIDENE)AMINOETHYL)IMINOPENTANONE-2 AND 1,10-PHENANTROLINE

Abiyeva A.Y.

Key words: iron(III), 3-((4-methoxyphenyl)diazetyl)-4-((2-(4-oxo-3-phenyldiazenyl)pentan-2-ylidene)aminoethyl)iminopentanone-2, mixedligand complex, 1,10-phenanthroline, volcanic rock

The complexation of iron(III) with 3-((4-methoxyphenyl)diazetyl)-4-((2-(4-oxo-3-phenyldiazenyl)pentan-2-ylidene)aminoethyl)iminopentanone-2 in the presence of hydrophobic amine - 1,10-phenanthroline was studied. The formation of a mixed ligand complex in the presence of 1,10-phenanthroline is accompanied by a bathochromic shift and a hyperchromic effect in the absorption spectrum, and the maximum yield is shifted to a more acidic medium. The optimal conditions for the formation were established, their composition and stability constants were determined, the main spectrophotometric characteristics of homogeneous and mixedligandcomplexes of Fe(III) were calculated. A new highly selective spectrophotometric method for the determination of iron(III) in the form of a mixedligand complex with 3-((4-methoxyphenyl) diazenyl)-4-((2-(4-oxo-3-phenyldiazenyl)pentan-2-ylidene)aminoethyl)-pentanone-2 and 1,10-phenanthroline was developed. The developed technique was applied to determine the amount of iron in volcanic rock.

Daxilolma tarixi: Ilkin variant 09.07.2019
Son variant 23.02.2020

UOT 581.55

EFİRYAĞLI BITKİLƏR VƏ ONLARIN FARMOKOLOJİ AKTİVLİYƏ MALİK TƏRKİB MADDƏLƏRİNİN BAKTERİSİD VƏ FUNGİSİD XÜSUSİYYƏTLƏRİ

NAMAZOV NİZAMI RZA oğlu

Sumqayıt Dövlət Universiteti, dosent

nizami.namazov63@gmail.com

Açar sözlər: mikobiota, mikotoksikoz, allergiya, dominant növlərin rastgəlmə tezliyi, allergen və şərti patogen növlər.

Məlumdur ki, bitkilərin tərkibinə müxtəlif komponentlər daxildir [2,3] ki, onların arasında efir yağları xüsusi əhəmiyyət kəsb edir [4]. Belə ki, bitkilərdən alınan efir yağlarının bir çox patogen və şərti-patogen mikroorqanzimlərə münasibətdə antimikrob aktivliyə malik olması aparılan bir çox tədqiqatlardan məlumdur. Efir yağlarının kimyəvi sintez yolu ilə alınan antimikrob vasitələrdən üstünlüyü ondan ibarətdir ki, onlar mikroorqanzimlərə öz müdafiə mexanizmini yaratmaq imkanı vermir. Çünkü bu zaman mikroorqanzimlərin genetik aparatında dəyişiklik baş vermir. Efir yağlarının geniş şəkildə istifadə edilməsi belə bakteriyaların davamlı formalarının seleksiyasına səbəb olmur. Müasir tədqiqatlar efir yağlarının yüksək antiseptik aktivliyə malik olmasını təsdiq edibdir. Məsələn, kəklikotu bitkisinin efir yağlarının 5%-li sulu məhlulu tif xəstəliyi törədicisi olan bakteriyaları və dizenteriya törədicisi olan basilləri 2 dəqiqə müddətinə tamamilə məhv edir. Analoji effekt kolibakteriyalarda 2-8 dəqiqə, difteriya çöplərində 4 dəqiqə, Kox çöplərində (vərəmin törədicisi) isə 60 dəqiqə müddətində qeydə alınır [6].

Adı şam, kəklikotu, nanə, lavanda, rozmarin kimi bitkilərdən alınan efir yağlarının qarışığını otağa buraxdıqda bütün stafilocokkları və kif göbələklərini öldürür və 200 mikrob koloniyasında cəmi 4-ü qalır. Adaçayında, dəvədabanında və şalfeydə olan EY və təbii antibiotiklər yalnız mikroblara təsir edir və bu zaman digər canlılara təsir etmir, yəni canlılara münasibətdə seçici təsir effektinə malikdir. Ümumiyyətlə, efir yağlarının antiseptik xüsusiyyəti uzun zaman azalmır və mikroorqanzimlərdə onlara qarşı bəzi antibiotiklərin istifadəsi zamanı müşahidə olunan davamlılıq (rezistentlik) [1,2,3] yaranır. Bu da onunla əlaqədardır ki, efir yağlarının antibioloji təsiri nəticəsində orqanzimin genetik aparatında deyil, sitoplazmatik membranın, yəni hüceyrə divarının dağılıması, aerob tənəffüs aktivliyinin azalması ilə nticələnir. Bu da müxtəlif üzvi maddələrin sintezi üçün zəruri olan enerjinin ayrılmاسının azalmasına götərib çıxarır. Beləliklə, ekoloji vəziyyəti modifikasiya etməklə efir yağları mikroorqanzimlərə özlerinin müdafiə mexanizmini yaratmağa və təsir effektinə görə aqressiv olan agentə adaptasiya olunmasına imkan vermir. Bu səbədən də efir yağlarının tibbi praktikada uzun müddət istifadəsinin rezistentliyə səbəb olma təhükkəsi, demək olar ki, yoxdur. Efiryağlı bitkilər sənayenin kosmetika, qida, yem, tibb və s. sahələrinin xammalla təchiz edilməsi işində mühüm rol oynayır [1].

Efiryağlı bitkilər o bitkilərdir ki, onların xüsusi hüceyrələrində (efir yağı yollarında) və ya xüsusi tükcüklerində ətirli (iyli) efir yağları vardır [1,2]. Efir yağları bitkinin həm vegetativ, həm də generativ orqanlarından alınır. Efir yağlarından 1000-dən artıq üzvi maddələr alınır. Efir yağlarının tərkibi mürəkkəb üzvi birləşmələrdən- oksigen törəməli terpenlərdən, spirtlərdən, aldehidlərdən, fenollu birləşmələrdən, flavonoidlərdən, ketonlardan və s.-dən ibarətdir. Efir yağları uçucu birləşmələrdir və praktiki olaraq suda həll olmur [4,5]. O, əsasən, bitki xammalından su buxarı ilə qovmaqla alınır. Efir yağıının miqdarı bitkinin növündən asılı olaraq zəif izdən- 0,001%-dən 20%-ə kimi olur. Adətən isə efir yağıının miqdarı bitkidə 2-3% arasında olur. Ətirli yağlar əmələ gətirmək

qabiliyyəti çətirçiçəklilər (*Apiaceae*), dalamazkimilər (*Lamiaceae*), sədəfotukimilər (*Rutaceae*) və s. fəsilələrə aid edilən 3000-dən artıq bitki növündə müşahidə edilir. Onlardan 200 növə yaxını sənaye əhəmiyyəti kəsb edir. Ən yüksək keyfiyyətli efir yağları *zəncəfilkimilər* (*Zingiberaceae*), *sandalkimilər* (*Santalaceae*), *dəfnəkimilər* (*Lauraceae*), *gülçiçəklilər* (*Rosaceae*), *ətirşahkimilər* (*Geraniaceae*), *sədəfotukimilər* (*Rutaceae*) fəsiləsinə daxil olan bitkilərin tərkibində olur. Mədəni halda becərilən və yabanı halda bitən ot tipli efiryağlı bitkilər- keşniş (kinza), sürvə, reyhan, zirə, cirə, paçuli, şüyüd, bataqlıq zanbağı (air) və s. bu məqsədlə istifadə edilir [1,4,6]. Evkalipt, yovşan, kamfora ağacı, nanə, cəfəri, kəklikotu, rozmarin, sədəfotu və s. kimi dərman bitkiləri də efiryağlı bitkilər qrupuna aid edilir. Onlardan praktik olaraq daha əhəmiyyətliləri 1-ci cədvəldə verilmişdir.

Cədvəl 1.

Tədqiqatlarımızda istifadə edilən efiryağlıbitkilər və onların tərkibində olan efir yağlarının ümumixarakteristikası

Efiryağlı bitki növləri	Tərkibində olanefir yağlarının ümumi miqdarı (%) -lə	Efir yağıntı tərkibində olan əsas komponentlərin miqdarı (%) -lə
Pişiknanəsi (<i>Nepeta cataria</i> L.)	2,5-3,0	Menthol- 98,5 Limenton- 0,92
İstiot nanəsi (<i>Mentha piperita</i> L.)	2,5-6,0	Menthol – 89,87 Menthon – 6,02
Boymadərən (<i>Achillea millefolium</i> L.)	0,75-1,0	Thymol- 57,24 Menthol -17,89
Daziotu (<i>Hypericum perforatum</i> L)	0,4-0,6	γ – amorfen -30,6 δ-kadinen – 7,1 (E)-β-farnezen -5,4
Acı yovşan (<i>Artemisia absinthium</i> L.)	0,2—0,5 %	Thymol- 30,97 Evcaliptol -24,13
Adı yovşan (<i>A.vulgaris</i> L)	0,1-0,3	Iso-thymol – 71,81 Evcaliptol – 17,15
Ətirli kərəviz (<i>Apium graveolens</i> L.)	0,1-0,2	Carbocrol -63,83 o-cumene – 21,0
Rozmarin (<i>Rosmarinus officinalis</i> L.)	1,0-2,4	α-pinien-30,21 β-pinien -30,14 kamfen -20,23
Limon (<i>Citrus limon</i> (L.)	0,18-0,28	α-limonen -89,32 sitral – 3,25
Şalfey (<i>Salviaofficinalis</i> L.)	0,6-1,5	Tsineol – 15 α-tuyon -10 β-tuyon -8 D-α-pinien- 7

Efiryağlı bitkilərdən alınan sulu ekstraktların və təmiz halda efir yağının göbələk və bakteriyaların böyüməsinə təsir effekti də tərəfimizdən araşdırılmış və məlum olmuşdur ki, hər bir halda təmiz efir yağının təsir effekti daha güclüdür, hansı ki, bu, öz əksini 2-ci və 3-cü cədvəllərdə tapmışdır.

*Efiryagli bitkilər və onların farmokoloji aktivliyiə malik tərkib maddələrinin
bakterisid və fungisid xüsusiyyətləri*

Cədvəl 2

Efiryagli bitkilərdən alınan sulu ekstraktların göbələk və bakteriyaların böyüməsinə təsiri

Kompozisiya	Test kulturalar	Aktivlik	
		Biokütlə çıxımına görə (kontrola görə %)	Liziszonasının diametrinə görə (mm)
Şalfey (1/10)	Bac.subtilus	27,6	14
	St.aureus	34,3	11
	Ps.aureginoza	25,4	17
	Ech. coli	23,2	19
	Candida alpicans	28,4	17
	Fuzarium oxysporum	29,8	16
	Aspergillus niger	21,3	19
	A.ochraseus	20,3	21
	Penicillium citrinum	18,9	22
	Penicillium cuclopium	17,2	23
Rozmarin (1/10)	Bac.subtilus	43,3	8
	St.aureus	39,5	12
	Ps.aureginoza	38,4	16
	Ech. coli	35,7	17
	Candida alpicans	32,1	12
	Fuzarium oxysporum	35,6	11
	Aspergillus niger	32,1	10
	A.ochraseus	34,8	16
	Penicillium citrinum	40,2	14
	Penicillium cuclopium	37,6	17
Boymadərən	Bac.subtilus	34,5	12
	St.aureus	32,2	13
	Ps.aureginoza	25,4	11
	Ech. coli	29,2	14
	Candida alpicans	21,4	15
	Fuzarium oxysporum	17,8	19
	Aspergillus niger	21,2	16
	A.ochraseus	22,3	17
	Penicillium citrinum	18,1	18
	Penicillium cuclopium	21,4	20
Kontrol		100	100

Cədvəl 3

Efiryagli bitkilərdən alınan efir yağlarının təmiz halda göbələk və bakteriyaların böyüməsinə təsiri

Kompozisiya	Test kulturalar	Aktivlik	
		Biokütlə çıxımına görə(kontrola görə %)	Lizis zonasının diametrinə görə (mm)
1	2	3	4
Şalfey	Bac.subtilus	1,2	31
	St.aureus	2,3	26
	Ps.aureginoza	2,4	25

1	2	3	4
Şalfey	Ech. coli	1,1	30
	Candida alpicans	0	27
	Fuzarium oxysporum	0	26
	Aspergillus niger	0	29
	A.ochraseus	0	31
	Penicillium citrinum	0	32
	Penicillium cyclopium	0	33
Rozmarin	Bac.subtilus	33,2	13
	St.aureus	29,3	17
	Ps.aureginoza	28,3	21
	Ech. coli	25,6	22
	Candida alpicans	12,2	18
	Fuzarium oxysporum	15,2	17
	Aspergillus niger	12,2	16
	A.ochraseus	14,4	22
	Penicillium citrinum	20,0	20
	Penicillium cyclopium	17,3	23
Boymadərən	Bac.subtilus	3,4	22
	St.aureus	3,2	23
	Ps.aureginoza	3,5	21
	Ech. coli	2,9	24
	Candida alpicans	0	32
	Fuzarium oxysporum	1,8	23
	Aspergillus niger	1,0	25
	A.ochraseus	0	29
	Penicillium citrinum	0	30
	Penicillium cyclopium	0	32
Acı yovşan	Bac.subtilus	-+	32
	St.aureus	0,3	28
	Ps.aureginoza	0,1	26
	Ech. coli	-+	32
	Candida alpicans	1,2	21
	Fuzarium oxysporum	2,2	20
	Aspergillus niger	2,4	22
	A.ochraseus	3,2	26
	Penicillium citrinum	1,7	27
	Penicillium cyclopium	0,8	28
Kontrol		100	0

Beləliklə, apardığımız tədqiqatlardan aydın olur ki, Azərbaycan florasına daxil olan bir sıra bitkilərdən alınan efir yağılarının bakterisid və fungisid aktivliyi onların komponent tərkibindən asılıdır və major komponenti timol olan efir yağılarının həm ayrılıqda, həm də digər tərkibli və mənşəli efir yağları, o cümlədən ağ naftalan yağı ilə kompozisiyada bakterisid və fungisid

xüsusiyyətləri daha yüksək kəmiyyət göstəricisi ilə xarakterizə olunur. Bu hal özünü Açı yovşan və Şalfeydən 1:1 nisbətində hazırlanan kompozisiyanın istifadəsi zamanı da bürüzə verir.

ƏDƏBİYYAT

1. Baxşəliyeva K.F., Mehdiyeva N.P., Namazov N.R. Campanula(C.Koch) Caradze bitkisinin antimikotik xüsusiyyətləri// AMEA-nın Mikrobiologiya İnstitutunun Elmi əsərləri. c.10, №2. Bakı,2012, s.192-194
2. Cahangirova İ, R., Sərkərov S.V. Gözəl telekiya – Telekia spciosa (Schreb.) Baumg. növündən alınan izoalantalaktonun antifunqal xüsusiyyətləri // AMEA-nın Botanika İnstitutunun Elmi əsərləri, c.XXXI. Bakı, 2011, s. 313-317
3. Cəbrayılzadə S.M. Mikrobiologiya. Bakı: Mütərcim, 2011, 214s.
4. Cəlilova S.Q. Bəzi efiryaglı bitkilərin mikobiotasi, bakterisid və fungisid xüsusiyyətləri. B.ü.f.d....dis.avtorefertai. Bakı, 2018, 24s.
5. Dəmirov İ.A., Şükürov D.Z. Azərbaycanın dərman bitkiləri. Bakı: Elm, 1974, 230 s.
6. Dəmirov Ə.İ., İsmayılov N.A., Kərimov Y.V., Mahmudov R.M. Azərbaycanın müalicə əhəmiyyətli bitkiləri. Bakı: Azərnəşr, 1988, 231 s.
7. Əliyev N. Azərbaycanın dərman bitkiləri və fitoterapiya. Bakı: Elm, 1998, 343 s.

РЕЗЮМЕ

**БАКТЕРИЦИДНЫЕ И ФУНГИЦИДНЫЕ СВОЙСТВА ЭФИРНОМАСЛИЧНЫХ РАСТЕНИЙ
И ИХ КОМПОНЕНТОВ, ОБЛАДАЮЩИХ ФАРМАКОЛОГИЧЕСКОЙ АКТИВНОСТЬЮ**
Namazov N.R.

Ключевые слова: микобиота, микотоксикоз, аллергия, частота встречаемости доминантных видов, аллергенные и условно патогенные грибы.

В результате проведенных исследований и информации полученной из литературы установлено, что растения с эфирными маслами являются одним из основных мест поселения микромицетов, в результате жизнедеятельности которых образуется ряд метаболитов, обладающих иногда большой токсичностью. Эти ядовитые вещества посредством мицелий грибов доходят до внутренних тканей растений, на которых поселяются. Поэтому необходимо исследовать микологическими методами видовой состав, развитие и распространение микробиот, поселяющихся на лекарственных растениях с эфирными маслами. С этой целью были исследованы микробиоты 101 вида лекарственных растений с эфирными маслами, входящими во флору Азербайджана.

SUMMARY

**BACTERICIDAL AND FUNGICIDAL PROPERTIES OF ESSENTIAL OIL PLANTS
AND THEIR COMPONENTS THAT HAVE PHARMACOLOGICAL ACTIVITY**

Namazov N.R.

Key words: mycobiota, mycotoxicosis, allergy, the frequency of occurrence of dominant species, allergenic and conditionally pathogenic types

As a result of research and information from the literature, it was found that plants with essential oils are one of the main places of settlement of micromycetes, as a result of which a number of metabolites are formed, which sometimes have a high toxicity. These toxic substances reach the internal tissues of plants on which they settle through the mycelium of fungi. Therefore, it is necessary to study the species composition, development and distribution of mycobiotes that settle on medicinal plants with essential oils using mycological methods. For this purpose, the microbiota of 101 species of medicinal plants with essential oils included in the flora of Azerbaijan were studied.

Daxilolma tarixi:	İlkin variant	04.11.2019
	Son variant	26.02.2020

UOT 575:631.527

BUĞDA-EGİLOPS HİBRİDLƏRİNDE QLİADİN ZÜLLALLARININ İRSİYYƏTİ

¹HƏSƏNOVA SÜDABƏ QƏŞƏM qızı

²VERDİYEVA QUMRU MURADXAN qızı

³HƏSƏNOVA SƏİDƏ QASIM qızı

1,2-Sumqayıt Dövlət Universiteti, dosent, baş müəllim

3-AMEA Genetik Ehtiyatlar İnstitutu, b.ü.f.d

hesenova63sudabe@gmail.com

Açar sözlər: qliadin zülalları, elektroforetik zülal komponentləri, komponentlər blokları, qliadin komponentləri, qliadin komponentlərinin irsiyyəti

Yüksəkkeyfiyyətli və məhsuldar taxıl bitkiləri almaq üçün müasir dövrdə biokimyanın, genetikanın, molekulyar biologianın müxtəlif metod və üsullarından seleksiya prosesində istifadə olunur.

Elektroforez, gelfiltrasiya, immunoelektroforez kimi bir sıra müasir metodlarla zülal molekullarını identifikasiya edərək, makromolekulların, o cümlədən genotiplərin müxtəlifliyi haqqında daha dəqiq məlumat əldə etmək olar. Belə ki, hər bir polipeptid onu kodlaşdırıran gen üçün marker ola bilər. Yumşaq buğdada dənin çörək keyfiyyəti, bərk buğdada isə makaron keyfiyyəti dənli bitkilərin ehtiyat zülalları olan qliadin və qlütenindən təşkil olunmuş kleykovina kompleksinin keyfiyyəti ilə təyin olunur. Ehtiyat zülallarının polimorfizminin öyrənilməsi bitkilərin genetikası və seleksiyası üçün çox əhəmiyyətlidir.

Tədqiqat işində bugda-egilops hibridlərinin biokimyəvi və texnoloji keyfiyyətləri öyrənilməklə yanaşı, ehtiyat zülalların elektroforetik komponentlərinin irsiyyəti öyrənilərək müəyyən olunmuşdur ki, morfologiyasına görə sabit olan bugda-egilops hibridləri elektroforetik spektrlərinə görə homogen və heterogendir. Valideynlərdən bəzi qrup zülal komponentləri bloklar şəklində nəslə keçmişdir. Hibridlərin ehtiyat zülalları komponentlərinin irsiyyətinin öyrənilməsi yumşaq buğdalara D genomunun egiloplardan keçməsi fikrini təsdiq etdi. Bugda-egilops hibridlərdə qliadinin komponent tərkibi və irsiyyəti. Tədqiqat zamanı bugda-egilops hibridlərinin elektroforetik zülal spektrləri valideynlərlə müqayisəli analiz edilərək, onların irsiyyəti öyrənilmişdir.

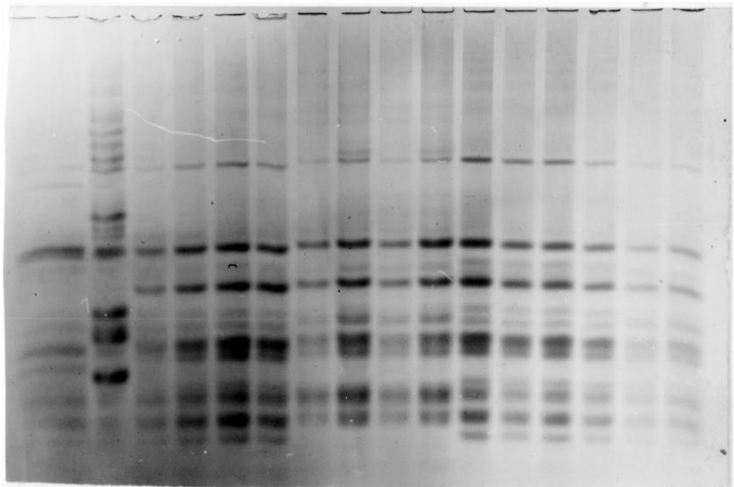
T.diccocum v.atratum x Ac.ovata hibrid kombinasiyasına daxil olan xətlərin spektrlərinin analizi göstərir ki, bu xətlər arasında öz EF spektrlərinə görə xətdaxili homogenlik və heterogenlik mövcuddur. (Şəkil 1).

Valideynlərdən bəzi komponentlərin qrup şəklində nəslə ötürüldüyü görünür. Lakin açıq tozlanma prosesində başqa valideynlərin də iştirak etdiyini ehtimal etmək olar.

Ayrı-ayrı xətlərin və ilkin valideyn formaların EF spektrlərinin müqayisəli analizi göstərir ki, valideynlərdən T.diccocum v.atratum və ayrı-ayrı xətlərdə α , ω , γ – zonalarda müəyyən oxşar qrup zülallar müşahidə olunur və bizə ehtimal etməyə imkan verir ki, onların arasındakı qohumluq əlaqələrini təsdiq edək. Məsələn, T.diccocum v.atratum və 1 №-li xəttin α – zonalarındaki komponentlərin hərəkəti eynidir.

Bərk buğdalarla aparılmış tədqiqat işləri [2] göstərib ki, bu zona komponentlərin sintezi 6A xromosomunda yerləşən qliadin lokusu tərəfindən tənzimlənir. 3 və 4 №-li hibrid xətlərində də 1 №-li xətdə olduğu kimi α zona (6A) *T.dicoccum v.atratum-a* oxşardır. Bu və ya digər xətlərdə müəyyən komponentlər ω -və γ -zonada bəzi komponentlər hər iki valideynlərdə mövcuddur. Lakin bu, o demək deyil ki, həmin komponentlər dəqiq olaraq bu valideynlərdən keçmişdir. Bu hibrid kombinasiyasından olan xətlərin müqayisəsi göstərir ki, onlar bir sıra qrup qliadin komponentlərinə görə bir-birinə oxşardır. Məsələn, 1 və 3 №-li xətlər arasında EF spektrlerinə görə heç bir fərq yoxdur.

Öyrənilmiş yumşaq və bərk buğdaların bütün xromosumlara görə çap olunmuş bloklarının kataloquna [2] əsasən ehtimal edə bilərik ki, α -zona komponentlərinin sintezi 6A xromosomu, β əsasən 6B, γ - 6B, 1A, 1B xromosomları, ω - isə 1A və 1B xromosomları tərəfindən tənzimlənir. Belə olan halda *T.dicoccum v.atratum x. Ae.ovata* hibrid kombinasiyasından olan xətlərin EF spektrlerin müqayisəsi analizinin nəticələrini aşağıdakı cədvəldə simvolik olaraq qruplara bölüb vermək olar.



Səkil 1. *T.dicoccum v.atratum x Ae.ovata hibrid kombinasiyasından olan xətlərin ayrı-ayrı dənlərinin qliadin elektroforetik spektrləri*

1 – *T.dicoccum v.atratum*

2 – *Ae.ovata*

3-6 – 1 №-li hibrid xəttinin nümunələri

7-10 – 2 №-li hibrid xəttinin nümunələri

11-14 – 3 №-li hibrid xəttinin nümunələri

15-16 – 4 №-li hibrid xəttinin nümunələri

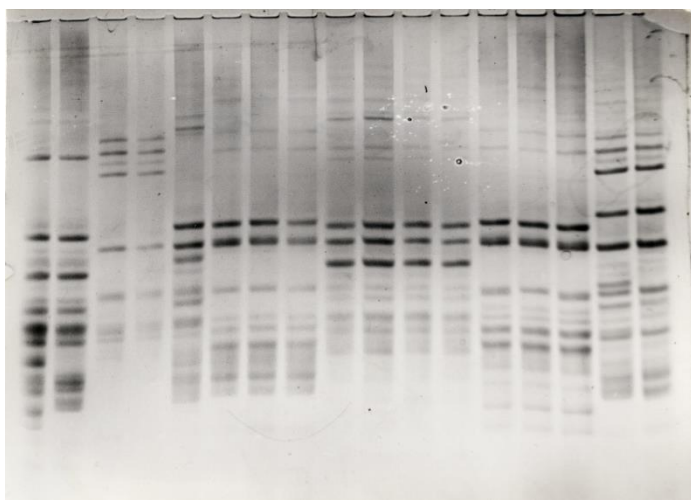
Cədvəl 1.

T.dicoccum v.atratum x Ae.ovata hibrid kombinasiyasından olan xətlərin ehtimal olunan xromosomlara görə qruplaşdırılması

Ehtimal olunan xromosomlar	Xətlər						
	1	2	3	4	5	6	7
I (1A)	1	1	1	1	2	3	3
II (1B)	1	1+2	1	1	3	4	4
III (6A)	1	2	1	1	3	2	2
IV (6B)	1	2	1	2	3	1	2

Rəqəmlərdə simvolik olaraq bloklar göstərilir. Cədvəldən göründüyü kimi, 1-ci xəttin qliadin qrupları 3-cü xətlə eynidir, 4-cü xətt isə bir qrup qliadin komponentlərinə görə 1 və 3 №-li xətdən fərqlənir. Ehtimal etmək olar ki, bu bir blokdur, 5 №-li hibrid xətti bütün qrup komponentlərinə görə digər xətlərdən az sayda isə γ -zona komponentləri iştirak edir. *Ae.ventricosa*-dan isə bu xətdə demək olar ki, heç bir komponent iştirak etmir. 9 №-li hibrid xəttində *T.durum v.leucurum*-dan α -zonada müəyyən komponentlər (6A xromosomu), *Ae.ventricosa*-dan isə D genomu tərəfindən nəzarət olunan bir sıra komponentlər iştirak edir.

Ae.ventricosa x Teyakan 60 hibrid kombinasiyasına daxil olan xətlərin EF spektrində valideynlərdən *Ae.ventricosa*-da D genoma xas olan γ -zonadakı yağılı komponent aydın görünür. Bu da onu sübut edir ki, bu xətlərdə D genom normal ekspressiya edir. Lakin *Ae.ventricosa*-da olan ω -zona qliadin komponentlərinin hibrid növlərdə olub-olmaması aydın deyil, çünki bu zonada başqa genomlara (A və B) xas olan qliadin komponentləri də spektrdə mövcuddur.



Şəkil 2. *Ae.ventricosa x Teyakan 60 hibrid kombinasiyasından olan xətlərin ayrı-ayrı dənlərinin qliadin elektroforetik spektrləri*
 1-2 – Teyakan 60
 3-4 – *Ae.ventricosa*
 5-8 – 18№-li hibrid xəttinin nümunələri
 9-12 – 19№-li hibrid xəttinin nümunələri
 13-15 – 20№-li hibrid xəttinin nümunələri
 16-17 – 21№-li hibrid xəttinin nümunələri

Teyakan 60-a xas olan iki yağılı komponentin (γ -zonada) 19-cu xətdə iştirak etdiyi görünür. Bu komponentlərin sintezinin 1B xromosomu tərəfindən nəzarət olunduğunu ehtimal etmək olar. 21№-li xətdə ω -zonaya (1 və 3 nümunələrdə) xas olan qliadin komponentlərinin iştirak etdiyi görünür.

Bələliklə, valideyn və hibridlərin elektroforetik spektrlərinin müqayisəli analizi göstərir ki, bir qrup qliadin komponentləri valideynlərdən nəslə ötürülmüşdür və hibrid xətlər arasında eyni bloklar müşahidə edilir.

Öyrənilən bütün hibrid kombinasiyalarının EF spektrinin analizi göstərir ki, valideynlərlə hibridlər arasında müəyyən oxşarlıq və fərq mövcuddur. Egiloplardan hibridlərə çox az miqdarda komponentlərin keçdiyini ehtimal etmək olar. *Ae.ventricosa* valideyn kimi iştirak edən xətlərdə D genomuna xas olan komponentlər qliadinin EF spektrində görünür.

Cədvəl 2.

Ae.ventricosa x Teyakan 60 hibrid kombinasiyasına daxil olan xətlərin ehtimal olunan xromosomlara görə gruplaşdırılması

Ehtimal olunan xromosomlar	Xətlər					
	18	19	20	21	22	23
I (1A)	1	2	1	3	4	1
II (1B)	1	2	1	3	1	3
III (1D)	1	1	1+2	1	2	1
IV (6A)	1	2	3	1+4	1	1
V (6B)	1	2	1	3+4	3	2+3
VI (6D)	1	2	1	3	3	1

Bələliklə, buğda-egilops hibridlərində qliadin EF spektrlərinin müqayisəli analizindən aşağıdakı nəticələr alınır:

1. Morfolojiyasına görə sabit olan buğda-egilops hibridləri EF spektrlərinə görə homogen və heterogendir.
2. Açıq tozlanma getdiyinə görə məlum valideynlərdən bəzi qrup zülal komponentləri bloklarla nəslə ötürülmüşdür. Digər blokların isə kənar (məlum olmayan) nümunələrdən keçdiyini ehtimal etmək olar.
3. Buğda-egilops hibridlərinin və valideynlərin EF spektrlərinin müqayisəli analizi yumşaq buğdalara D genomunun egiloplardan keçməsi fikrini təsdiq edir.

ƏDƏBİYYAT

1. Sozinov A.A. Polymorphism of proteins and its significance for genetics and breeding. M.: Nauka, 1985, 272p
2. Kudryavtsev A.M. Metakovskiy E.V., Upelniek V.P. Catalog of components blocks of gliadin chromosome 6A summer durum wheat // Genetics, 1987, v.23, №8, pp.1465-147
3. Рыбалка А.И., Созинов А.А. Картирование локуса контролирующего биосинтез запасных белков мягкой пшеницы // Цитология и генетика. т.13. № 4.1979, с.276-282
4. Попереля Ф.А. Полиморфизм глиадина и его связь с качеством зерна, продуктивностью и адаптивными свойствами сортов озимой мягкой пшеницы. М.: Агропромиздат, 1989, с. 138-149
5. Кудрявцев А.М. Внутрисортовая гетерогенность твердой пшеницы - важный компонент биоразнообразия вида // Генетика. т.42. № 10. 2006, с. 1208-1211
6. Sadigov, H.B. Genetic diversity of gliadin coding loci in local samples of tetraploid wheat ($2n = 28$) / International Conference "Diversity, characterization and utilization of plant genetic resources for enhanced resilience to climate change ". October 3-4, Baku, 2011, pp.191-193

РЕЗЮМЕ

НАСЛЕДОВАНИЕ ГЛИАДИНОВЫХ БЕЛКОВ В ПШЕНИЧНО-ЭГИЛОПСОВЫХ ГИБРИДАХ

Гасанова С.Г., Вердиева Г.М., Гасанова С.Г.

Ключевые слова: глиадиновые белки, электрофоретические белковые компоненты, блоки компонентов, компоненты глидиана, наследственность компонентов глидиана

В статье наряду с изучением биохимических и технологических качеств пшенично-эгилопсовых гибридов, была также изучена наследственность электрофоретических компонентов глиадиновых белков, и выяснено, что стабильные по своей морфологии пшенично-эгилопсовые гибриды, по электрофоретическому спектру являются гомогенными и гетерогенными. Некоторые группы белковых компонентов, в виде блоков, перешли от родителей к их потомству. Изучение наследования компонентов гибридных запасных белков подтвердило, что переход генома D в мягкие сорта пшеницы произошел из эгилопсов .

SUMMARY

INHERITANCE OF GLIADIN PROTEINS IN WHEAT-EGILOPS HYBRIDS

Hasanova S.Q., Verdiyeva Q.M., Hasanova S.Q.

Key words: gliadin proteins, electrophoretic protein components, components' blocks, gliadin components, the origin of gliadin components.

In the scientific work researched the wheat-egilops hybrids' biochemical and technological qualities, including the origin of the electrophoretic component of the storage proteins, and determined that the wheat-egilops hybrids, which are stable for morphology, are homogeneous and heterogeneous for their electrophoretic spectrum. Some of the parent's group protein components have passed through the form of blocks. Studying the inheritance of the components of hybrids of the storage proteins proves that the D genome passes through egilops to soft wheat.

Daxilolma tarixi:

İlkin variant

28.02.2019

Son variant

05.03.2020

ALİ TƏHSİL MÜƏSSİSƏLƏRİNĐƏ ELEKTRON SƏNƏDLƏRİNSTRUKTUR MODELİNİN İŞLƏNMƏSİ

¹RƏHİMÖV ŞƏFAHƏT RƏHİM oğlu

²MƏMMƏDOVA GÜLNARƏ ABDULLA qızı

Sumqayıt Dövlət Universiteti, 1-dosent, 2-baş müəllim

Shafahat_61@mail.ru

Açar sözlər: struktur model, qlobal şəbəkə, elektron sənəd, biliklər bazası, məntiqi ifadə, program təminati.

Dekanlıqlarda xarakterik mürəkkəbliyi ilə seçilən əsas problemlərdən biri də semestr müddətində tələbələrin məşğələ, kollokvium, laboratoriya, davamiyyəti üzrə gündəlik məlumatların toplanılması, sonda isə sərbəst iş ballarının da daxil edilməsi ilə imtahana giriş balının tapılması kimi tərtib olunan müvafiq sənədləşmə strukturlu formaların hazırlanmasıdır. Həmçinin kredit borcu olan tələbələrin alt qruplara, yaxud passiv qruplara daxil edilməsi və yaradılan yeni (alt və ya passiv) qruplarda tələbələrin yuxarıda qeyd olunan balların hesablanması kimi proseslərin cədvəl formalarının tərtibatı da sənədləşmə işlərini bir qədər də çətinləşdirir. Semestr ərzində hər bir fənn üzrə qiymətlər cədvəllərinin, şifrə (kod), imtahan vərəqələrinin adı qaydada tərtib olunması iterasiyalı proses olduğuna görə vaxt itkisinə səbəb olur. Tərtib olunan cədvəllərin bir-birindən asılılığı da hər hansı bir cədvəldə olan səhvin digər cədvəllərdə də təkrarlanması, hesablamların düzgün olmamasına gətirib çıxaracaqdır.

Dekanlıqlarda sənədləşmə işlərində vaxt itkisinin azaldılması və yarana biləcək səhvlerin dərhal aradan qaldırılması məqsədilə bu kimi proseslərin avtomatlaşdırılması üçün həm fərdi dekanlıqlar üzrə, həm də dekanlıqlar arası şəbəkə strukturunun işlənməsi zəruriyyəti yaranır.

Təklif olunan model dekanlıqlarda hazırlanacaq ümumi orta müvəffəqiyyət göstəricilərinin, imtahan vərəqələrinin və bu kimi elektron sənədlərinin avtomatlaşdırılmasını təmin edir. Tədqiq olunan həm fiziki, həm də məntiqi şəbəkə strukturu üçkomponentli (Ob, F, N) idarəetmə sistemidir. Burada Ob - tədqiq olunan obyektin adı, F - obyektlərarası əlaqələr, N - obyektlər üzrə müvafiq qərar qəbuletmə çoxluğudur.

Məlumdur ki, hər bir obyekt digərindən xarakterik parametrləri ilə fərqlənir. İlkən fərqləndirici verilənlər kimi (yəni Ob) ali məktəbə yeni daxil olmuş tələbələrin qrupunun adı (nömrəsi) göstərilir ki, qrupda olan tələbələrin sayına görə avtomatik olaraq cədvəl formalasdırılsın. Tələbələrin adları, soyadları və ata adları bu cədvəlin müvafiq sütunlarına daxil edilməklə, hər bir fakültənin dekanlıq adlı verilənlər bazası qurulur. Konkret olaraq hər bir dekanlığın birinci kurs tələbələr kontingentinin alt verilənlər bazası yaradılır. Dekanlıqlar üzrə yaradılan verilənlər bazası isə internet üzərindən qurulan ümumi verilənlər bazasında cəmlənir (şəkil).

Yeni formalasən qruplara verilən nömrələr və müvafiq qrup nömrələri üzrə daxil edilən tələbələrin siyahısı program strukturlu verilənlər bazasına əlavə edildikdən sonra verilənlər bazasında ilkin olan qruplara birləşdirilir.

Hər bir verilənin, o cümlədən tələbələrin siyahısının program strukturuna daxil olması üçün iki formadan istifadə olunur: cari və Word sənəd.

Cari formada informasiyanın mənbəyi istifadəçi olmaqla, giriş verilənləri olan tələbələrin siyahısı birbaşa programın idarəetmə strukturuna daxil edilir.

Əgər tələbələrin siyahısı vord sənəd formasında tərtib olunubsa, onda Word sənəddə verilən tələbələrin siyahı məlumatları xüsusi qurulan program modulunun icrası ilə program strukturunun tərkib idarəetməsinə aid olan verilənlər bazasına yüklenir.

Konkret qrup nömrəsi ilə əlaqələndirilən tələbələrin siyahısı olan giriş qiymətlərinin həm cari, həm də Word sənəd formasında daxil olması prosesi ümumi verilənlər bazasında YENİ QRUPALAR adlı verilənlər bazasını formalaşdırır.

Hər hansı texniki səbəbdən dekanlıqlararası qlobal şəbəkə üzrə informasiya mübadiləsində nasazlıq olarsa, onda struktur model prinsipi imkan verir ki, fərdi dekanlıqlar üzrə lokal şəbəkə rejiminə keçid etməklə informasiyanın daxil edilməsi və emalı, cari verilənlər bazasında isə modifikasiya olunan məlumatların saxlanılması kimi informasiya prosesləri icra olunsun. Proses müddətində qlobal şəbəkə üzrə nasazlıq aradan qaldırılsara, onda informasiyanın ötürülməsi və qəbulu kimi informasiya prosesləri icra olunmaqla, yalnız yeni və modifikasiya olunan məlumatlar ümumi verilənlər bazasına göndərilir və yaxud ümumi verilənlər bazasından lazımi informasiya oxunur.

Qurulan şəbəkə strukturunda hər bir dekanlıq digər dekanlıqla hansı informasiya mübadiləsi rejimində olmasını da reallaşdırı bilər.

Növbəti ildə avtomatik olaraq sonuncu kursda olan bütün qruplar arxivləşdirilməklə, birinci kurs tələbələri də daxil olmaqla, yuxarı kursların tələbələrinin qrup üzrə kurs nömrələri bir vahid (bir il) artırılır. Zəruriyyət olduqda arxivdə olan hər hansı qrupun informasiya məlumatlarına, qrupda olan tələbənin (yaxud tələbələrin) ümumi orta müvəffəqiyyət göstəricisinə, onun müvafiq fənn üzrə məşğələ və kollokvium qiymətlərinə, davamiyyət, laboratoriya, sərbəst iş, imtahana giriş, imtahan ballarına müraciət etmək və çapını da təmin etmək olar.

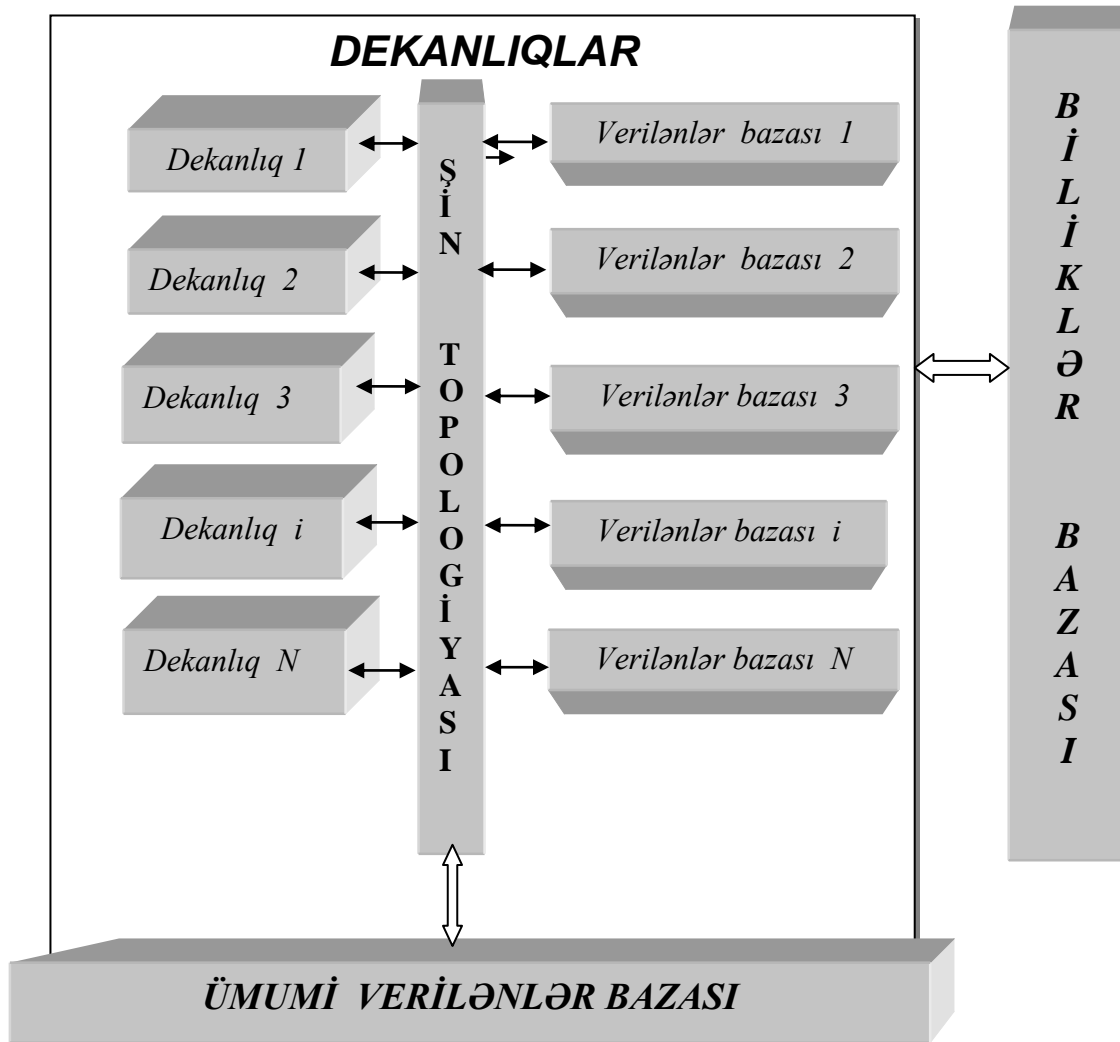
Elektron sənədlərin hazırlanması prosesinin avtomatlaşdırılmasının intellektual idarə olunması qurulan biliklər bazasında (şəkil) toplanılan xətti və budaqlanan strukturlu məntiqi ifadələrə (F) əsaslanır.

Biliklər bazasının tərkib hissələrindən olan xətti strukturlu $S_j = \sum_{i=1}^N K_i^j$ ifadəsində K_i^j komponenti j -ci semestr üzrə i -ci fənnə ayrılan kreditin miqdarını, S_{j-j} -ci semestr üzrə tədris olunan bütün fənlərə ayrılan kreditlərin cəmini, N isə j -ci semestrdə tədris olunan fənlərin sayını bildirir.

Tələbənin konkret olaraq j -ci semestr üzrə topladığı ballar cəmini $(BS_j)BS_j = \sum_{i=1}^N f_i^j \cdot K_i^j$ düsturu [2] ilə hesablamaq olar ki, burada da f_i^j - tələbənin j -ci semestr üzrə i -ci fəndən topladığı balı təyin edən funksiya olmaqla iki dəyişənlə xarakterizə olunur: $f_i^j(g_i^j, r_i^j)$. Burada g_i^j - tələbənin j -ci semestr üzrə i -ci fəndən gündəlikdə, r_i^j - isə imtahanda topladığı baldır. Sistemin intellektual idarə olunması biliklər bazasında qurulan

$$\begin{aligned} & \text{əgər } \{ \\ & (r_i^j < 17) \\ & \quad \text{və ya} \\ & (r_i^j + g_i^j \leq 50) \\ & \quad \} \\ & \quad \text{onda} \\ & \quad \{ \quad f_i^j = 0 \\ & \quad \} \\ & \text{əks halda} \\ & \quad \{ \quad f_i^j = g_i^j + r_i^j \\ & \quad \} \end{aligned}$$

budaqlanan strukturlu [3] məntiqi ifadənin tətbiq edilməsidir.



Səkil. Dekanlıqlararası struktur model

Hər bir tələbənin ümumi orta müvəffəqiyyət göstəricisi (ÜOMG) isə $\text{ÜOMG} = \frac{\text{BS}_j}{\text{S}_j}$ şəklində hesablanır [2].

Fənlər üzrə verilən ümumi saatə görə isə məşğələ, laboratoriya saatları formalaşır və hər bir fənnin məşğələsinə, laboratoriyasına və ya sərbəst işinə ayrılan maksimal balların avtomatik bölüsdürülməsi üçün biliklər bazasında

```

əgər {
  ( məşğələ saatı ≠ 0 )
    və
  ( laboratoriya saatı ≠ 0 )
}
onda
{
  ( maksimal davamiyyət balı = 10 )
  ( maksimal məşğələ balı = 15 )
    ( maksimal laboratoriya balı = 15 )
    ( maksimal sərbəst iş balı = 10 )
}

```

məntiqi qərar qəbuletmə strukturu qurulur ki, bu da tələbələrin semestr ərzində gündəlikdə və kollokviumda topladığı qiymətlər əsasında avtomatik olaraq yekun məşğələ balını təyin edir.

Göstərilən $\{ (\text{məşğələ saatı} \neq 0) \text{ və } (\text{laboratoriya saatı} \neq 0) \}$ məntiqi ifadəni M_1 ilə ifadə etsək, $M_1 = \text{yalan (false)}$ qiyməti üçün

$$M_{11} = \{ (\text{məşğələ saatı} \neq 0) \text{ və } (\text{laboratoriya saatı} = 0) \}$$

$$M_{12} = \{ (\text{məşğələ saatı} = 0) \text{ və } (\text{laboratoriya saatı} \neq 0) \}$$

$$M_{13} = \{ (\text{məşğələ saatı} = 0) \text{ və } (\text{laboratoriya saatı} = 0) \}$$

məntiqi ifadələrini yaratmaq olar. Nəzərə alsaq ki, bütün şərt daxilində maksimal davamiyyət balı 10-dur, onda davamiyyət balını qlobal dəyişən kimi ifadə etməklə,

əgər $\{ M_{11} \}$

onda

{

(maksimal məşğələ balı = 30)

(maksimal sərbəst iş balı = 10)

}

əgər $\{ M_{12} \}$

onda

{

(maksimal laboratoriya balı = 30)

(maksimal sərbəst iş balı = 10)

}

əgər $\{ M_{13} \}$

onda

{

(maksimal sərbəst iş balı = 40)

}

idarəetmə sistemini yaratmaq olar. Yaradılan $\{ \text{əgər - onda} \}$ məntiqi strukturun tətbiqi ilə həmçinin tələbənin semestr ərzində davamiyyət balı, laboratoriya balı və sərbəst iş balı da avtomatik hesablanmaqla, yekunda cədvəl üzrə imtahana giriş balı formalaşır.

Aktiv qrupun tələbələrinin semestr müddətində gündəlik məşğələ və kollokvium qiymətləri, verilən laboratoriya işlərinin sayı, sərbəst iş balları daxil edildikdə avtomatik olaraq şifrə (kod), imtahan cədvəllərinin (imtahan vərəqələrinin) elektron forması hazırlanır. Yəni struktur modelin üçüncü (sonuncu) olan qərar qəbuletmə (N) komponentinin icrası aparılır. İntellektual qərar qəbuletmədə $N = \{ N_0, N_1, N_2, N_3, N_4, N_5 \}$ komponentinin struktur forması

əgər deyilsə

$$\{ (r_i^j < 17) \text{ və ya } (r_i^j + g_i^j \leq 50) \}$$

onda {

$$f_i^j = g_i^j + r_i^j;$$

$$f_i^j \leq 60 ; N_1 = \text{"qənaətbəxş"}; \quad \text{çıxış};$$

$$f_i^j \leq 70 ; N_2 = \text{"kafî"}; \quad \text{çıxış};$$

$$f_i^j \leq 80 ; N_3 = \text{"yaxşı"}; \quad \text{çıxış};$$

$$f_i^j \leq 90 ; N_4 = \text{"çox - yaxşı"}; \quad \text{çıxış};$$

$$f_i^j \leq 100 ; N_5 = \text{"əla"};$$

}

şəklindədir.

Qeyd edək ki, davamedici fənn üzrə tələbənin kredit borcu varsa və ya tələbə semestr üzrə fənnə ayrılan ümumi saat miqdarının 25%-indən çoxunda iştirak etməyib, onda $f_i^j(g_i^j, r_i^j) = 0$ qəbul olunur. Yəni $N_0 = \{ \text{"Kredit borcu var"} \}$ və ya $N_0 = \{ \text{"Buraxılmır"} \}$ qiymətlərindən birini alır.

Cədvəl 1.

Nömrə	Soy ad, Ad və Atla adı	Məslisi dəvam bali	Fənnənən ayınan saat	Buraxılsız saat	Fəzil brix. saat	Davamı bali	Məşhur saat	Məşhur saat	Məşhur saat	Məşhur saat	Kol_1	Kol_2	Kol_3	Orta məşhur saat	Maks. labr bali	Maks. labr bali	Maks. labr bali	Maks. labr bali	Veri sayı	Orta lab. saat	Tələb lab. saat	Sart lab. saat	Cəmi bali				
1	Cəfərov Emil Rövşən	10	75	10	13,33	9	15	30	8	7	7	9	9	8	9	9	8,25	12	15	5	4	12,00	12	10	43		
2	İsayevə Cəfər Elşad	10	75	6	8,00	9	15	30	8	7	7	8	7	7	6	6	7,11	11	15	15	5	3	9,00	9	8	37	
3	Mövsümov Tərəne Səhib	10	75	10	13,33	9	15	30	6	6	6	7	5	5	5	5	5,75	9	15	15	5	5	15,00	15	9	42	
4	Hakimli Tərəna Məmməd	10	75	26	34,67	7	15	30	6	6	7		4	5	6	5,67	9	15	15	5	2	6,00	6	9	31		
5	Həsənov İlqar Oktay	10	75	0	0,00	10	15	30	6	5	6	6	1	4	4	4,57	7	15	15	5	5	15,00	15	8	40		
6	Hüseynli Hüseyin Mikayıllı	10	75	12	16,00	8	15	30	6	5	6	7	3	4	5	5,44	8	15	15	5	4	12,00	12	9	37		
7	İsayeva Səltənat Kənan	10	75	0	0,00	10	15	30	6	6	6	7	5	6	7	6,12	9	15	15	5	5	15,00	15	9	43		
8	Əliyev Əli Samir	10	75		5,33	9	15	30										15	15								
9	Mövsümov Kənan Teymurşah	10	75	4	5,33	9	15	30	6	6	5	7	7	6	6	7	6,25	9	15	15	5	4	12,00	12	9	39	
10	Nəcafova Ayınur Bayar	10	75	8	10,67	9	15	30	6	6	6	6	5	5	5	5,62	8	15	15	5	4	12,00	12	9	38		
11	Nasirov Ravan Ələsgər	10	75	4	5,33	9	15	30	6	6	5	6	3	4	6	5,12	8	15	15	5	5	15,00	15	8	40		
12	Qarayeva Ceyran Eşən	10	75	2	2,67	10	15	30	6	6	6	7	6	5	6	6,11	9	15	15	5	5	15,00	15	9	43		
13	Rəhimova Eləne Turan	10	75	12	16,00	8	15	30	4	2	5	4	0	2	2	2,67	4	15	15	5	5	15,00	15	5	32		
14	Rüstəmov Rahim Asif	10	75	8	10,67	9	15	30	6	6	6	6	5	5	4	5,50	8	15	15	5	4	12,00	12	5	34		
15	Şirinov Orxan Polad	10	75	8	10,67	9	15	30	6	4	5	5	6	7	3	4	6	5,11	8	15	15	5	4	12,00	12	8	37
16	Atatdinov Əli Zəmən	10	75	2	2,67	10	15	30	7	6	6	7	8	5	7	6	6,40	10	15	15	5	4	12,00	12	10	42	
17	Vəliyev Yusif Samir	10	75	2	2,67	10	15	30	6	6	5	6	6	3	3	5,12	8	15	15	5	4	12,00	12	7	37		
18	Xidirov Rəməzən Anar	10	75	2	2,67	10	15	30	6	6	7	7	8	5	5	7	6,40	10	15	15	5	4	12,00	12	9	41	
19	Abbasov Əhiliman Ədalət	10	75	16	21,33	8	15	30	5	6	5	6	4	3	5	5,00	8	15	15	5	4	12,00	12	8	36		
20	Təğıyev Vüqar Fəzli	10	75	8	10,67	9	15	30	6	5	5	6	5	5	5	5,56	8	15	15	5	5	15,00	15	6	38		
21	Mirzəyev Ağail Ağaməli	10	75	6	8,00	9	15	30	6	5	5	6	4	3	5	5,11	8	15	15	5	5	15,00	15	7	39		
22	Hüseynov Turan Ceyhun	10	75	16	21,33	8	15	30	6	6	6	7	6	6	6	6,00	9	15	15	5	5	15,00	15	8	40		

Nömrə	Soy ad, Ad və Ata adı	Davamçı iş	Sərbər iş	Məşğ	Laboratc işi	Kurs işi	CƏMI	İMTAHAN BALI	Cəmi bal	YEKUN BAL	Balın harfi işarəsi	Topladığı kredit
							CƏMI	İMTAHAN BALI		Cəmi bal		
1	Cəfərov Emil Rövşən	9	10	12	12	43	48		91	91A	Əla	6
2	İsayeva Cəfər Elşad	9	8	11	9	37	36		73	73C	Yaxşı	6
3	Mövsumov Tərəne Sahib	9	9	9	15	42	43		85	85B	Çox-yaxşı	6
4	Həkimli Tərəna Məmməd	7	9	9	6	31	BURAXILMIR				0	
5	Hasanov İqar Oktay	10	8	7	15	40	37		77	77C	Yaxşı	6
6	Hüseynli Hüseyin Mikayıllı	8	9	8	12	37	36		73	73C	Yaxşı	6
7	İsayeva Səltənat Kənan	10	9	9	15	43	38		81	81B	Çox-yaxşı	6
8	Əliyev Əli Samir					KREDİT BORCU VAR					0	
9	Mövsumov Kənan Teymurşah	9	9	9	12	39	41		80	80C	Yaxşı	6
10	Nəcəfova Aynur Bayılər	9	9	8	12	38	18		56	56E	Qənaatbaxş	6
11	Məsirov Rəvan Ələsgər	9	8	8	15	40	36		76	76C	Yaxşı	6
12	Qarayeva Ceyran Elşən	10	9	9	15	43	28		71	71C	Yaxşı	6
13	Rəhimova Eləna Turan	8	5	4	15	32	16		32	32F	Qeyri-kafı	0
14	Rüstəmov Rəhim Asif	9	5	8	12	34	17		51	51E	Qənaatbaxş	6
15	Şirinov Orxan Polad	9	8	8	12	37	25		62	62D	Kafı	6
16	Atatdinov Əli Zaman	10	10	10	12	42	37		79	79C	Yaxşı	6
17	Valiyev Yusif Samir	10	7	8	12	37	19		56	56E	Qənaatbaxş	6
18	Xidirov Ramazan Anar	10	9	10	12	41	42		83	83B	Çox-yaxşı	6
19	Abbasov Əhiliman Ədalət	8	8	8	12	36	27		63	63D	Kafı	6
20	Təğıyev Vüqar Fəzli	9	6	8	15	38	36		74	74C	Yaxşı	6
21	Mirzəyev Ağçəli Ağaməli	9	7	8	15	39	19		58	58E	Qənaatbaxş	6
22	Hüseynov Turan Ceyhun	8	8	9	15	40	37		77	77C	Yaxşı	6

Tətbiq olunan {{ **əgər - onda** } və { **əgər deyilsə - onda** } } intellektual prinsip əsasında avtomatik olaraq qruplar üzrə hər bir fənnin yekun imtahan qiymətlər cədvəlinin və digər sənədlərin elektron formaları hazırlanır (cədvəl 1, cədvəl 2).

Struktur modelin C# (si şarp) alqoritmik dilində hazırlanan program təminatı Sumqayıt Dövlət Universitetinin dekanlıqlarında uğurla tətbiq olunur.

ƏDƏBİYYAT

1. Андрейчиков А.В., Андрейчикова О.Н. Интеллектуальные информационные системы. М.: Финансы и статистика, 2004, 424 с.
 2. Kredit sistemi ilə təhsil alan tələbələrin biliyinin qiymətləndirilməsi haqqında ƏSASNAMƏ. <http://edu.gov.az/upload/file/kredit-sistemi-qiyemet-esasname.pdf>
 3. Rəhimov S.R. İnformatika və programlaşdırma dilləri. Dərs vəsaiti. Sumqayıt: SDU, 2016, 340 s.

РЕЗЮМЕ

РАЗРАБОТКА СТРУКТУРНОЙ МОДЕЛИ ЭЛЕКТРОННЫХ ДОКУМЕНТОВ В ВУЗАХ РЕГИОНА

Разумов И.Р., Мамедова Г.А.

Ключевые слова: структурная модель, глобальная сеть, электронный документ, базы знаний, логическое выражение, программное обеспечение.

В данной статье предложен алгоритм автоматизации процессов оформления документов в высших учебных заведениях с использованием структурной модели для проектирования электронных форм. Для автоматизации процесса подготовки к экзамену, который входит в процесс документирования, определяется принцип структуры сети и устанавливается соответствующая структурная модель. Электронные версии предметных оценок, шифров (кодов), экзаменационных листов автоматически создаются и документируются как непосредственно, так и в диалоговом режиме на основе предлагаемой структуры сети и программного обеспечения для структурированного моделирования. Так же возможны выполнить сетевую печать соответствующих документов.

SUMMARY

SUMMARY DEVELOPING STRUCTURAL MODEL OF ELECTRONIC DOCUMENTS IN HIGHER EDUCATION INSTITUTIONS

Rahimov Sh R Mammadova G A

Keywords: structural model, global network, electronic document, knowledge base, logical expression software

In the present paper, an algorithm of automation for document organisation in the faculties of any education institutes with the use of a structural model is proposed. To automate the process of exam preparation which is included into the process of documentation, the principle of the network structure is defined and the appropriate structural model is established. On the basis of the proffered network structure and software of the structure model, subject tables of the marks, codes, forms of exam sheets are prepared. Also there is a possibility to print the corresponding documents at network.

Daxilolma tarixi: İlkin variant 14.06.2019
Son variant 23.01.2020

UOT62.50(075.08)

DETERMINATION OF “BLACK BOX” TYPE MODEL BASED ON NT OF OBJECTS WITH UNCERTAINTY AND INTELLIGENT CONTROL

ALIYEVA ADILE SAYEDDIN

Institute of Control System of ANAS, Baku, Azerbaijan

c_adile@yahoo.com

Key words: dynamic object with uncertainty, mechatronic device, “black box” type model, neural network (NN), the learning algorithm of NN in “offline” mode.

Under measurable conditions (observability) of input and output phase variables and their derivatives the identification-determination problem of a “black box” type model for non-linear dynamic object with uncertainty have been stated and solved in the paper. The “black box” type model of identification system has been proposed on the basis of a neural network. The structure of the neural network, the number of neurons and their activation functions, as well as the learning algorithm of neural network have been determined. The experimental studies conducted in MATLAB have shown that the developed black box-type neural network can be used in the synthesis of an intelligent automatic control system by a mechatronic device. The technical realization of the proposed intelligent ACS with a fuzzy regulator can be adapted in “offline” mode using the “black box” type neural network model.

1. Introduction. In a number of technological processes, the mechatron and robotic devices with different uncertainty and they work on intensive operative mode. In the control system of such objects quality requirements (such as dynamic accuracy, durability) are tightened. Therefore, when control system of the objects are designed, obtaining "a priori" and "aposterior" information about the object is actual issue.

For the formulation and analytical solution of synthesis problem for the automatic control system (ACS), it is important to know any model of dynamic objects with uncertainty, such as, mathematical structure and the values of parameters[1-2,9].

Mathematical models-differential equations of several technical objects like robotics, drones, mechatronic devices could be determined according to electrotechnics, mechanics-such as Euler-Newton and Lagrange-Euler approach. But according to existing approach designed mathematical models have enough nonlinearity and uncertainties or nonstationarity [3,4,7]. Control systems that have the ability to change object parameters should be intellectual or adaptive. Adaptive control system controllers should be adapted according to object information in either online or offline mode through the correction of the adjustment parameters. In such systems, to ensure optimization of control system and its steadiness, computer simulation of intelligent ACS by using –application of existing tools is important issue and its effective solution is actual.

In view of the above mentioned, in the article, the determination of the structure and parameters of mathematical model based on Neural Network of “black box” model and design of its intelligent ACS is discussed.

2. Modeling of dynamic objects with uncertainty based on neural technology.

Mathematical Modeling of uncertain dynamic objects (determination of the selected structure differential equation parameters) was discussed in [1,5,8] only when inputs and outputs of state variables are observed. Here, parametric identification has been proved by using m-th transformations of input and output signals (variables), however issue of vector input and output was not investigated. In addition, in [1,5,8] works to improve accuracy the computer simulation in “offline” mode was not discussed.

Let us assume that, it is possible to express the movement of uncertain dynamic object via the nonlinear and unsteady n-th order differential equation, i.e.

$$\dot{\mathbf{x}}(t) = \mathbf{f}(\mathbf{a}(t), \mathbf{x}(t), \mathbf{u}(t)), \quad \mathbf{x} \subset \mathbf{R}^n, \mathbf{u} \subset \mathbf{R}^m \quad (2.1a)$$

Here, $\mathbf{x}(t)$, $\mathbf{u}(t)$ -are n dimensional state variables and $m(m \leq n)$ -dimensional input control vector (controlling effects vector), $\mathbf{a}(t)$ – nonstationary unknown parameters vector of uncertain dynamic object, \mathbf{f} - functions with uncertain structures.

In the most identification method of dynamic objects $\mathbf{f}(\cdot)$ structure of (2.1) mathematical model is accepted as the total sum of certain functions (for example, linear and nonlinear functions) [1-8]. If initial information and investigations about dynamic objects is not sufficient and the structure of identified mathematical model is not selected by the right way (sufficiently selected), then the solution for the synthesis of control will be complex and inefficient [3]. In case lack of information in dynamic objects with uncertainty, in order to solve synthesis problem of intelligent control system, determination of the mathematical model of the object is more effective due to application of new information technology based on Neural Network Toolbox [3]. However, as in [3], identification based on Neural Network (NN) is not defined with $\mathbf{a}(t)$ parameters due to the difference between $n - 1$ and m traits, it is directly defined with $\mathbf{x}(t)$ output state variables of the object. In other words, output of the “black box” model object is identified in Neural Network.

Real dynamic model of the object (2.1a) could be described as formal reduction form, i.e.

$$\mathbf{x}(t) = \mathbf{F}(\mathbf{a}(t), \dot{\mathbf{x}}(t), \mathbf{u}(t)), \quad \mathbf{x} \subset \mathbf{R}^n, \mathbf{u} \subset \mathbf{R}^m \quad (2.1b)$$

Let us assume that, the mathematical model of “black box” type object based on neural network could be defined by NN with l intermediate layers through the each i -th input-output channel:

$$x_{Ni} = \phi_i(w_{ij}, \dot{x}(t), \mathbf{u}(t)), \quad w_{ij} \in W_{ij}, i = \overline{1, n-1}, j = \overline{1, l}, \quad (2.2a)$$

or

$$\mathbf{x}_N = \phi(\mathbf{w}, \dot{\mathbf{x}}(t), \mathbf{u}(t)), \quad \mathbf{w} \in \mathbf{W} \quad (2.2b)$$

Here $w_{ij} \in W_{ij}$, $i \in [1, n-1]$, $j \in [1, l]$, i -th are connection weight of the neurones in the l -th intermediate layers and can get values in the W_{ij} region.

The problem of defining the model of nonlinear dynamic object with uncertainty as a “black box” (neural network) can be formulated as follows:

It is needed to define “black box” model with NN of the object which is observed (measured) all state variables of real dynamic object $\mathbf{x}(t) = [x_1(t), x_2(t), \dots, x_n(t)]$ and $\mathbf{u}(t) = [u_1(t), u_2(t), \dots, u_m(t)]^T$ input effects, i.e. as (2.2) model, that the square of the difference (error) between outputs of NN and of the real object (state variables) should be minimum for $t_k = T_0 k$ ($T_0 = \text{const}$, $k = 1, 2, 3, \dots, K$):

$$\begin{aligned} \mathbb{E} &= \frac{1}{2} \sum_{k=1}^K (E^k)^2 = \frac{1}{2} \sum_{k=1}^K [\mathbf{x}(t_k) - \mathbf{x}_N(t_k)]^2 = \\ &= \frac{1}{2} \sum_{k=1}^K \sum_{i=1}^{n-1} [x_i^k - \phi_i(w_{ij}, \dot{x}_i^k, u^k)]^2 \rightarrow \min \end{aligned} \quad (2.3)$$

If one model, i.e. $i = 1$, is enough and if possible value-accuracy of error ε is given, then for (2.3) optimization could be satisfied that $\lim_{k \rightarrow \infty} \frac{1}{2} \sum_{k=1}^K (E^k)^2 = \varepsilon$ is less.

The modeling system as “black box” of the nonlinear dynamic object with real uncertainty based on NN could be described as Figure 2.1:

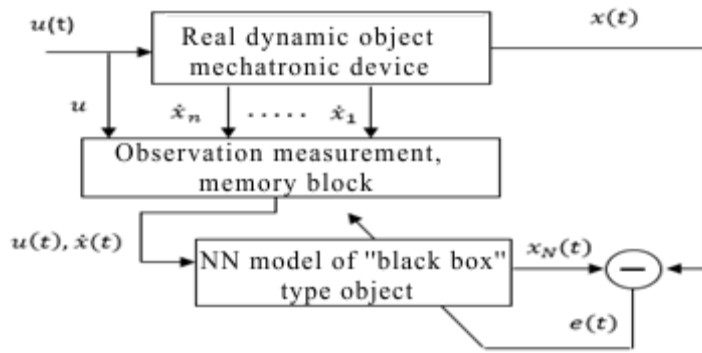


Figure 2.1. The modeling structure of modeling system as “black box” based on NN of the nonlinear dynamic object with real uncertainty which state variables are observed

The solution of above formulated identification issue is $x_N = \phi(w, \dot{x}, u)$ function. These solutions are known as input-output pairs $(x^1, x_N^1), (x^2, x_N^2), \dots, (x^K, x_N^K)$ (formulated from the measurements). Identification process, i.e. NN training directly synthesizes such $\phi(\cdot)$ function, that could be close to $F(\cdot)$ function realized by the object. Thus, training Neural Networks is becoming multi-dimensional optimization issue.

3. Solution of the identification issue for the nonlinear dynamic object with uncertainty based on NN

Since (2.3) function could be arbitrary, in general training Neural Network is multiextremal nonconvex optimization issue. A number of iterative algorithms can be used to solve the above-mentioned (2.3) optimization problem [3]. Currently the most widely used method of NN training (minimizing the mean square (quadratic) error - (2.3) function) is an iterative gradient algorithm.

This training algorithm, mentioned in most scientific literature, is known as error back propagation [3]. So, we consider, there is no need to give an explanation on error back propagation method. However, according to Figure 2.1 for the mechatronic device realization based on Neural Networks Toolbox the identification of the nonlinear dynamic object with uncertainty as above formulated “black box” to provide “M” language program of MATLAB and training procedures with an explanation as follow is considered purposeful.

P = [X] = [sX₂; sX₁; U]; - observational matrices of all state variables of the dynamic object, i.e. inputs of NN.

T = [Y] = [X₁]; - observational matrices of output variables x_1^k, \dots, x_N^k , $(k = \overline{1, K};$ such as $K = 4000$, the researcher selects $)$ of the real object-mechatronic device.

net = newff(minmax(P), [300, 300, 1], {'tansiq', 'logsiq', 'purlin', 'traingd'});

Creation and training of appropriate transmission functions 'traingd' of NN (NN with appropriate transmission functions 'tansiq', 'logsiq', 'purlin') by name d with 3 layers-300 neurones in two layers, one neuron in output layer (note: number of neurons, etc. parameters are given iteratively by the researcher).

net.trainParam.show = 50; - from one of the fifty examples Param, i.e. x_N^k should be shown (defined heuristically by the researcher).

net.trainParam.goal = 0.001; - the value of accuracy omission error of the NN training (selected by the researcher).

net.trainParam.epoch = 2000; - Circulation of NN training- 'epocha' (number of cycles, the researcher chooses).

net = train(net, P, T); - Launching NN training procedure.

view(net); - automatic installation of a “black box” model object in the Simulink and description of the flow chart(See Figure 3.1.).

gensim(net);yaxuddisplay(net)-Description of information on NN in MATLAB:-method of training (for example, "Gradient Decent"), criteria ("mse"), number of iterations ("epoch") and other information (See Figure 3.1.)

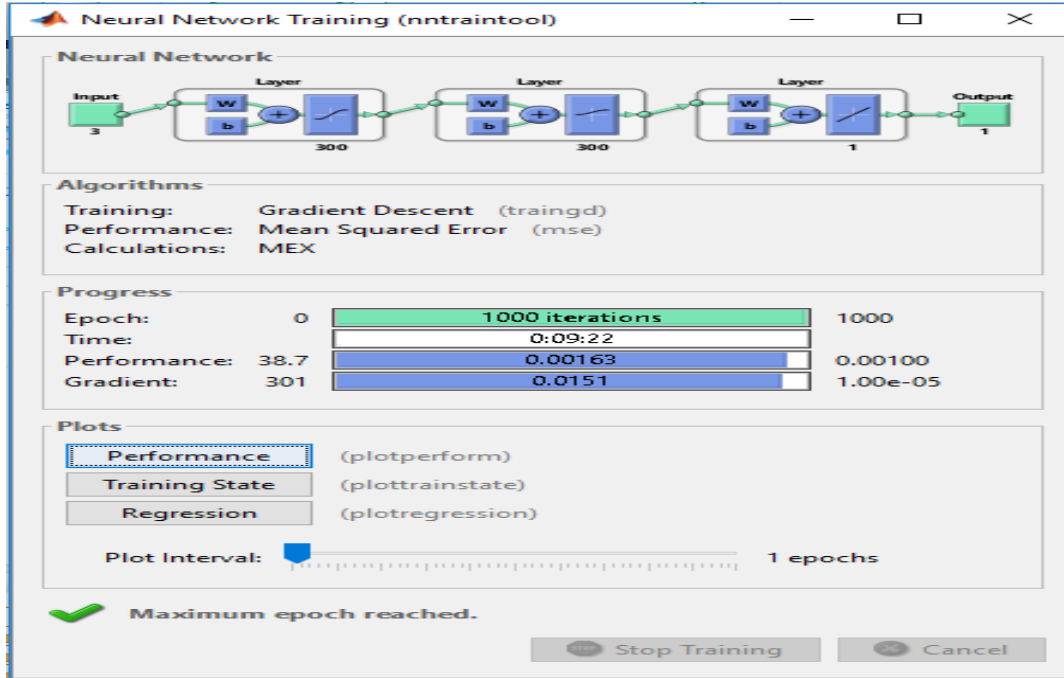


Figure 3.1. Description of the parameters of the training (object identification) of the information in the NNToolbox in Matlab - information description

Dependence of the training error on the number of iterations (the "epoch"), the intended target - the "thousand" value of the error (a), and the description of the "black box" in the Simulink as subsystem (b) was given in Figure 3.2.

After the training of NN graph of its outputs $x_N(t) = x_N(kT_0) = x_N^k$, $k = \overline{1,4000}$, $T_0 = 0.01s$ and the transition processes of the real object ($x(t) = x^k$, $k = \overline{1,4000}$, $T_0 = 0.01s$) (a, b), as well as, for values of its derivatives \dot{x} , \dot{x}_N (c,d,) and input- control effects $u(t) = 1[t] = 1[kT_0]$ was shown in Figure 3.3.

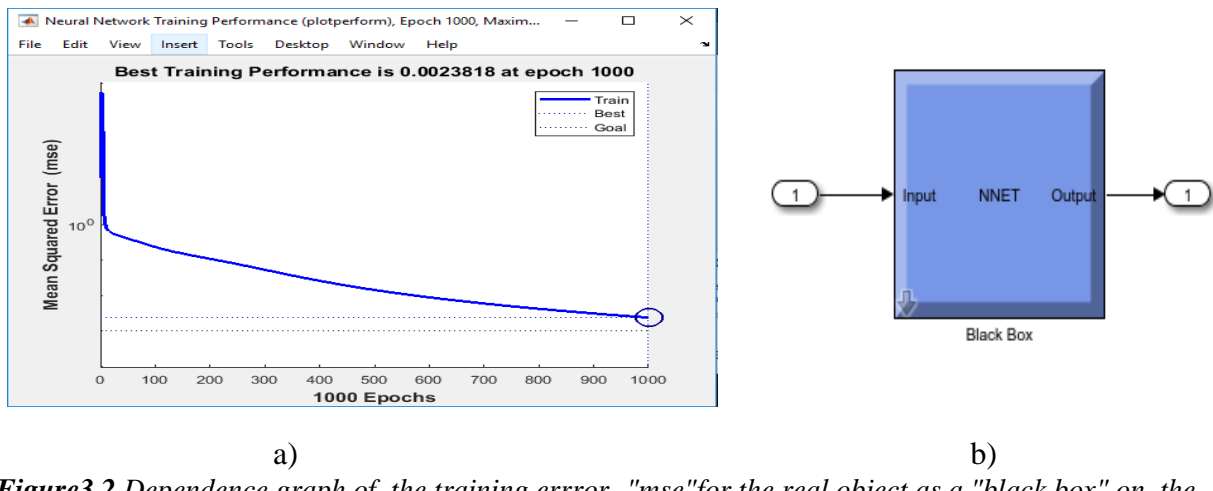
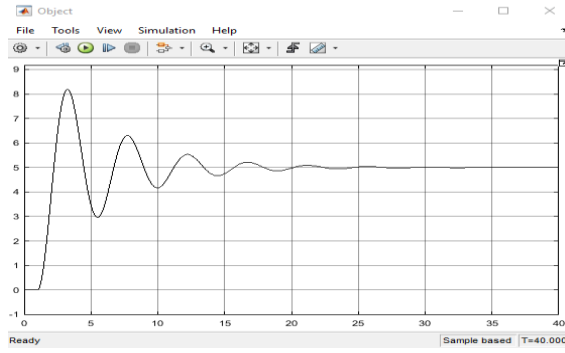


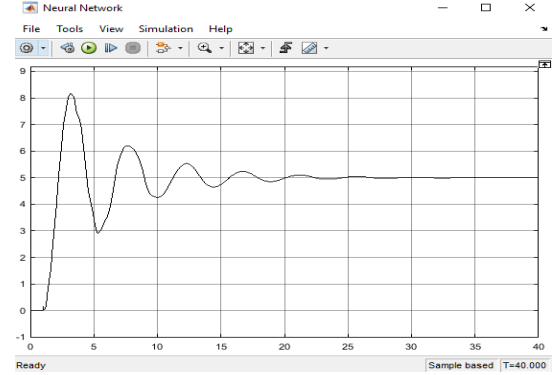
Figure3.2. Dependence graph of the training error- "mse"for the real object as a "black box" on the number of "epochs" (a) and description of NN in Simulink as a subsystem (b)

According to comparative analysis of the transient processes in Figure 3.3, $x_N(t)$ -NN output and $\dot{x}(t)$ derivative is exactly same as nonlinear dynamic object with uncertainty, i.e. $x(t) \cong x_N(t), \dot{x}(t) \cong \dot{x}_N(t)$. Thus, the possibility of using the trained NN (“black box”model of the real dynamic object) in the “offline” mode for the nonlinear dynamic object has been confirmed.

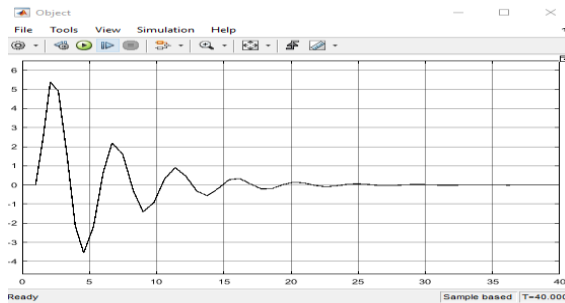
Note 1: The above, designed software in the “M” language of MATLAB is stored under a certain name, such as d (see 3-rd operator). For this purpose “Save” order should be carried out in “File”menu.



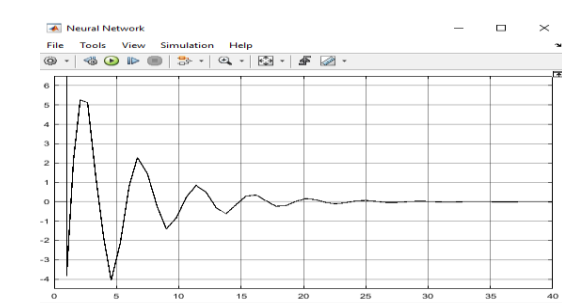
a)



b)



c) derivative of the object output



d) derivative of the NN output

Figure 3.3. Transition processes of the dynamic object (a,c) and outputs of “black box” model NN (b, d)

4. Synthesis and technical realization of the intellectual regulator for the nonlinear dynamic object with uncertainty

Since, above , for example, in “offline” mode of the mechatronic device in $t \in [0, T]$ time interval and quasilization conditions are compensate, state variables $-x(t)$ and derivatives $-\dot{x}(t)$ are measurable the identification with high accuracy of the “black box” model nonlinear dynamic object with uncertainty based on NN has been confirmed. That is why, under quasilization conditions using “black box” model the synthesis of intelligent (for instance, adaptive fuzzy or neurone) controller in “offline” mode is possible [3,4,7-9]. Intelligent controller synthesized in “offline” mode, i.e. identified structure and parameters is put into operation. Identification is carried out In the operating mode via forming file data- matrices by measuring input $u(t)$ and output variables $x(t) = [x_1(t), x_2(t), \dots, x_n(t)]^T$, $\dot{x}(t) = [\dot{x}_1(t), \dot{x}_2(t), \dots, \dot{x}_n(t)]^T$. According to computer simulation of ACS quality of control (for example variables of error $e(t) = x(t) - x_N(t)$ and its derivative $\dot{e} = \dot{x}(t) - \dot{x}_N(t)$).

If at any time interval quality Indicators of ACS performance, for instance

$$|e(t)| \geq \varepsilon_{bb} \text{ və } |\dot{e}(t)| \geq \dot{\varepsilon}_{bb} , \quad (4.1)$$

Then the "known" parameters of the previous $i - 1$ interval of the intellectual regulator are adapted (for example, the fuzzy term set modes, etc.). Here t_{ris}, t_{rib} , are initial and final moments respectively, of $i - th$ time interval of ACS in real operation.

In (4.1) expression \mathcal{E}_{bb} and $\dot{\mathcal{E}}_{bb}$ are accordingly absolute values of system accuracy (error) and its derivative and is provided by the constructor.

Purposed intelligent system of ACS, in other words, according to setting parameters (term set modes) e_N and $\dot{e}_N = \dot{x}_N$ of fuzzy regulator the structure scheme of adaptation was shown in Figure 4.1.

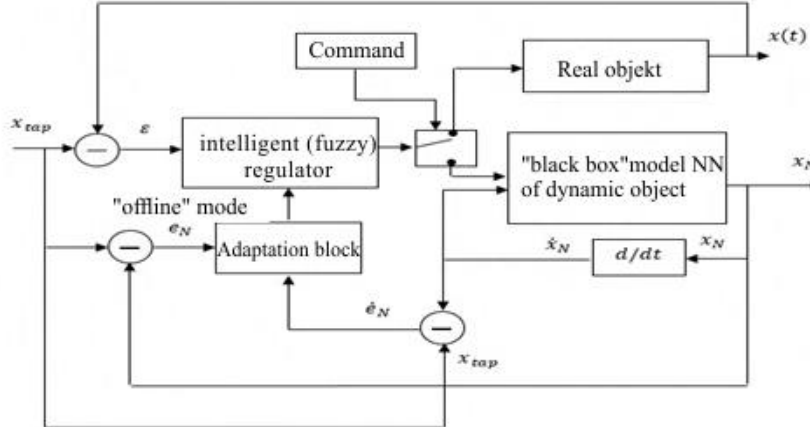


Figure 4.1. Structural scheme of adaptaion in “offline” mode according to e_N and x_N offsetting parameters of intellectual fuzzy regulator

The Fuzzy Regulator's Knowledge Base table of Linguistic rules (TLR) was given below. Since, in work [10] the design of the regulator's TLR, fuzzy term sets are explained in detail, there is no need to explain it in this paper. E^L , \dot{E}^L are accordingly fuzzy term sets of control error and its derivative in the TLR of the intellectual fuzzy regulator.

Table of Linguistic Rules of the fuzzy regulatory (TLRFR)

E^L	NB	NM	NS	NZ	Z	PZ	PS	PM	PB
\dot{E}^L	PB	PM		NB	NB	NM			Z
NM			NB	NB	NM	NS		Z	PZ
NS		NB	NB	NM	NS	NZ	Z	PZ	PS
NZ	NB	NB	NM	NS	NZ	Z	PZ	PS	PM
Z	NB	NM	NS	NZ	Z	PZ	PS	PM	PB
PZ	NM	NS	NZ	Z	PZ	PS	PM	PB	PB
PS	NS	NZ	Z	PZ	PS	PM	PB	PB	
PM	NZ	Z		PS	PM	PB	PB		
PB	Z			PM	PB	PB		PB	PB

$u_{rl} = \tilde{U}_r$ - Fuzzy term set of controls.

Letters in linguistic sets in TLRFR: N-negative, P-positive, Z-zero, B-big, M-medium, S-small. As can be seen from the table, for error and derivation 9 inverse terms are selected:

$$e_{jL} = E^L = \tilde{E}_j = \{e, \mu_j(e) | e \in E\}; \mu_j(e) \in [0,1], \tilde{E}_j \subseteq E, j = \overline{1,9}$$

$$\dot{e}_{jL} = \dot{E}^L = \dot{\tilde{E}}_j = \{\dot{e}, \mu_j(\dot{e}) | \dot{e} \in \dot{E}\}, \mu_j(\dot{e}) \in [0,1], \dot{\tilde{E}}_j \subseteq \dot{E}, j = \overline{1,9}$$

E^L , \dot{E}^L , \tilde{U}_r - affiliation functions $\mu_j(.)$ of linguistic fuzzy term sets choosen as a function of ghostly shape is realized on the bases of Fuzzy Logik Toolbox.

As a real mechatron device, the robot engine with a flexible coupling was adopted [9]. Due to its technical characteristics, this device has sufficient linearity and non-stationary stability as a control object [9] (see appendix 1).

The technical feasibility of the adaptation of the intelligent ACS fuzzy regulator based on neural technology presented in Figure 4.1 was developed in the MATLAB environment (based on the Fuzy Logic Toolbox, Neural Network Toolbox and Simulink packages). According to the results of computer modeling, i.e. the transition processes of intelligent ACS built with the “black box”type NN and of the system built with intellectual regulator of the real object are practically the same (Figure 4.2).

Result. On the bases of “black box”model neural technology of the dynamic object with uncertaintyinobservable case of input- $u(t)$ and state variables- $x(t)$, $\dot{x}(t)$ for real mechatron device-a flexible coupling robot.

Due to error back propagation algorithm of “black box”model NN of the object, in order to overlap the trained and state variables of NN output $x_N(t)$ and derivative $\dot{x}_N(t)$ with state variables of the mechatronic device, the structure of NN (layers 3), number of the neurones in the layer(300, 300,1), transssmission function and extc. have been identified.

Fuzzy regulator parameters for intellectual ACS based on NN model of the object: number of fuzzy term sets, their modes, affiliation functions were identified. According to comuter simulation carried out in MATLAB purposed Intellectual ACS’s steadinessand its Required dynamic accuracy (Figure 4.2) and effectiveness of its adptation were shown.

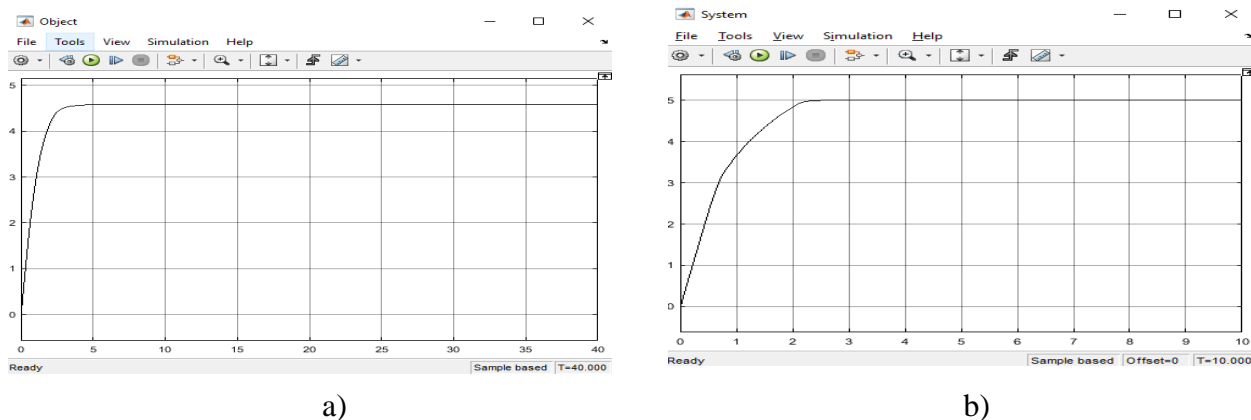


Figure 4.2. Transition processes of the real object-intellectual ACS for the mechatronic device
(a) and intelectual ACS based on NN type model.

REFERENCES

- 1.Jafarov S.M. , Mustafayeva A.M. Identification of Dynamic Objects Under Uncertainty And Non-Stationarity Using Etalon Transformers.Procedia Computer Science. Vol.120,2017,pp.561-567
- 2.Jafarov S.M. Zeynalov E. R., Mustafayeva A.M.Zeynalova L.M. Jafarov P. S. Identification of fuzzy models on nonlinear dynamic objects with observability of input and output // Fifth International Conference on Soft Computing, Computing with Words and Perceptions in System Analysis, Decision and Control,Famagusta, North Cyprus, 2-4 September, 2009,pp. 302-306
- 3.Aliyev R.A.,Jafarov S.M.,Babayev M.C.,Huseynov B.G. Design principles and projectingof the intellektual systems. Baku: Nargiz, 2005,368p.
- 4.Aliyev R.A.,Jafarov S.M.,Babayev M.J, Zeynalov E. R.Control Robotic Systems.Baku: Zaman- 3,2004,328p.
5. Jafarov S.M. Zeynalov E. R., Mustafayeva A.M.Synthesis of robust controller-regulators for omnidirectional mobile robot with irregular movement. Procedia Computer Science. Vol.102,2016,pp.469-476.

- 6.Jafarov S.M.,Aliyeva A.S.Synthesis of Intelligent Control System With Coordinate And Parametric Feedback. Procedia Computer Science. Vol.120,2017,pp.554-560
- 7.Петров Б.Н.,Рутковский В.Ю.,Земляков С.Д.Адаптивное координатно-параметрическое управление нестационарными объектами.М.: Наука,1981,244с.
8. Джараров С.М. Построение адаптивной системы управления с идентификатором для одного класса динамических объектов с запаздыванием //Изв. АН СССР, Техническая кибернетика, №2, 1979, с.181-190
- 9.Нусратов О.К., Джараров Р.С., Джараров С.М., Зейналов Е.Р., Мустафаева А.М. Аналитический метод синтеза регулятора с нечеткой T-S моделью для управления нелинейным динамическим объектом – манипулятором робота с гибким соединением // Мехатроника. Автоматизация и управление. №8. М., 2011, с. 10-14
- 10.Jafarov S.M., Aliyeva A.S.,Babayev F.I., Ismailzadeh S.E. Synthesis of knowledge base of fuzzy linguistic regulators for fuzzy dynamic objects /“Information Systems and Technologies: Achievements and Prospects” Proceedings of the International Scientific Conference.15-16 November, Sumgait, 2018, pp.395-398

XÜLASƏ
DİNAMİK OBYEKTLƏRİN NT ƏSASINDA “QARA QUTU” MODELİNİN
TƏYİNİ VƏ İNTELLEKTUAL İDARƏ EDİLMƏSİ
Əliyeva A.S.

Açar sözlər:qeyri-müəyyənlilikə malik dinamik obyekt,mexatron qurğu, "qara qutu" modeli, neyron texnologiya (NT), "offline" rejimdə neyron şəbəkənin (NŞ) öyrədilməsi alqoritmi.

Təqdim olunan məqalədə riyazi modelin strukturunun və parametrlərinin naməlumluğu şəraitində qeyri-stasionar dinamik obyektin "qara qutu" modelinin neyron şəbəkələri texnologiyası (Neural Network) əsasında təyini və onun intellektual AIS-in layihələndirilməsi,yəni qeyri-səlis tənzimləyicinin biliklər bazasının və onun parametrlərinin təyini məsələlərihəll edilmişdir. Obyektin "qara qutu" (NŞ-li) modeli əsasında intellektual AIS-in qeyri-səlis tənzimləyicisinin parametrləri: qeyri-səlis term çoxluqların sayı, onların modaları, mənsubiyyət funksiyaları təyin edilmişdir.MATLAB mühitində aparılmış kompüter simulyasiyası əsasında təklif olunmuş intellektual AIS-in dayanıqlı və tələb olunan dinamik dəqiqliyə malik olduğu və onun adaptasiyasının effektivliyi göstərilmişdir.

РЕЗЮМЕ
ОПРЕДЕЛЕНИЕ МОДЕЛИ ТИПА «ЧЕРНЫЙ ЯЩИК» НА ОСНОВЕ НЕЙРОННОЙ
ТЕХНОЛОГИИ И ИНТЕЛЛЕКТУАЛЬНОЕ УПРАВЛЕНИЕ ДИНАМИЧЕСКИМ ОБЪЕКТОМ
Алиева А.С.

Ключевые слова:динамический объект с неопределенностью, мехатронное устройство, модель типа «черного ящика»,нейронная технология (НТ), алгоритм обучения нейронной сети (НС) в режиме «offline»

В статье поставлена и решена задача идентификации - определения модели типа «черного ящика» нелинейного динамического объекта с неопределенностью в условиях измеряемости (наблюдаемости) входных и выходных фазовых переменных и их производных. Предложена система идентификации модели типа «черного ящика» на базе нейронной сети (НС). Определена структура НС, количество нейронов и функции их активации, алгоритм обучения НС. Проведенные экспериментальные исследования в среде MATLAB показали что, разработанная НС типа «черного ящика» может быть использована при синтезе интеллектуальной САУ мехатронным устройством. Техническая реализация предложенной интеллектуальной САУ с нечетким регулятором можно адаптировать «offline» режиме с использованием НС-модели типа «черного ящика».

Daxilolma tarixi:	İlkin variant	04.11.2019
	Son variant	05.03.2020

LAYİHƏLƏNDİRİMƏ SİSTEMİNİN İNTERFEYSİƏSASINDA TEXNİKİ SİSTEMİN 2 VƏ 3-ÖLÇÜLÜ QRAFİK TƏSVİRLƏRİNİN YARADILMASI

SƏFƏROVA TƏRANƏ AĞA qızı

Sumqayıt Dövlət Universiteti, baş müəllim

tarana.safarova.70@mail.ru

Açar sözlər: avtomatlaşdırılmış layihələndirmə, interfeys, konstruktur, qeyri-səlis, sənaye robotu, menyu prosedurları.

Konstruktur layihə işlərinin səmərəli yerinə yetirilməsini təmin etmək üçün kompüter qrafika sistemi vasitəsilə eskiz sənədlərinin tərtib edilməsi prosedurları avtomatlaşdırılmalıdır. Mövcud avtomatlaşdırılmış layihələndirmə sistemlərinin təhlili göstərir ki, bu alətlərin köməyi ilə ayrı-ayrı tətbiq sahələrinə dair kompleks layihələndirmə prosedurları mərhələli şəkildə həyata keçirilir [1, 2]. Uzunmüddətli təhlil, seçim, eskiz, işçi layihələndirmə və qərar qəbuletmə mərhələlərində müxtəlif proqramlar əsasında mürəkkəb layihə işləri yerinə yetirilir. Tətbiq olunan prinsiplər layihələndirmə prosesinin məhsuldarlığını, səmərəliliyini (çoxsaylı qrafik rejimli konstruktur işlərinin yerinə yetirilməsi tələb olunur və layihə üzrə alınan keyfiyyət göstəricilərini aşağı salır. Bununla əlaqədar olaraq, kompleks layihələndirmə prosesinin qrafik rejimli prosedurlarının avtomatlaşdırılması üçün 2, 3-ölçülü təsvirlərin çəkilişinin və animasiyasının quruluşunun [3] işlənməsi məsələsi qoyulmuşdur.

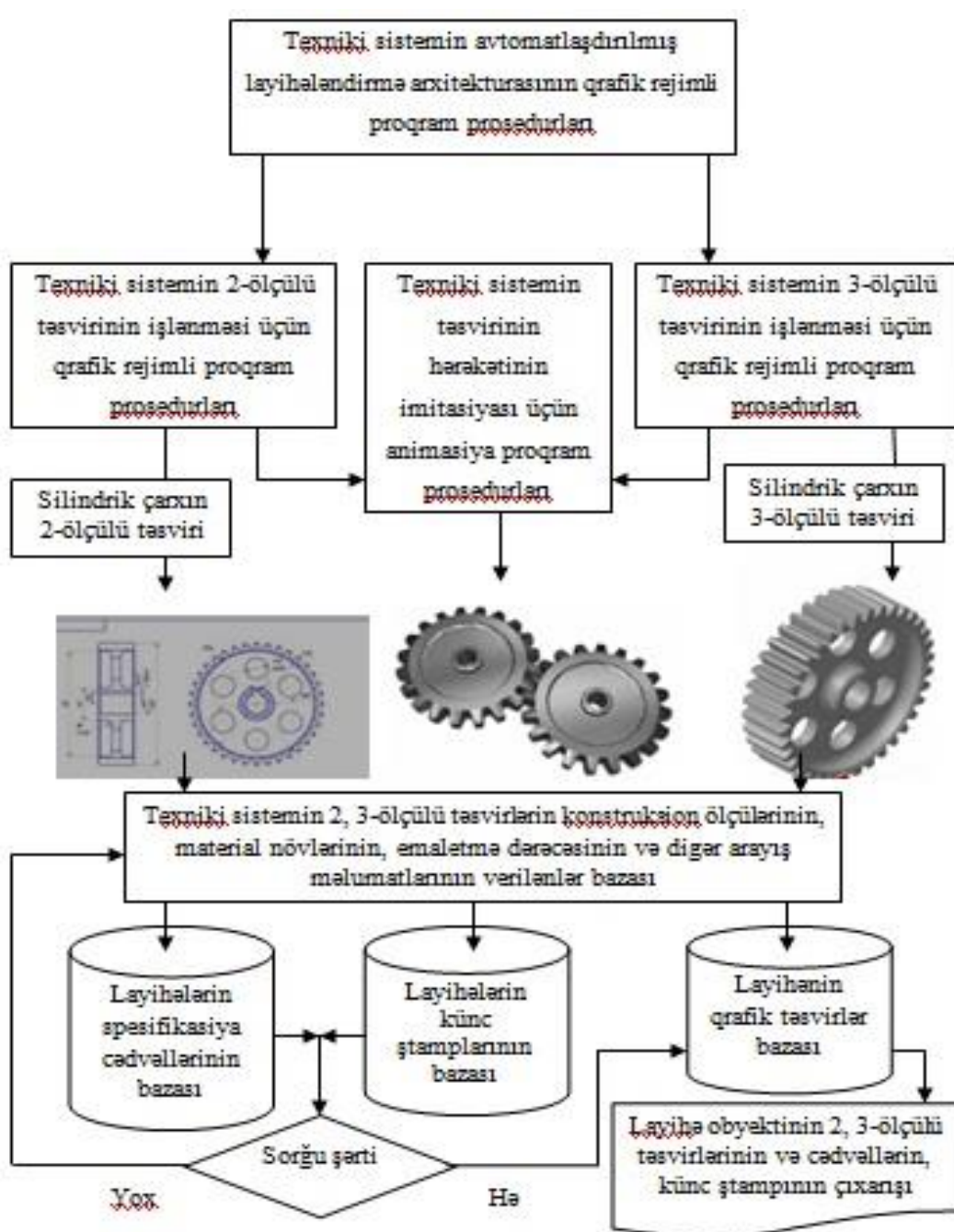
Texniki sistemlərin tətbiq sahələrindən asılı olaraq, layihələndirmə prosesinin kompleks avtomatlaşdırılmasını həyata keçirmək üçün qrafik rejimli prosedurların 2, 3-ölçülü təsvirlərin çəkilişinin və animasiyasının quruluşu təklif edilir (şək. 1). Layihəçi üçün avtomatlaşdırılmış layihələndirmənin program interfeysi çərçivəsində texniki sistemin konstruktur layihələndirilməsi prosesi vacib mərhələlərdən biri hesab olunur, çünki bu mərhələdə layihə obyektiinin bütün mexaniki hesabatları ilə yanaşı, onun konstruksiya görünüşü və materialları seçilib, əsaslanırılıb və dəqiqliklərlə təsvir edilməlidir [4, 5].

Avtomatlaşdırılmış layihələndirmə arxitekturasının qrafik rejimli program prosedurları 2, 3-ölçülü təsvirlərin çəkilişi və animasiya əməliyyatlarından ibarətdir. Avtomatlaşdırılmış layihələndirmənin arxitekturasının idarəetmə panelində seçilən konstruktur layihələndirmə bölməsi aşağıdakı menyu prosedurlarından formalasdır:

1. AutoCad sisteminin aktivləşdirilməsi və çəkiliş obyektiinin uyğun adlandırılması.
2. Layihə obyektiinin ümumiləşdirilmiş cizgisinin çəkilməsi. Tətbiq sahəsindən asılı olaraq təklif olunan layihə obyektiinin çəkilişi üçün 2-ölçülü koordinat sistemi seçilir və A1 formatında sərhəd xəttləri, künc stampı çəkilir və müvafiq çəkiliş miqyası təyin olunur.
3. Layihə obyektiinin texniki təklif mərhələsində seçilən prototip layihənin 2-ölçülü ümumiləşdirilmiş təsviri sistemin işçi çəkiliş sahəsində yerləşdirilərək, onun üzərində konstruksiyanın həndəsi forma, ölçü, material növünün dəyişilikləri həyata keçirilir.
4. Mürəkkəblik dərəcəsindən asılı olaraq 2-ölçülü ümumiləşdirilmiş təsvirdə əlavə görünüşlər verilir ki, layihə obyektiinin hazırlanması prosesini daha dəqiqlik həyata keçirmək mümkün olsun.
5. Layihə obyektiinin real ölçülərindən asılı olaraq standart miqyas ölçülərinə əsasən təsvirinin əsas qabarit ölçüləri qoyulur və hər bir mexaniki və ya elektronika hissələrinə sıra nömrəsi verilir.
6. Layihə obyektiinin sıra nömrələrinə uyğun spesifikasiya cədvəli qurulur. Daxil edilən hissələrin adlarına əsasən onların miqdarı və materialı yaddaşda saxlanılır.

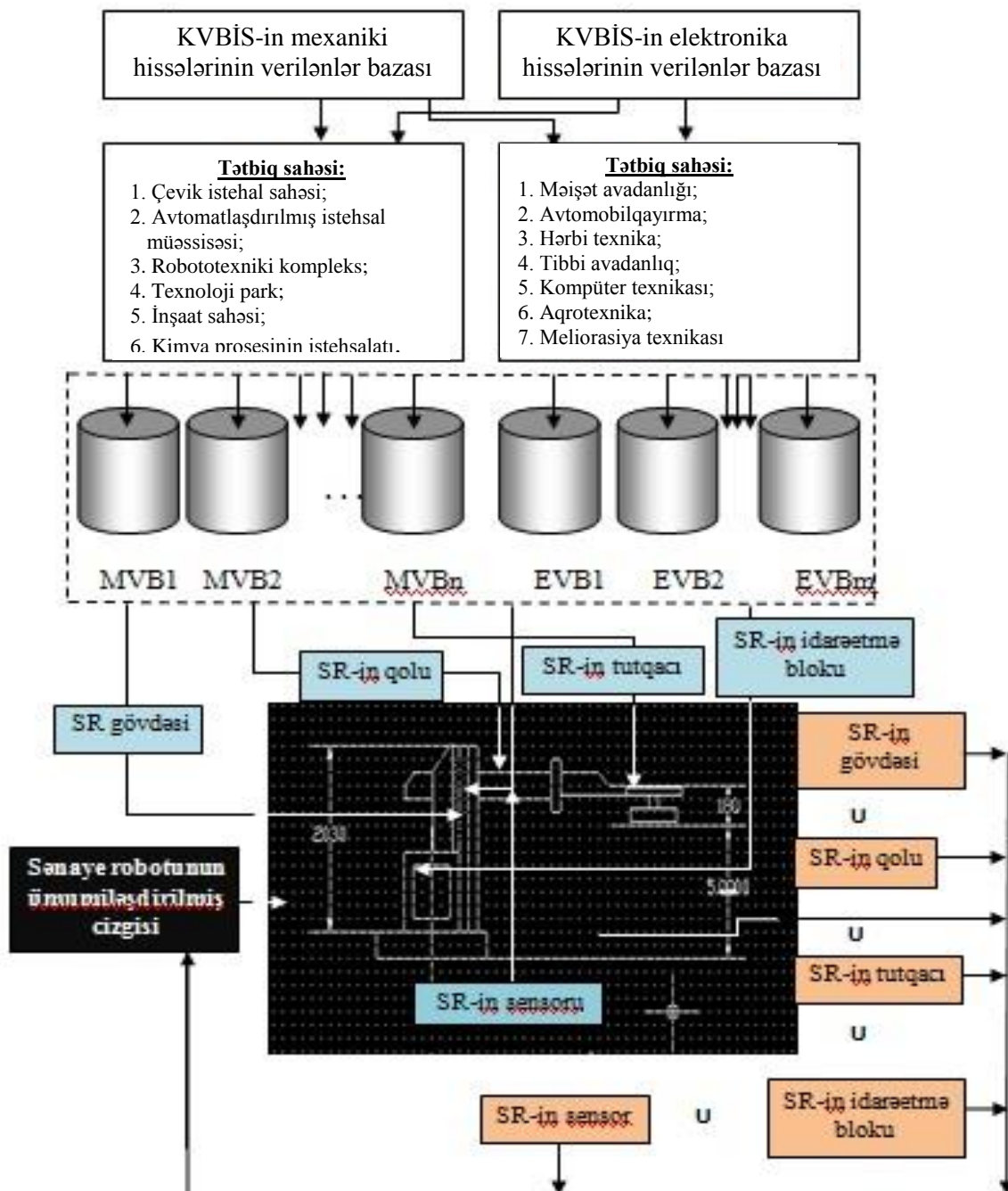
7. Layənin künc ştampına daxil edilən verilənlər layihənin adı, rəhbəri haqqında məlumatlar, təsdiq vaxtını, layihənin adını, xüsusi şifrələnmiş kodu, tətbiq sahəsini və digər standart məlumatları əks etdirir.
8. 6, 7-ci bəndlərdə formalanşan ədədi, mətn tipli verilənlər və 3, 4-də çəkilən təsvirlər əsasında qrafik verilənlər üçün layihənin konstruktur verilənlərinin bazasının idarəetmə sistemi (KVBİS) qurulur. KVBİS-in prosedurları sorğular əsasında layihənin mexaniki və ya elektronika hissələrinin təsvirlərinin adlarına, onların ölçülərinə, tətbiq sahəsinə görə sistemdə axtarış, seçim və çəkiliş sahəsində qrafik redaktə əməliyyatlarından təşkil olunur.

KVBİS-in program prosedurları 2 və 3-ölcülü konstruktur layihələndirmə prosesini məntiqi əməliyyatlarla axtarış, seçim və çəkiliş funksiyalarını təmin edir [3].



Səkil 1. Layihələndirmə prosesinin qrafik rejimli program prosedurlarının quruluşu

Əsas istifadəçi – konstruktur təklif olunan layihə obyekti üzərində redaktə əməliyyatlarını KVBS-lə *sorğu – axtarış – seçim – redaktə* məntiqi sxemi ilə qurur. Məsələn, ümumiləşdirilmiş layihə obyektinin çəkilməsi onun şərti olaraq mexaniki və elektronika hissələrinə ayrılmışından başlayır. Sənaye robotunun (SR) 2-ölçülü cizgisinin misalında göstərilən, KVBS-in mexaniki və elektronika hissələrinin ayrı-ayrı verilənlər bazasından (MVB və EVB) layihə obyektinin standart və qeyri-standart elementlər seçilir (Şək. 2). Standart elementlərin əsasını dövlət standartı ilə təmin olunan mexaniki və ya elektronika vasitələri təşkil edir. Qeyri-standart elementlər qrupuna isə yeni konstruksiyalı materialdan hazırlanan, ənənəvi həndəsi formadan, ölçülərdən fərqli olan mexaniki və ya elektronika hissələri layihədə tətbiq olunur (Şək. 2-də SR-in tutqacı).



Şəkil 2. KVBS-dən seçilən mexaniki və elektronika hissələri əsasında SR-in ümumiləşdirilmiş cizgisinin yaradılması sxemi

Standart elementlərin seçilməsi və qeyri-standart elementlərin işlənməsi prosedurları müxtəlif tətbiq sahələrinə uyğun aparılır. Məsələn, mürəkkəb prosesli avtomatlaşdırılmış istehsal müəssisəsinin mexaniki (texnoloji avadanlıqlar, dəzgahlar) və elektronika (avtomatlaşdırılmış idarəetmə sistemləri, onların elementləri) hissələri müvafiq olaraq MVB və EVB-dən sorğu əsasında seçilir. Analoji prinsiplə sənaye robotunun mexaniki və idarəedici elektronika hissələri seçilir və ümumiləşdirilmiş layihə tələb olunan koordinat mövqeylərində yerləşdirilir.

KVBİS-in ayrı-ayrı verilənlər bazasından ümumiləşdirilmiş layihənin verilənlər bazası (ÜLVB) formalaşır. Əlavə olaraq, ÜLVB-də layihənin kinematik sxemləri, quruluş, texnoloji və funksional sxemləri yaddaşda saxlanılır [6].

KVBİS-nin mexaniki və elektronika hissələrinin verilənlər bazasından seçilən standart elementlərin birləşdirilməsi əsasında SR-in ümumiləşdirilmiş cizgisi formalaşır. Bunun üçün birləşmə məntiqi əməliyyatının realizə edilməsi üçün Zadə operatoru [7]

$$\mu_{A \cup B} = \text{MAX} (\mu_A, \mu_B) \quad (1)$$

istifadə olunur.

MVB-dən SR-in mexaniki hissələrinin seçilməsi

$$MVB \rightarrow SR\text{-in gövdəsi } (G); SR\text{-in qolu } (Q); SR\text{-in tutqacı } (T)$$

ifadəsi ilə təsvir olunur.

$M_{GUQT} = \text{MAX} (\mu_G, \mu_Q, \mu_T)$ operatoru əsasında SR-in frontal görünüşü yaradılır.

EVB-dən SR-in elektronika hissələrinin seçilməsi və SR-in frontal görünüşünə əlavə edilməsi uyğun olaraq aşağıdakı formada təsvir olunur.

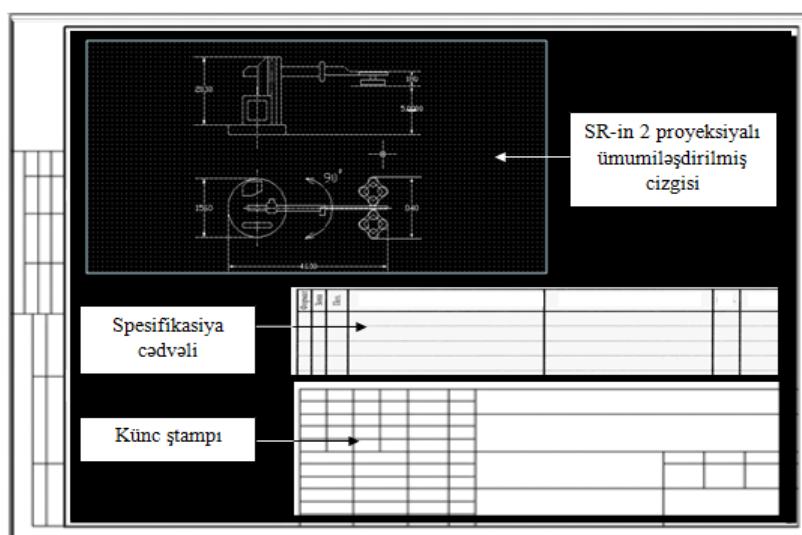
$$EVB \rightarrow SR\text{-in idarəetmə bloku } (\dot{I}B); SR\text{-in sensoru } (S).$$

$$([SR\text{-in gövdəsi } (G); SR\text{-in qolu } (Q); SR\text{-in tutqacı } (T)] \rightarrow M \text{ (mexanika)}) \cup$$

$$([SR\text{-in idarəetmə bloku } (\dot{I}B); SR\text{-in sensoru } (S)] \rightarrow E \text{ (elektronika)}) \quad (2)$$

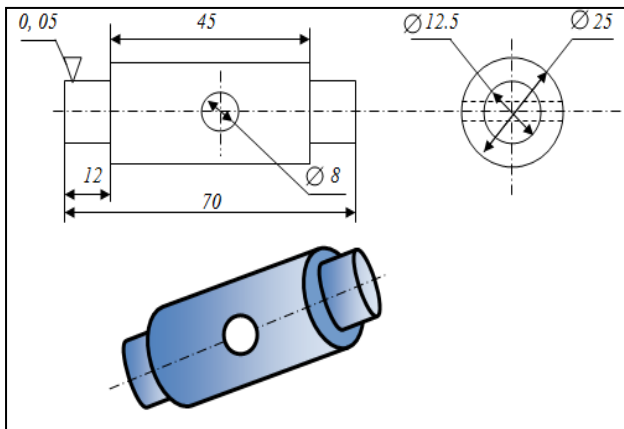
(2)-yə əsasən $M_{MU E} = \text{MAX} (\mu_M, \mu_E)$ operatoru əsasında SR-in frontal görünüşünə SR-in idarəetmə hissələri əlavə edilir.

Yaradılan 2-ölçülü SR-in frontal görünüşü əsasında üst görünüşünün cizgisi çəkilir. Daha çox istifadə olunan çevrə və düzbucaqlı həndəsi fiqurlarının çəkilişi üçün AutoCad sisteminin program əmrlərindən istifadə olunur. Bu konstruktor prosedurunun yerinə yetirilməsi üçün frontal çizgi ilə simmetriyanın gözlənilməsi tələb olunur. Qırıq-qırıq xətlərlə ikinci proyeksiya sahəsinə istiqamətləndirilir. Üst görünüşünün mərkəzi oxu ilə kəsişən qırıq-qırıq xətlər SR-in qolunun, tutqacının, gövdəsinin və idarəetmə blokunun üst görünüşlü sərhəd ölçülərini müəyyən edir. Digər kəsişən həndəsi fiqurlar simmetriya gözləməklə, üst görünüşünün çəkiliş sahəsinə yerləşdirilir.

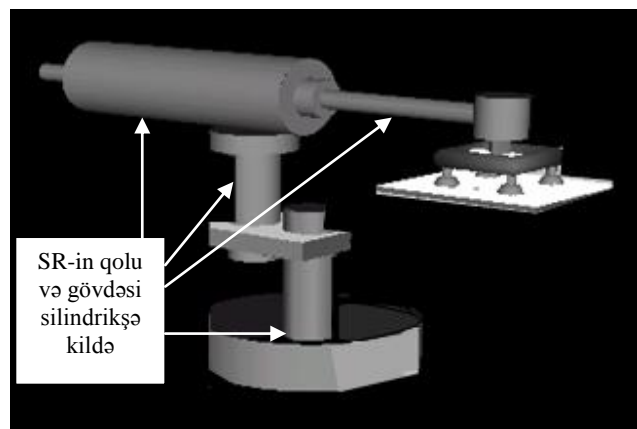


Şəkil 3. SR-in ümumiləşdirilmiş görünüşlü cizgisi və konstruktor verilənlərinin bazası

İkinci proyeksiyanın çəkilişi nəticəsində alınan ümumiləşdirilmiş cizgiyə (şək. 3) onun informasiya təminatı spesifikasiya cədvəli və küncstampı şəklində əlavə olunur. 2-ölçülü ümumiləşdirilmiş cizgidə olan layihə obyektinin həndəsi ölçülərinə əsasən onun 3-ölçülü aksonometrik təsviri işlənilir. Üçölçülü təsvirdə SR-in mexaniki hissələri: gövdəsi, qolu (şək. 4a), tutqacı və elektronika vasitələri: idarəetmə bloku, sensorlar, icra mexanizmləri və ümumilikdə istehsalatin kompanovka sxeminin standart elementləri düzbucaqlı prizmalar, silindrər və konus şəkilində formalasdır (şək. 4b).



Şəkil 4a. SR-in qol hissəsinin silindrik formali həndəsi fiquru



Şəkil 4b. 3-ölçülü həndəsi fiqurlardan formalasan SR-in 3-ölçülü aksonometrik cizgisi

Nəticələr.

1. Texniki sistemin layihələndirmə prosesinin qrafik rejimli program prosedurlarının quruluşu təklif edilmişdir;
2. Konstruktur verilənlərinin bazasının idarəetmə sistemindən seçilən mexaniki və elektronika hissələri əsasında SR-in ümumiləşdirilmiş cizginin yaradılması sxemi təklif edilmişdir.

ƏDƏBİYYAT

1. Əhmədov M.A., Hüseynov A.H., Məmmədov C.F. Avtomatlaşdırılmış layihələndirmə sistemlərinin əsasları. Dərslik. Bakı: Sumqayıt, 2003, 242 s.
2. Əhmədov M.A., Məmmədov C.F., Hüseynov A.H. Texniki sistemlərin avtomatlaşdırılmış layihələndirilməsi. Bakı, 2011, 202 s.
3. Tağıyeva T.A. Avtomobilqayırma vasitələrinin konstruktur layihələndirilməsinin sistemləşdirilməsi / Doktorantların və gənc tədqiqatçıların XX Respublika elmi konfransının materialları. 24-25 may 2016. Bakı: Azərbaycan Dövlət Neft və Sənaye Universiteti, 2016, s. 277-279
4. Мамедов Дж.Ф. Разработка структуры интерфейса программного обеспечения комплексного автоматизированного проектирования технических систем // Вестник компьютерных и информационных технологий. № 5(107). М., 2013, с.18-21
5. Мамедов Дж.Ф. Задачи и этапы разработки автоматизированного выбора и проектирования гибких производственных систем. Баку: Редакция технической литературы «Издательство Бакинского Университета»2002, 175c.
6. Новосельский В.Б. Метод автоматизации проектирования распределенной реляционной базы данных // Программные продукты системы, №3, 2008, с. 23-29
7. Mamedov J.F., Guliyev H.B., Farkhadov Z.I. System of automation regulation of reactive power by means of fuzzy logic // American Journal Reliability: Theory and applications. SanDiego, Impact factor-0.45, Vol. 10, № 2 (37), June 2015, pp. 50-58

РЕЗЮМЕ

СОЗДАНИЕ 2Х- И 3-ХМЕРНЫХ ГРАФИЧЕСКИХ ПРЕДСТАВЛЕНИЙ ТЕХНИЧЕСКОЙ СИСТЕМЫ НА ОСНОВЕ ИНТЕРФЕЙСА СИСТЕМЫ ПРОЕКТИРОВАНИЯ

Safarova T.A.

Ключевые слова: автоматизированное проектирование, интерфейс, конструктор, нечеткий, промышленный робот, процедуры меню.

На основе анализа существующих систем автоматизированного проектирования был поставлен вопрос разработки структуры черчения и анимации 2х- и 3-хмерных изображений для автоматизации процедур в графическом режиме. На основе раздела проектирования панели управления определяются процедуры, выбранные из меню архитектуры автоматизированного проектирования.

На основе опросов, проведенных в системе управления базой проектных данных, был решен вопрос выбора механических или электронных частей проекта нечеткого моделирования. На примере промышленного робота рассматривается вопрос выбора элементов в 2х- и 3-хмерных графических режимах и анимации на основе интерфейса системы автоматизированного проектирования.

SUMMARY

**CREATION OF 2- AND 3-DIMENSIONAL GRAPHICAL REPRESENTATIONS
OF A TECHNICAL SYSTEM BASED ON THE DESIGN SYSTEM INTERFACE**

Safarova T.A.

Key words: automated design, interface, constructor, fuzzy, industrial robot, menu procedures.

Based on the analysis of the existing computer-aided design systems, the problem was posed of developing a structure for drawing and animation of 2, 3-dimensional images to automate procedures in graphic mode. Based on the design section of the control panel, the procedures are selected from the menu of the architecture of computing design.

With using some surveys conducted in the project database management system, the issue of choosing the mechanical or electronic parts of a fuzzy modeling project was resolved. On the example of an industrial robot, the issue of choosing its elements in 2-and 3-dimensional graphic mode and animation based on the interface of an automated design system is considered.

Daxilolma tarixi: Ilkin variant 28.11.2019
Son variant 04.03.2020

PYEZOELEKTRİK ADDIM MÜHƏRRİKİNİN GÜC XARAKTERİSTİKALARININ YAXŞILAŞDIRILMASI

ABDULOVA AYTƏN GÜLAĞA qızı

Azərbaycan Dövlət Neft və Sənaye Universiteti, dissertant

aytenabdulovago@gmail.com

Açar sözlər: pyezoelektrik mühərriki, addim mühərriki, mexaniki güc, elektromexaniki güc

Elm və texnikada miniatürləşdirmə tendensiyası daha çox submikron dəqiqliklə manipulyasiyalar üçün imkanları tələb edir. Mikro və nano manipulyasiya üçün, kiçik ölçülü və ultra yüksək dəqiqliklə yerləşdirmə və manipulyasiya cihazlarına olan təlabat zamanla artmaqdadır. [1]

Pyezoelektrik addim mühərrikləri son onilliklər ərzində tibbi alətlər və elektronika, məişət texnikası kimi sahələrdə geniş şəkildə istifadə edilir və uğurla tətbiq olunur. Buna əsas yüksək sürət, sürəti cavab, səssiz işləmə, kompakt ölçüsü və s. üstün xüsusiyyətlərə malik olmasıdır. [2] Pyezoelektrik mühərriklər məhz pyezoelektrik effektinin kiçik ölçüsünə görə yüksək dəqiqliq yerləşdirməni təmin edir. Ətalətli pyezoelektrik mühərrikləri ilk olaraq 1980-ci illərin ortalarında laboratoriyada yerləşdirmə tətbiqləri üçün hazırlanmış, son illərdə isə miniatür texnikada geniş tətbiq olunmağa başlamışdır. Ətalətli pyezoelektrik mühərriklərin arasında xüsusi olaraq addim mühərriklərinin tədqiqatının aparılması nanoyerdəyişmələr (mikroaddim rejiminin istifadəsi) tətbiq olunan mühərriklərdə, yüksək dəqiqliq nəticələrin alınması, minimal xətaların olması və asan istifadəyə malik olmasına.

Ətalətli pyezoelektrik addim mühərriklərinin sadələşdirilməsinə əsas verən səbəb vahid bir siqnal tərəfindən idarə olunmaya malik olmasınadır. Bu mühərriklərdə qəfəs manipulyasiyası və mikro və ya nanoyerdəyişmələr zamanı aşağı güc tətbiq olunur. [3, 4, 5] Zhang et al. tərəfindən 2012-ci ildə ətalətli pyezoelektrik mühərrikləri haqqında ilk olaraq ədəbiyyatda təsvir olunan mühərriklərin geniş təfərrüatları verilmiş, müxtəlif mühərriklərin strukturu və funksional prinsipləri ətraflı izah olunmuş və bəzi performans məlumatları konspektləşdirilmişdir. Lakin yüksək tezliklərdə fəaliyyət göstərən ətalətli pyezoelektrik mühərriklər haqqında tam araşdırmalar aparılmaması bu mühərriklərin müxtəlif aspektləri daha geniş tədqiqatına əsas vermişdir. [5] Belə ki, mövcud pyezoelektrik addim mühərriklərinin işləməsi zamanı - mühərrikin ani yüklənmədən sonra sürət yiğmasına zaman sərf olunması, işləmə rejimi dayananda işçi vəziyyətini tam bərpa edə bilməməsi, eyni ölçü və parametrlərə malik müxtəlif növ addim mühərrikləri ilə müqayisədə verilən gücün aşağı olması, onların məhz güc xarakteristikalarının yaxşılaşdırılmasına zəmin yaratmışdır. Belə ki, mühərriki həddindən artıq yüklənmə olmadan, parametrlərinə uyğun olaraq işləməsi üçün gücün qiymətini bilmək vacib amillərdəndir.

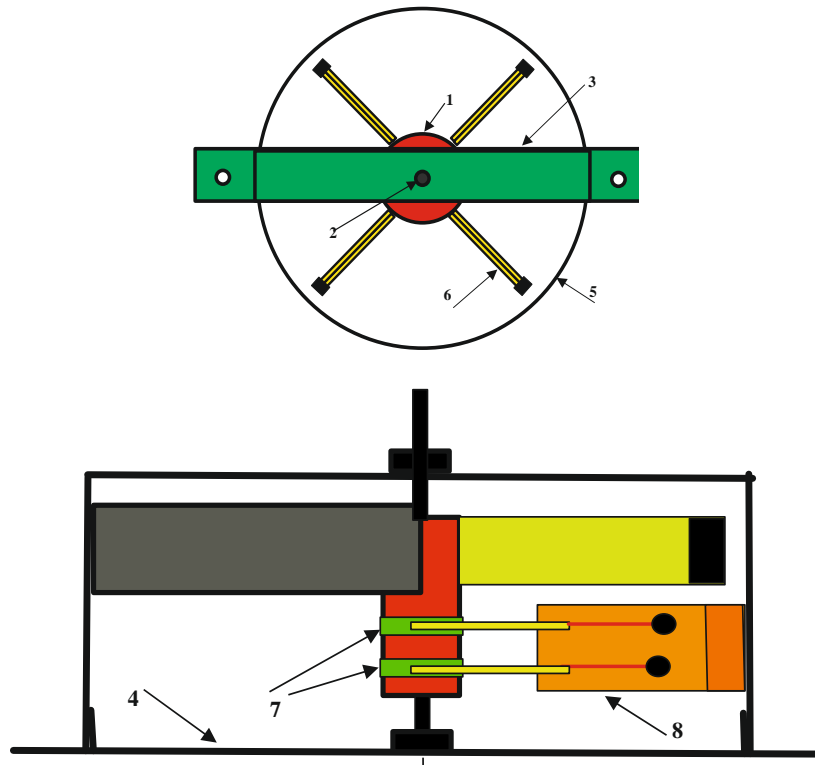
Həll üsulları. Ətalətli pyezoelektrik addim mühərriki (ƏPAM) öz konstruksiyasında sürtünmə yaranan hissələrə malik olmayan, etibarlılığı və istismar müddəti olduqca yüksək olan bir mühərrikdir. ƏPAM konstruksiyası aşağıdakı şəkildə göstərilmişdir (Şəkil).

Ətalətli pyezoelektrik addim mühərriki üçün ümumi güc aşağıdakı ifadədən tapılır:

$$P_E = P_{E1} + P_{E2} \quad (1)$$

Mühərrikin valındakı mexaniki güc iki üsulla qiymətləndirilə bilər

1. Elektromexaniki əlaqə əmsalı ilə K_{EM}
2. Pyezoelektrik hərəkətvericinin işçi vəziyyətinin momenti və qüvvəsi ilə



Şəkil. Ətalətli pyezoelektrik addım mühərriki.

Burada : 1 - rotorun gövdəsi; 2 - çıxış valı; 3 – baza armaturası; 4 – podşipnik; 5 – mühafizə üzüyü (baza armaturasının hissəsi); 6 - pyezokeramik nakladkalar; 7 – kollektor; 8 – kollektorun firçasının quruluşu [6,7,8,9].

Mexaniki güc (P_M) birinci üsul ilə aşağıdakı ifadə ilə müəyyən olunur [6,7,8]:

$$P_M = P_E * (K_{EM})^2 \quad (2)$$

$$K_{EM} = \sqrt{\frac{W_M}{W_E}} \quad (3)$$

Burada W_E – sərf olunan elektrik enerjisi; W_M – mexaniki enerji.

ЛТС -19 materialı üçün bu əmsal $K_{EM} = 0,31$; o halda $P_M = 0,096 * P_E$.

Ani mexaniki enerji iki hissədən ibarətdir:

$$W_M(t) = W_1(t) + W_2(t) \quad (4)$$

$W_1(t)$ – hərəkət rejiminin enerjisinin ani qiyməti, $W_2(t)$ – BL (hərəkətverici) sərbəst hərəkət enerjisinin ani qiyməti. Bu halda:

$$W_1(t) = F_E(t) * \Delta_{MR}(t) = K_1 * K_{N1} * t * K_2 * K_{N1} * t = K_1 * K_2 * (K_{N1})^2 * t^2 \quad (5)$$

$$W_2(t) = F_E(t) * \Delta_{ST}(t) = K_1 * K_{N1} * \Delta_{max} * e^{-\frac{t}{(2*\tau)}} * \sin(\frac{\sqrt{3}*t}{(2*\tau)}) * t \quad (6)$$

Burada: BL zamandan asılı olaraq sərbəst yerdəyişmələrini müəyyən etmək üçün:

$$\Delta(t) = \Delta_{MR}(t) + \Delta_{SR}(t) \quad (7)$$

burada: Δ_{MR} – məcburi rejimin yerdəyişməsinin toplananı; Δ_{SR} – sərbəst rəqslerin yerdəyişməsinin toplananı. Buradan Δ_{MR} və Δ_{SR} aşağıdakı ifadələrdən tapılır [7,8]:

$$\Delta_{MR}(t) = \frac{F_E(t)}{K_J} \quad (8)$$

$$\Delta_{ST}(t) = \Delta_{max} * e^{-\frac{t}{(2*\tau)}} * \sin(\frac{\sqrt{3}*t}{(2*\tau)}), \quad (9)$$

Burada, F_E – BL elektrik sahəsinin qüvvəsi, $\tau = T_M$ – BL mexaniki hissəsinin sabit vaxtı.

$$\Delta_{MR}(t) = \frac{3,3 \cdot 10^{-12} * \varepsilon^2 * E_p * U(t)}{(l_3^2 * E_Y)} = K * U(t), \quad (10)$$

E_y - yunq modulu, K - mütənasiblik əmsalı; l_3 - bimorf lövhənin birinin qalınlığı, (m); ε - pyezokeramikanın nisbi dielektrik keçiciliyi; E_p - pyezokeramikanın polyarlaşmasının elektrik sahəsinin gərginliyi, (v/m) [10].

Əgər $U(t) = K_{N1} * t$ olsada,

$$\Delta_{MR}(t) = K_2 * K_{N1} * t \quad (11)$$

İşçi və qayıtma zamanında mexaniki güc müvafiq olaraq: $P_{M1} = \frac{W_1}{t_p}$, $P_{M2} = \frac{W_2}{t_o}$

ƏPAM valı üçün ümumi mexaniki güc:

$$P_M = P_{M1} + P_{M2} \quad (12)$$

ƏPAM üçün faydalı iş əmsalı aşağıdakı ifadədən tapılır:

$$\eta = \frac{P_M}{P_E} \quad (13)$$

Nəticə. Düsturlardan göründüyü kimi, ətalətli pyezoelektrik addım mühərriklərin gücünün yaxşılaşdırılması üçün kifayət qədər resurs var. Onlardan istifadə etməklə ƏPAM yüksək effektivli, işləmə sürəti və mövcud qabarit ölçüləri saxlamaqla, gücünü artırmaq olar.

ƏDƏBİYYAT

1. Weiting L., Maoying Zh., Xiaodong R., Xin Fua. Non-smooth model and numerical analysis of a friction driven structure for piezoelectric motors // Preprint submitted to International Journal of Non-Linear Mechanics. October 21, 2018.
2. Worn H., Schmoekel F., Buerkle, A., Samitier J., Puig-Vidal, M., Johansson S., Simu U., Meyer J.U., Biehl M. From Decimeter- to Centimeter-Sized Mobile Microrobots-The Development of the MINIMAN System. Proc. SPIE. 4568,2001, pp.175–186
3. Eglin M., Eriksson M.A., Carpick R.W. Microparticle Manipulation Using Inertial Forces. Appl. Phys. Lett. 2006, p.88
4. Matthias Hunstig Piezoelectric Inertia Motors: A Critical Review of History, Concepts, Design, Applications, and Perspectives. Actuators 2017, 6, 7; 35 p.
5. Zhang, Z.M.; An, Q.; Li, J.W.; Zhang, W.J. Piezoelectric Friction-Inertia Actuator// A Critical Review and Future Perspective. Int. J. Adv. Manuf. Technol. 2012, 62, pp.669–685
6. МамедовР.К., ЯкубовР.А. Пьезоэлектрические шаговые двигатели. Баку: АГНА, 2014.
7. ДжагуповР.Г., ЕрофеевА.А. Пьезоэлектрические элементы в приборостроении и автоматике. Л.: Машиностроение, 1988, 252 с.
8. Лавриненко В.В., Карташов И.А., Вишневский В.С.: Пьезоэлектрические двигатели, М.: Энергия, 1980, 112 с.
9. AbdulovaA.G. Ətalətli pyezoelektrik addım mühərrik üçün güc xarakteristikalarının tədqiqi / Gənc tədqiqatçıların II Respublika elmi konfransı. Bakı, 2019.
10. Петренко С.Ф. Пьезоэлектрический двигатель в приборостроении. Киев: Корнейчук, 2002, 100 с.

РЕЗЮМЕ

УЛУЧШЕНИЕ ХАРАКТЕРИСТИК МОЩНОСТИ ИНЕРЦИОННОГО ПЬЕЗОЭЛЕКТРИЧЕСКОГО ШАГОВОГО ДВИГАТЕЛЯ

Абдулова А.Г.

Ключевые слова: пьезоэлектрический двигатель, шаговый двигатель, механическая мощность, электромеханическая мощность

Характеристики определяются путем расчета электромеханических и механических мощностей двигателя. Изучением мгновенных значений энергии свободного движения BL (движущихся) при мгновенном значении электрической и механической энергии, используемой во время работы

двигателей, и мгновенной энергии режима движения, была найдена мощность ИПШД и КПД двигателя. Как видно из формул, так называемый пьезоэлектрический шаг имеет достаточно ресурсов для улучшения мощности двигателей. Используя их, инерционный пьезоэлектрический шаговый двигатель может увеличить мощность, сохраняя высокую эффективность, скорость обработки и доступные габаритные размеры

SUMMARY

IPROVEMENT OF POWER CHARACTERISTICS OF THE INERTIAL PIEZOELECTRIC STEPPING MOTOR

Abdulova A.G.

Key words: piezoelectric engine, step engine, mechanical power, electromechanical power

The power characteristics are determined by calculating the electromechanical and mechanical powers of the motor. The study of the instantaneous values of the BL (moving) free movement energy at the instantaneous price of the electrical and mechanical energy, as well as the energy of the motion mode, were found power of IPSM and efficiency of the motor. As can be seen from the formulas, the so-called piezoelectric step has enough resources to improve the power of the engines. Using them, an inertial piezoelectric stepper motor can increase power while maintaining high efficiency, processing speed, and available overall dimensions.

Daxilolma tarixi:	Ilkin variant	07.05.2019
	Son variant	27.01.2020

TİAMÜHİTİNDƏ BİRKONTURLUTƏNZİMLƏMƏ SİSTEMİNİNSİMULYASIYALITƏDQİQİ

BAYRAMOVA İLHAMƏ SAVALANqızı,

Sumqayıt Dövlət Universiteti, tütör

bayramova.ilhama@mail.ru

Açarsözlər: *TIA(Totally Integrated Automation) mühiti, tənzimləmə sisteminin simulyasiyası, ötürmə funksiyası, programlaşdırılan kontroller, real şəraitə uyğunlaşma*

Giriş. Müasir dövrdə texnoloji proseslərin əsas avtomatlaşdırma vasitəsi kimi müxtəlifipli programlaşdırılan kontrollerlərdən (PLC – Programmable Logical Controller) istifadə edilir. Belə kontrollerlərdən biri də hazırda daha çox istifadə edilən Almaniyadan Siemens firmasının istehsal etdiyi Simatic tipli kontrollerlərdir. Həmin kontrollerlər üçün müxtəlif konfiqurasiyaetmə, programlaşdırma və vizuallaşdırma sistemləri mövcuddur [1]. Hazırda əsasən TIA (Totally Integrated Automation) kompleks avtomatlaşdırma sistemindən istifadə edilir. Step 7 sistemi kontrollerlərin konfiqurasiyası və programlaşdırılmasını, WinCC Flexible sistemi idarəetmənin vizuallaşdırılmasını ayrılıqda həyata keçirirdilərsə, TIA onları vahid sistem şəklində birləşdirərək, ümumi avtomatlaşdırma prosesini xeyli dərəcədə asanlaşdırmışdır. Bu sistemlər sərf real sənaye şəraitində texnoloji proseslər haqqında məlumatın toplanması, ilkin emalı, operativ personala təqdimatı və avtomatik tənzimləmə üçün nəzərdə tutulmuşdur. Yeni texnoloji qurğuların yaradılması zamanı bu məsələlərin programlaşdırılması texnoloji avadanlıqların quraşdırılması ilə paralel olaraq aparıldığı üçün programların sazlanması tam olaraq yerinə yetirilə bilmir. Həmin sistemlərdə virtual kontroller – simulyator yalnız məntiqi idarəetmə dövrələrinin simulyasiyası üçün nəzərdə tutulmuşdur. Analoq siqnallarla əməliyyat aparan, o cümlədən xətti tənzimləmə dövrələrinin simulyasiyası üçün isə bir çox program modullarının – blokların nəzərdə tutulmaması onların virtual tədqiqinə imkan vermir. Bu məsələnin həllinə [2,3] baxılmış olsa da, həmin işlərdə aşağıdakı problemlər öz əksini tapmamışdır:

- yüksək tərtibli ötürmə funksiyalarının program realizasiyası;
- gecikmənin program realizasiyası;
- nümunəvi siqnal vericilərinin program realizasiyası.

Aydındır ki, bu problemlər həll edilmədən istənilən avtomatik tənzimləmə sistemlərinin virtual tədqiqi mümkün deyil. Məqalədə bu məsələlərin həlli və onlardan istifadə etməklə birkonturlu tənzimləmə dövrəsinin simulyasiyalı tədqiqi üsulu təklif edilir.

Yüksək tərtibli ötürmə funksiyalarının program realizasiyası. Yuxarıda göstərilən [2,3] işlərdə yalnız

$$W(s) = \frac{b_1 s + b_o}{a_1 s + a_0}, \quad (1)$$

$$W(s) = \frac{b_1 s + b_o}{a_2 s^2 + a_1 s + a_0} \quad (2)$$

Şəklində olan ötürmə funksiyalarının program realizasiyası diferensial tənliklərin analoq hesablama maşınlarında (AHM) həlli üsuluna əsaslanaraq yerinə yetirilir. Həmin üsul ötürmə funksiyasının surətinin tərtibi vahiddən böyük olduqda diferensiallaşdırıcılarından istifadə edilməsini tələb edilir. Diferensiallaşdırıcılar xarici həyəcanlara həssas olduqları üçün onlardan istifadə edilməsi məqsədə uyğun deyil. İstənilən yüksək (üç və daha böyük) tərtibli ötürmə funksiyalarının realizasiyasının açarı

$$W(s) = \frac{b_2 s^2 + b_1 s + b_0}{a_2 s^2 + a_1 s + a_0} \quad (3)$$

şəklində ötürmə funksiyasındadır. Bu ifadəni aşağıdakı kimi yazaq:

$$W(s) = \frac{b_2 s^2 + b_1 s + b_0}{a_2 s^2 + a_1 s + a_0} = \frac{b_2}{a_2} \left(\frac{s^2 + B_1 s + B_0}{s^2 + A_1 s + A_0} \right) = \frac{b_2}{a_2} \left(1 + \frac{B_1^* s + B_0^*}{s^2 + A_1 s + A_0} \right).$$

Burada: $B_1 = \frac{b_1}{b_2}$, $B_0 = \frac{b_0}{b_2}$, $A_1 = \frac{a_1}{a_2}$, $A_0 = \frac{a_0}{a_2}$, $B_1^* = B_1 - A_1$, $B_0^* = B_0 - A_0$.

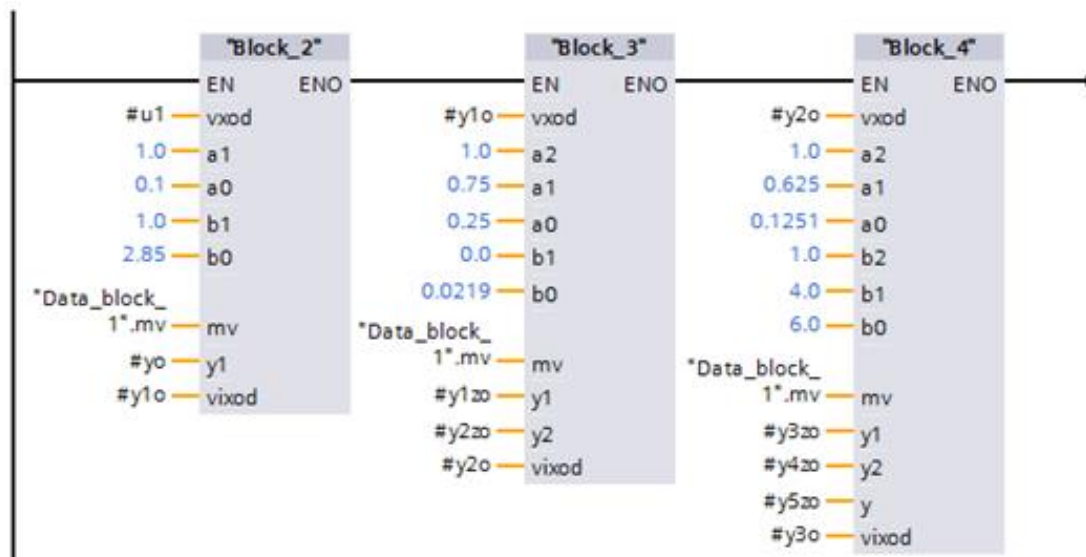
Beləliklə, görünündüyü kimi, (3) şəklində ötürmə funksiyasının realizasiyası (2) şəklində olan ötürmə funksiyasının realizasiyasına gətirilir. Tərtibi 2-dən yüksək olan ötürmə funksiyalarının realizasiyası isə onların sıfırlarının və qütblərinin tiplərindən (həqiqi və ya kompleks) asılı olaraq (1), (2) və (3) tipli ötürmə funksiyalarının hasillərinə və uyğun olaraq onların program realizasiyalarının ardıcılığına gətirilir. Surətinin tərtibi 3 və məxrəcinin tərtibi 5 olan

$$W(s) = \frac{7s^3 + 48.02s^2 + 122.1s + 120.1}{320s^5 + 473s^4 + 314s^3 + 107s^2 + 18s + 1}$$

ötürmə funksiyasının sıfırları $-2.85, -0.002 \pm j1.414$ və qütbləri $-0.1, -0.37 \pm j0.3246, -0.3192 \pm j0.1649$ -dan ibarət olub,

$$W(s) = \frac{s + 2.85}{s + 0.1} * \frac{0.0219}{s^2 + 0.75s + 0.25} * \frac{s^2 + 4s + 6}{s^2 + 0.625s + 0.1251}$$

ilə əvəz edilmişdir. Qeyd etmək lazımdır ki, 0.0219 ədədi öz yerini $(s+2.85)$ və ya (s^2+4s+6) çoxhədlisi ilə dəyişə bilər. Şəkil 1-də onun program realizasiyası verilmişdir.



Şəkil 1. Beştərtibli ötürmə funksiyasının program realizasiyası

Block_2, Block_3 və Block_4 uyğun olaraq (1), (2) və (3) tipli ötürmə funksiyalarını realizasiya edirlər. Həmin blokların hansı ardıcılılıqda olmasının fərqi yoxdur. Lakin birinci blokun çıxışı ikincinin girişinə, ikincinin çıxışı isə üçüncüün girişinə verilməlidir. Şəkildən görünündüyü kimi, Block_2-nin çıxışı $\#y1o$ Block_3-ün girişinə, onun çıxışı $\#y2o$ isə Block_4-ün girişinə verilmişdir.

Gecikmə manqasının program realizasiyası. Məlum olduğu kimi, gecikmə manqasının ötürmə funksiyası

$$W(s) = e^{-\tau s}$$

şəklindədir. Avtomatik tənzimləmə nəzəriyyəsində gecikmənin aşağıdakı aproksimasiya üsulları istifadə edilir [4,5]:

- aperiodik manqaların ardıcıl birləşməsi

$$e^{-\tau} \cong \frac{1}{(Ts+1)^n}, T = \frac{\tau}{n}; \quad (4)$$

- Taylor sırasına ayırma

$$e^{-\tau} \cong 1 - \tau s + \frac{\tau^2}{2!} s^2 - \frac{\tau^3}{3!} s^3 + \dots + (-1)^k \frac{\tau^k}{k!} s^k + \dots; \quad (5)$$

- Pade aproksimasiyası: ikitərtibli [4,10]

$$e^{-\tau} \cong \frac{1 - \frac{\tau}{2}s + \frac{\tau^2}{12}s^2}{1 + \frac{\tau}{2}s + \frac{\tau^2}{12}s^2} = \frac{s^2 - \frac{6}{\tau}s + \frac{12}{\tau^2}}{s^2 + \frac{6}{\tau}s + \frac{12}{\tau^2}} \quad (6)$$

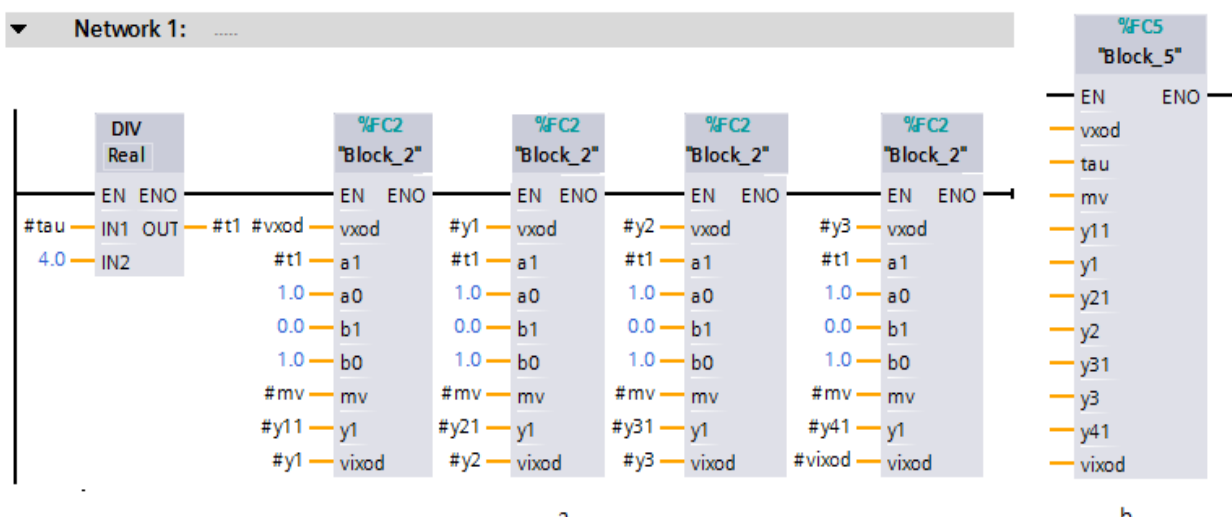
və ya dördtərtibli [4]

$$e^{-\tau} \cong \frac{1 - \frac{\tau}{2}s + \frac{\tau^2}{9.33}s^2 - \frac{\tau^3}{84}s^3 + \frac{\tau^4}{1680}s^4}{1 + \frac{\tau}{2}s + \frac{\tau^2}{9.33}s^2 + \frac{\tau^3}{84}s^3 + \frac{\tau^4}{1680}s^4} = \frac{s^4 - \frac{20}{\tau}s^3 + \frac{180}{\tau^2}s^2 - \frac{840}{\tau^3}s + \frac{1680}{\tau^4}}{s^4 + \frac{20}{\tau}s^3 + \frac{180}{\tau^2}s^2 + \frac{840}{\tau^3}s + \frac{1680}{\tau^4}}. \quad (7)$$

Bu və ya digər üsulun tərtibi nə qədər yüksək olarsa, onun effekti daha böyük olar. Tərtibin yüksək olması isə hesabatın və program realizasiyasının mürəkkəbləşməsinə səbəb olur.

Taylor sırasından yalnız nəzəri tədqiqatlar zamanı istifadə edilir, onun program realizasiyasında diferensiallayıcılardan istfadə edildiyi üçün praktik işlərdə istifadə edilməsi məqsədə uyğun deyil.

Tədqiqatlar göstərir ki, eyni tərtibdə Pade approksimasiyası daha effektlidir. Lakin onun hazırlıq hesabat işləri daha çoxdur. Gecikmənin və tərtibin hər bir qiyməti üçün xüsusi hesabat aparılmalıdır.

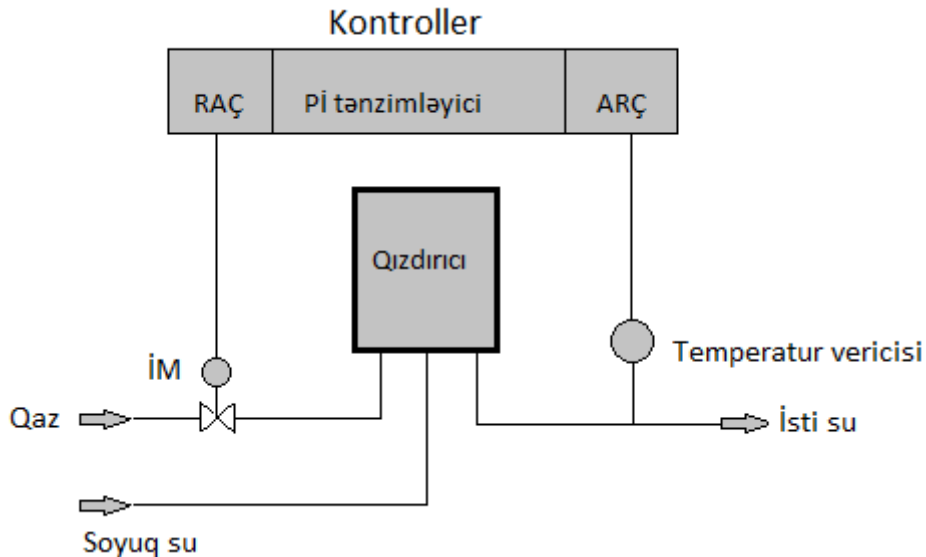


Şəkil 2. Ardıcıl birləşmiş aperiodik manqaldan ibarət gecikmə blokunun programı (a) və işarəsi (b)

Aperiodik manqaların ardıcıl birləşməsi üsulu isə daha universaldır. Tərtibdən asılı olaraq, yalnız ardıcıl blokların sayı dəyişir. Hətta müəyyən hədd daxilində onu da universallaşdırmaq mümkündür. Şəkil 2-də dörd ardıcıl aperiodik manqadan ibarət gecikmə blokunun programı (a) və onun işarəsi (b) verilmişdir.

Su qızdırıcısının çıkışında suyun temperaturunun tənzimləmə sisteminin simulyasiyası.
Şəkil 3-də həmin sistemin prinsipial sxemi verilmişdir. Sistem haqqında aşağıdakılard məlumdur:

- temperatur vericisinin ölçü həddi – 0-150 °S;
- temperatur vericisi başlanğıc ünvanı 100 olan analoq-rəqəm çevircisinin (ARÇ) birinci girişinə qoşulmuşdur;



Şəkil 3.Qızdırıcıının çıkışında suyun temperaturunun tənzimlənmə sxemi

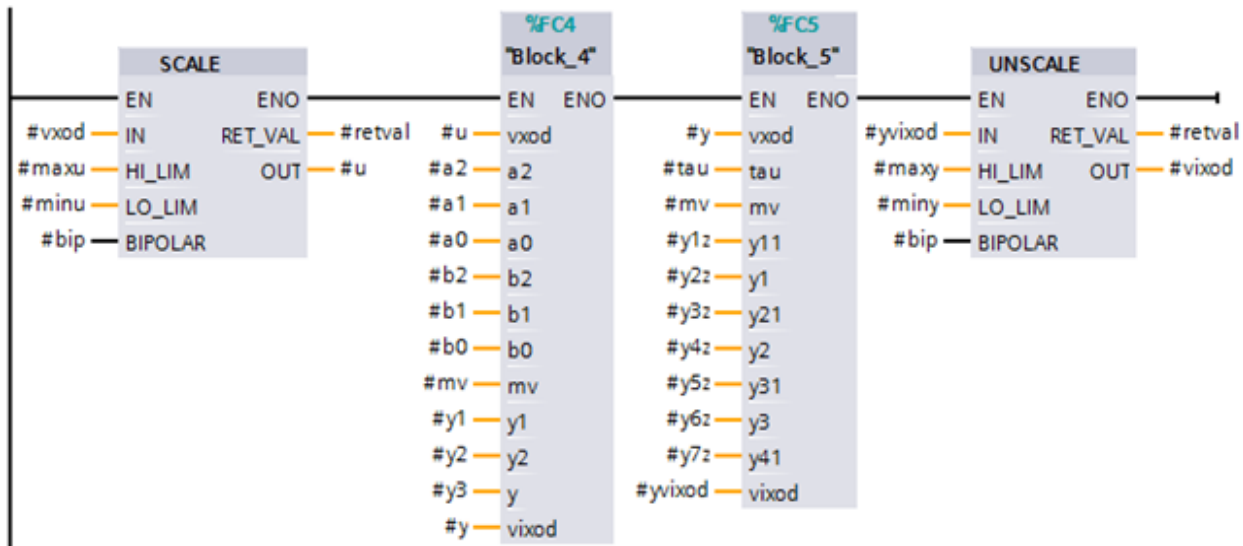
- icra mexanizmi (İM) başlanğıc ünvanı 200 olan rəqəm-analoq çevircisinin (RAÇ) birinci çıxışına qoşulmuşdur;
- qızdırıcının (obyektin) “qaz sərfi – çıxışda suyun temperaturu” kanalı üzrə ötürmə funksiyası (ölçmə və idarəetmə kanallarının bütün elementləri daxil olmaqla) - $W(s) = \frac{5}{15s^2 + 13s + 1} e^{-11s}$;
- bu obyekt üçün Matlab vasitəsi ilə sazlama parametrləri $K_p=0.1342$, $T_i=108.9$ san. olan mütənasib-inteqrallayıcı (Pİ) tənzimləyici təyin edilmişdir.

Gecikməsi olan kanalları realizasiya etmək üçün Block_4 və Block_5-dən ibarət yeni Block_6 yaradaq (Şəkil 4). Block_6 tərtibi 3-dən kiçik və gecikməsi olan istənilən manqanı (diferensiallaşdırıcıdan başqa) realizasiya edir. SCALE və UNSCALE blokları obyektin girişinin tənzimləyicinin çıxışı və obyektin çıkışının tənzimləyicinin girişini ilə uzlaşdırmaq üçündür [1].

Şəkil 5-də standart PİD tənzimləyici CONT_C və Block_6-dan ibarət OB35 blokunda yerləşən simulyasiya programı verilmişdir. Məlum olduğu kimi, CONT_C tənzimləyici SCALE və UNSCALE bloklarından istifadə etməklə və ya onlardan istifadə etmədən tənzimləmə prosesini həyata keçirə bilər. Təqdim edilən program SCALE və UNSCALE bloklarından istifadə etməklə tərtib edilmişdir. Simulyasiya programı asanlıqla real obyektdə uyğunlaşdırıla bilər. Bunun üçün aşağıdakı əməliyyatları yerinə yetirmək kifayətdir:

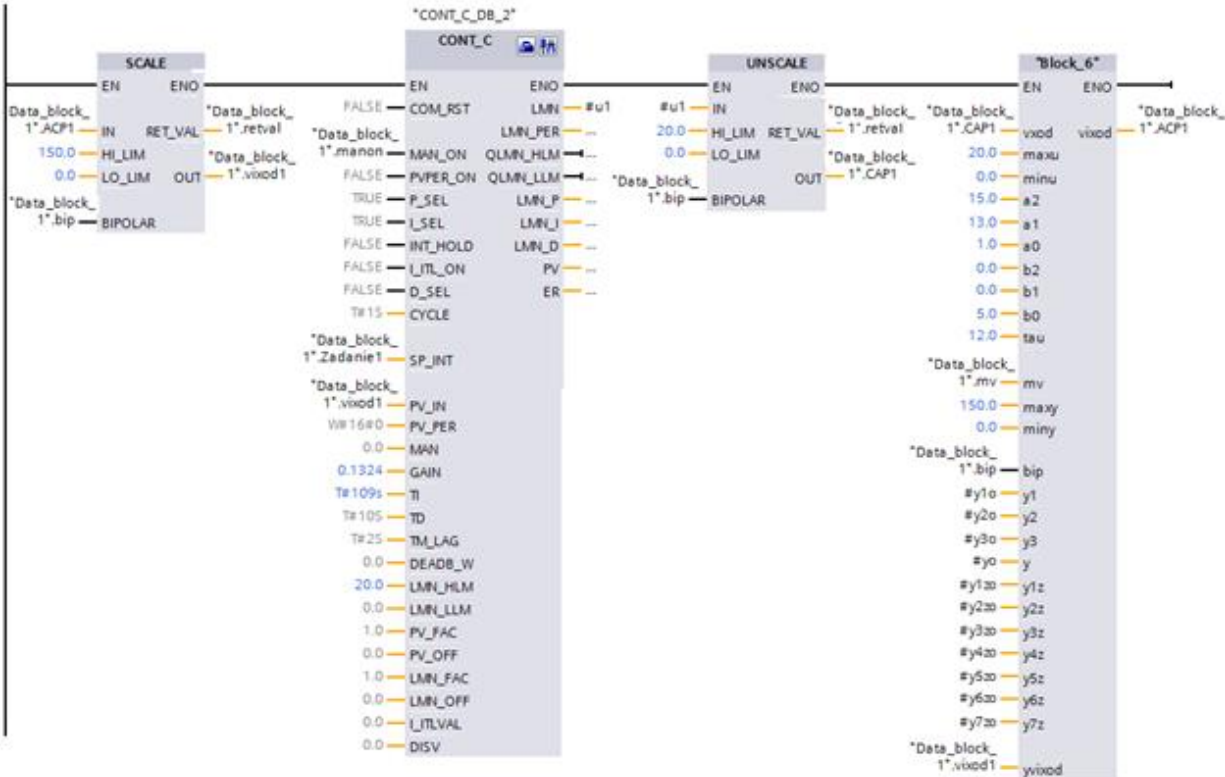
- simulyasiya programından (Şəkil 5) Block_6 çıxarılır;
- SCALE blokunun IN girişinin və UNSCALE blokunun OUT çıkışının real ünvanları şəkil 6-dakı kimi təyin edilir.

▼ Network 1:



Şəkil 4. Block_6-nin programı

▼ Network 1:

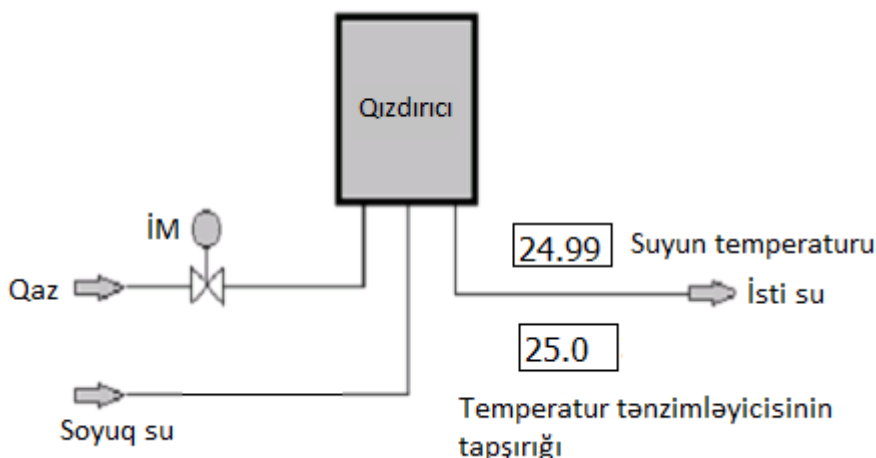


Şəkil 5. Simulyasiya programı

	Name	Tag table	Data type	Address
1	KodvixACP1	Default tag table	Int	%IW100
2	KodvxCAP1	Default tag table	Int	%QW200

Şəkil 6. SCALE blokunun IN girişinin və UNSCALE blokunun OUT çıkışının ünvanları

Şəkil 7-də simulyasiya tənzimləmə sisteminin simulyasiya və real istismarı zamanı istifadə edilən operator paneli təsvir edilmişdir. Simulyasiyanın məqsədi tapşırığın bu və ya digər istiqamətdə dəyişdirilməsi və suyun temperaturunun dəyişməsinə nəzarət etməklə, tənzimləmə keyfiyyətlərinin təyin edilməsindən ibarətdir. Real tənzimləmə zamanı isə zəruri olan temperaturun zəruri olan tapşırıq qiyməti operator panelindən daxil edilir və onun cari qiymətinə nəzarət olunur.



Şəkil 7. Operator paneli

Nəticələr. Məqalədə hazırda texnoloji proseslərin avtomatlaşdırılmasında geniş istifadə edilən TIA mühitində sadə avtomatik tənzimləmə dövrələrinin simulyasiyalı tədqiqi üsulu, konkret kontrollerlər üçün simulyasiya programı və onun real şəraitə uyğunlaşdırılması yolları təklif edilir. Təklif edilən üsul kontrollerli idarəetmə sistemlərində tətbiq ediləcək tənzimləmə dövrələrini real sənayedə tətbiq etməzdən əvvəl, onu həmin şəraitə çox yaxın olan şəraitdə tədqiq etməyə imkan verir.

ƏDƏBİYYAT

- Программирование контроллеров S7-300/400. Системный курс ST-7PRO1/ НОВ-ЭЛЕКТРО. Профессиональный сайт для энергетиков [Электронный ресурс]. URL:<http://nov-electro.com/2013/programirovaniye-s7-300-400-sistemnyiy-kurs> (дата обращения: 15.09.2017)
- Алекперли Ф.А., Аскерова С.Ф. Симуляция систем управления технологическим процессом и адаптация ее программного обеспечения к промышленным условиям // Вестник компьютерных и информационных технологий: Научно-технический и производственный журнал. М.: Спектр, 2018, с.39-48
- Əkəkbərli F.H., Əskərova S.F., Hacıyeva E.M. və b. Simatic Manacer mühitində idarəetmə obyektiinin ötürmə funksiyalarının realizasiyası// Azərbaycan Milli Aerokosmik Agentliyinin Xəbərləri. №1(21). Bakı, 2018,s.57-63
- Rüstəmov Q.Ə. Avtomatik tənzimləmə nəzəriyyəsi. I hissə.Ali texniki məktəblər üçün dərslik. Bakı: Nasir, 2003, 404s.

5. https://studwood.ru/1119508/matematika_himiya_fizika/transportnoe_zapazdyvani

РЕЗЮМЕ
**СИМУЛЯЦИОННОЕ ИССЛЕДОВАНИЕ ОДНОКОНТУРНОЙ СИСТЕМЫ
РЕГУЛИРОВАНИЯ В СРЕДЕ ТІА**
Байрамова И.С.

Ключевые слова: среда TIA(*Totally Integrated Automation*), симуляция системы регулирования, передаточная функция, программируемый контроллер, адаптация к реальным условиям

В статье рассматривается симуляционное исследование системы автоматического регулирования в среде TIA(TotallyIntegratedAutomation), которая широко применяется для автоматизации технологических процессов. Для этого требуется программная реализация передаточных функций произвольного порядка с запаздыванием. В работе предлагается метод программной реализации передаточных функций высокого порядка с запаздыванием. Приводится программа симуляции системы регулирования и способ ее адаптации к реальным условиям.

SUMMARY
**SIMULATION RESEARCH ON SINGLE-CONTROL REGULATORY SYSTEM
IN TIA ENVIRONMENT**
Bayramova I.S.

Keywords: TIA (Totally Integrated Automation) environment, control system simulation, transfer function, programmable controller, adaptation to real conditions

The article discusses a simulation study of an automatic control system in TIA (Totally Integrated Automation) environment, which is widely used to automate technological processes. This requires software implementation of transfer functions of arbitrary order with delay. In the work the method of program realization of transfer functions of a high order with delay is offered. A simulation program of the regulatory system, and a way to adapt it to real conditions are given.

Daxilolma tarixi: İlkin variant 29.03.2019
Son variant 27.02.2020

TORMOZ MEXANİKİ ENERJİSİNİN ÇEVİRİLMƏ MƏKANINA NƏQLİ PROSESİ

BALAYEVA ƏFİLƏ HƏSƏNBALA qızı

Sumqayıt Dövlət Universiteti, doktorant

efile@mail.ru

Açar sözlər: tros, toplayıcı, tormoz enerjisi, elektrogenerator, sərfiyat, mexaniki enerji

Təqdim olunan iş tormozlanma zamanı itən mexaniki enerjinin və bununla əlaqədar artıq yanacaq sərfiyatının qaytarılmasına həsr edilir. Hərəkət edən obyektlər sinfinə aid olan şəhər nəqliyyatının yolun başlangıcından sonuna qədər külliü miqdarda tormozlanmalara məruz qalır ki, nəticə olaraq yanacaq sərfiyati xeyli artmış olur. Bu sərfiyatın enerji mənbəyi kimi qəbul edərək onun tormoz mexaniki enerjisinin qaytarılaraq toplanması prosesinin həlli üçün bu enerji mexaniki enerji toplusuna nəql edilir və toplanır ki, ondan enerji mənbəyi kimi istifadə olunsun.

Hər birhərəkət edən obyekt (avtomobil, traktor, hərbi texnika və s.) daxili yanma mühərrikləri (DYM) və ya digər mühərriklə təmin edilir. Obyektin yanacaq yandırma dərəcəsi onun həcm tutumundan, məqsədindən və digər texniki səbəblərdən asılı olaraq geniş hədlərdə dəyişir. Məsələnin həlli üçün yanacağın həcmi və ondan nə dərəcədə istifadə olunması məsələlərinə baxılmalıdır. Yanacağın işlənmə həcmində az və ya çox dərəcədə təsir edən amillərdən biri də tormozlanma əməliyyatıdır. Hərəkət edən obyekt hərəkətə gəldikdən sonra müəyyən olunmuş yerə çatması üçün zaman parametri öz işini göstərir. Əgər tez-tez tormozlanmalar baş verərsə zaman parametri artaraq yanacaq sərfiyatı artacaqdır. Yanacaq sərfiyatı tormozlanmaya görə əhəmiyyətli dərəcədə artarsa yanacağın mühafizəsi haqda düşünmək zərurəti yaranır. Bu sahəyə nəzər salmaq ancaq tez-tez tormozlanmaya məruz qalan obyektlərə aid olacaqdır. Bu cür obyektlər şəhər-ictimai nəqliyyatı sayılan avtobus təsərrüfatına aiddir.

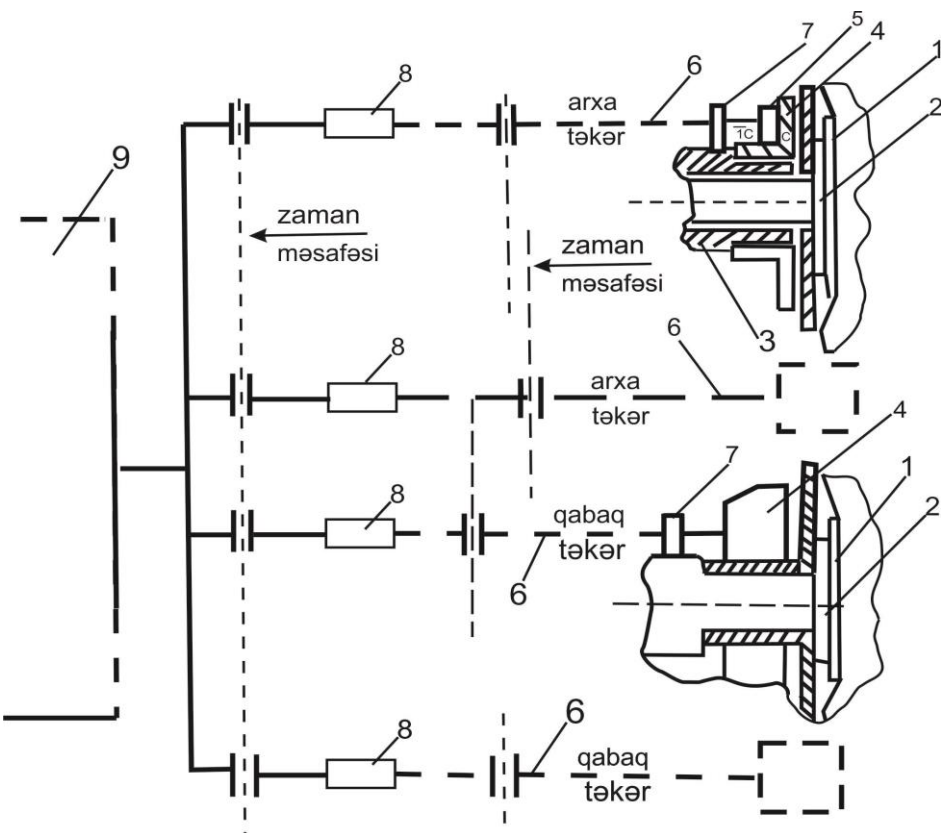
Şəhər nəqliyyatında avtobusların sayının çox olması, sürətin optimaldan tez-tez aşağı düşməsi, tormozlanmanın da intensivliyi yanacağın itmiş (faydasız) enerjisinin qaytarılmasını tələb edir. Bu enerjinin hansı növdə qaytarılması da problem olaraq yaranır. İtmiş enerjinin elektrik enerjisi formasında qaytarılması problemin həlli kimi məsələnin əsas qoyuluşudur.

İşin məqsədi. Nəqliyyat vasitəsinin tormozlanmasında enerjinin oradan daşınması üçün konstruksiyada dəyişiklik edilməlidir. Belə ki, bu dəyişiklik konstruksiyanın işinə təsir etməsin, çəkisini artırmasın və digər tələbləri pozmasın. Baxılan məsələnin həlli üçün təkər sistemində kiçicik dəyişiklik edilmişdir ki, bunun çəkiyə təsiri bir neçə faizdən, konstruktiv işlənməsindəki dəyişiklik isə azacıq (heç bir prosesə təsir etməyən dərəcədə) dəyişiklikdən ibarət olacaqdır.

Göstərilən əməliyyat nəqliyyat vasitəsinin tormoz sisteminin elementlərinə aralıq bir elementin daxil edilməsidir ki, təkərlərin işinə və tormozlanma prosesinə təsir etmir. Bu element tormoz diskini olaraq çəkisinin bir hissəsi təkər sisteminin konstruktiv çəkisi hesabına yaradılır.

Tormoz mexaniki enerjisini mexaniki enerji toplusuna ötürülməsi üçün yumşaq naqıl-çoxsaylı elastik naqillərdən yığılan trosdan istifadə olunur.

Təkərlə mexaniki əlaqədə olan fırlanan tormozlanan disk (Şəkil 1.) adətən ona paralel yerləşdirilmiş tormozlayıcı disklə birlikdə tormoz sistemini yaradırlar. Tormozlayıcı disk mexaniki enerji toplusu ilə bərk birləşmiş konstruksiyada olduqlarından tormozlanan diskə sixildiqda disklər arasında mexaniki qüvvə yaranır ki, bu qüvvə fırlanan təkər sisteminin fırlanmasına maneçilik törədir və tormozlanma prosesi başlanır.



Şəkil 1. Tormoz enerjisiniñ mexaniki enerji toplayicisina nəqli sxemi
 1-təkər; 2-ox; 3-köynək; 4-tormozlayıcı disk; 5-kənar çıxış; 6-tros; 7-gövdə;
 8-sərbəst hərəkət muftası; 9-mexaniki enerji toplayıcısı.

Tormozlanma enerjisiniñ bir hissəsinin əldə oluna bilməsi, yəni onun digər enerji növünə çevrilərək istifadə oluna bilməsi üçün, yaradılan bu prinsipdə (tormozlayıcı disklerin dönməsi) mexaniki enerji tərpənən və firlanan elementləri olan konstruktiv məkandan tərpənməz –nəqliyyat vasitələrinin gövdə konstruksiyasına nəql edilir. Tormozlayıcı diskin öz oxu ətrafında döñə bilməsi müəyyən bucaq altındadır. Bu bucaq elə qiymətdə olmalıdır ki, o mexanizmin tormoz siqnalının təsir müddəti və sürücünün reaksiyasına çox təsir etməsin. Buna görə də təklif olunan dönmə bucağı $\pi/2$ zonasında yerləşdirilir (Bu bucaq əsasən təkərdə yaradılan tormoz enerjisi ilə, yəni mexaniki enerji toplusuna göndərilən enerji ilə müəyyən olunur) [2].

Göstərilən konstruksiyada əsas çətinliklərdən biri dörd təkər sistemində ötürülən mexaniki enerji toplusunun zaman parametrlərinin daima üst-üstə düşməsidir. Sürücünün komandası ilə tormozlanmada təkərlərin tormoz diskleri eyni zamanda lazımı qaydada enerjini ötürə bilmirlər; bu prosesdə sürüşmələr həmişə eyni zamanda eyni mexaniki qüvvə ilə baş vermir, bərabərlik zamanı tənzim olunarsa belə kiçik bir müddətdən sonra, çox amillərdən sonra pozula bilir; bu prosesin qaydaya salınması üçün hər bir təkərin mexaniki enerji daşıma mexanizmi “sərbəst hərəkət muftası” ilə təmin edilirlər. Sərbəst hərəkət muftasının hərəkət elementi tormozlayıcı olmayan halda “əsas nöqtəyə” – dərtılmanın baş verdiyi nöqtəyə (zamana görə) sazlanır ki, həmən təkərdə tormozlanma başlanan kimi, mexaniki enerji mərkəzə-mexaniki enerji toplusuna göndərilir. Təkər ilə hərəkət muftası arasında mexaniki enerjinin ötürülmə zamanın (məsafənin) dəyişməsinə baxmayaraq mexaniki enerji mexaniki enerji toplusuna nəzərdə tutulan zamanda (bütün təkərlərdə gələn enerjilər) çatdırılır ki, bu da bütün təkərlərdə ayrılan tormoz enerjisiniñ eyni zamanda nəql edilməsi deməkdir.

Mexaniki enerji toplusundan mexaniki enerji elektrogeneratora ötürülərək elektrik enerjisiniñ çevrilir.

Balayeva Ə.H. Tormoz mexaniki enerjisinin çevrilmə məkanına nəqli prosesi **Nəticə**. İntensiv hərəkətdə olan, tormozlanmaya tez-tez məruz qalan sərnişin nəqliyyatında yanacaq sərfiyatının ümumi halda aşağı salınması məqsədilə tormozlanmaya sərf olunan enerjiyə alternativ enerji mənbəyi kimi baxmaqla dörd təkərin tormozlanma enerjisinin mexaniki enerji toplusuna nəql etmək prosesinə baxılmışdır.

ƏDƏBİYYAT

1. Фархадзаде Э.М., Мусаев З.И., Балаева А.Г. Новый источник альтернативной энергии // Технология машиностроения. №6.М., 2019, с. 26-30
2. Галкин Ю.М. Электрооборудование автомобилей и тракторов. М.: Машиностроение, 1987.
3. Musayev Z.N., Balayeva Ə.H. Nəqliyyat vasitələrinin tormoz rejimindən enerji mənbəyi kimi istifadə // SDU. Elmi Xəbərlər. Təbiət və texniki elmlər bölməsi. c.18, №1. Sumqayıt: SDU, 2018, s.80-86
4. Гусейнов А.М., Гусейнов Э.Н. Альтернативные источники энергии. Баку: Мутарждим, 2011, 256 с.
5. Магомедов А.М. Нетродиционные, возобновляемые источники энергии. Махачкала: Юпитер, 1996. -245с.

РЕЗЮМЕ

ПРОЦЕСС ПЕРЕДАЧИ ТОРМОЗНОЙ МЕХАНИЧЕСКОЙ ЭНЕРГИИ В ПРОСТРАНСТВО ВРАЩЕНИЯ

Балаева А.Г.

Ключевые слова: *tros, agragat sobiraюciy energiyu, enerqia tormozseniya, elektricheskiy generator, potreblenie, mehanicheskaya enerqia*

В статье рассматриваются вопросы преобразования и повторного использования механической энергии, теряемой при торможении на транспортных средствах. В конструкцию были внесены изменения для передачи энергии, собранной при торможении транспортных средств. Для решения этой проблемы необходимо, чтобы изменения в дизайне полностью соответствовали требованиям, предъявляемым к транспорту. В то же время процесс передачи энергии рассматривался как альтернативный источник энергии при торможении. В результате экономится 60-65% топлива.

SUMMARY

TRANSMISSION PROCESS OF THE BRAKE MECHANICAL ENERGY INTO THE ROTOTION SPACE

Balayeva A.H.

Key words: *cable, unit collecting energy, braking energy, electric generator, consumption, mechanical energy*

The article discusses the conversion of mechanical energy lost during braking on vehicles into electricity. The energy accumulated during vehicle braking has been modified in the design. To address this issue, the design change was fully compliant with the transportation requirements. At the same time, the process of transporting it to the power grid was considered as an alternative source of energy for braking energy. As a result, 60-65 % of fuel savings are saved.

Daxilolma tarixi:	İllkin variant	14.10.2019
	Son variant	27.02.2020

Sumqayıt Dövlət Universiteti – “**ELMİ XƏBƏRLƏR**” – Təbiət və texniki elmlər bölməsi

Cild 20 № 1 2020

МÜNDƏRİCAT* СОДЕРЖАНИЕ * CONTENTS

Kompüter yığımı *S.Şahverdiyeva*
Texniki redaktor *E.Həsrətova*
Dil dəstəyi *Linqvistik Mərkəz*

Çapa imzalanmışdır: 11.03.2020-ci il
Mətbəə kağızı, kağızin formatı: 70 * 108 ¼
Yüksək çap üsulu. Həcmi: 23,18 ş.ç.v.
Sifariş.....Tiraj 250 nüsxə.
Qiyməti müqavilə yolu ilə.

Sumqayıt Dövlət Universiteti
Redaksiya və nəşr işləri şöbəsi

Müxbir ünvan:

Azərbaycan, 5008, Sumqayıt, 43-cü məhəllə
Tel: (0-12) 448-12-74
(0-18) 644-70-41
Faks: (0-18) 642-02-70

Web: <https://www.ssu-scientificnews.edu.az>

E-mail: sdu.elmixeberler@mail.ru